



# 远场语音交互技术解析

## —— 远场语音信号处理

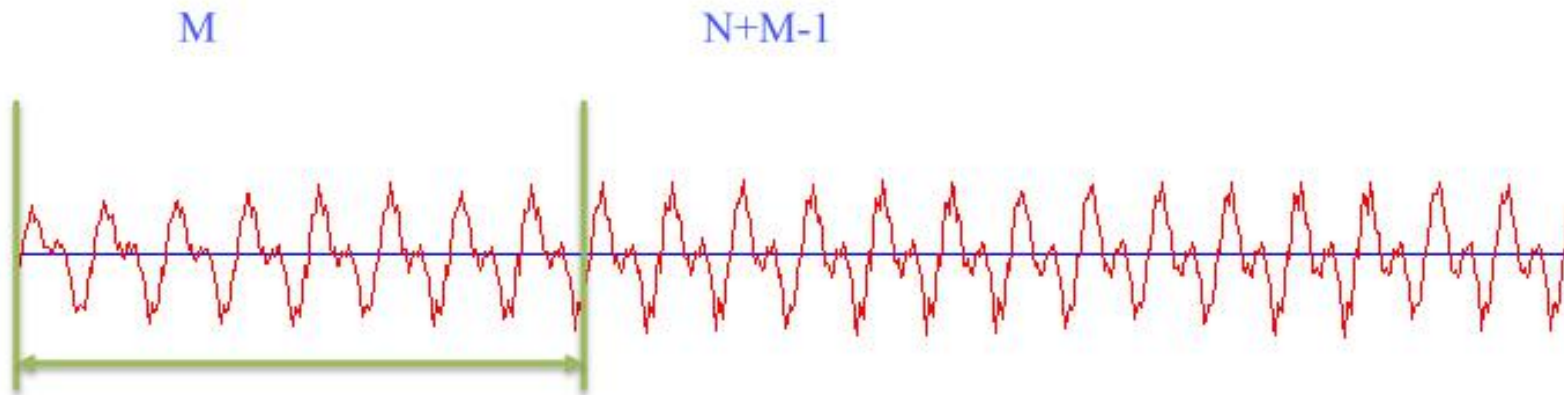
声智科技

讲师：冯大航



# 语音信号处理基本概念

## 1. 短时能量分析



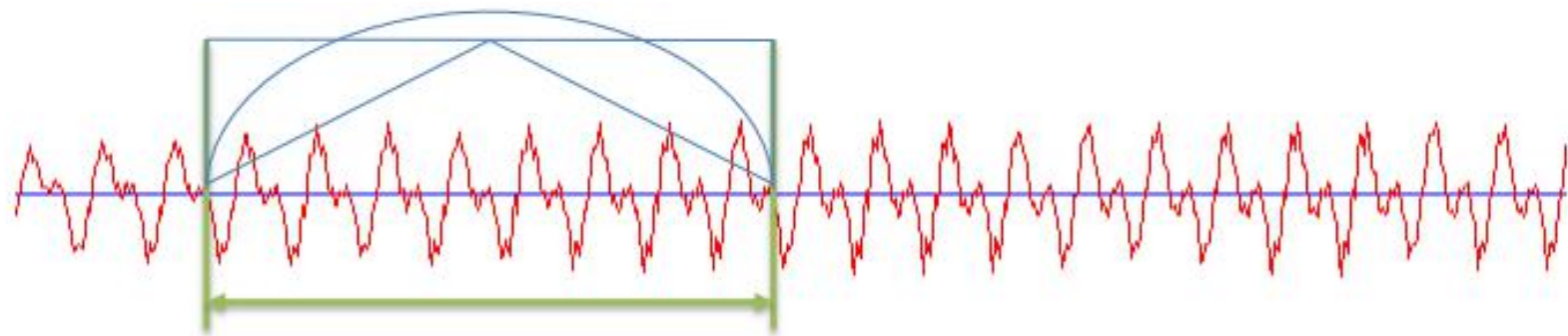
$$E_M = \sum_{m=M}^{N+M-1} [s(m)]^2$$

N称为语音短时分析的帧长 Frame Length

M称为语音短时分析的步长 Step

# 语音信号处理基本概念

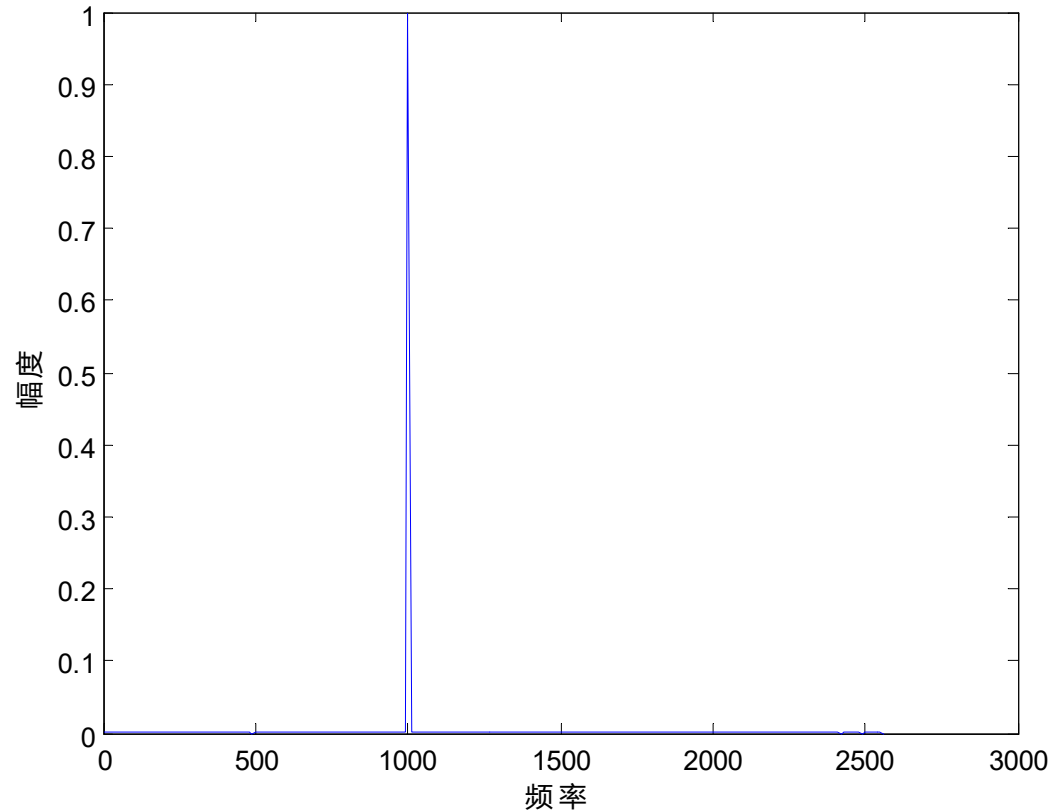
决定短时能量特性有两个条件：不同的窗口的形状和长度。窗长越长，频率分辨率越高，而时间分辨率越低



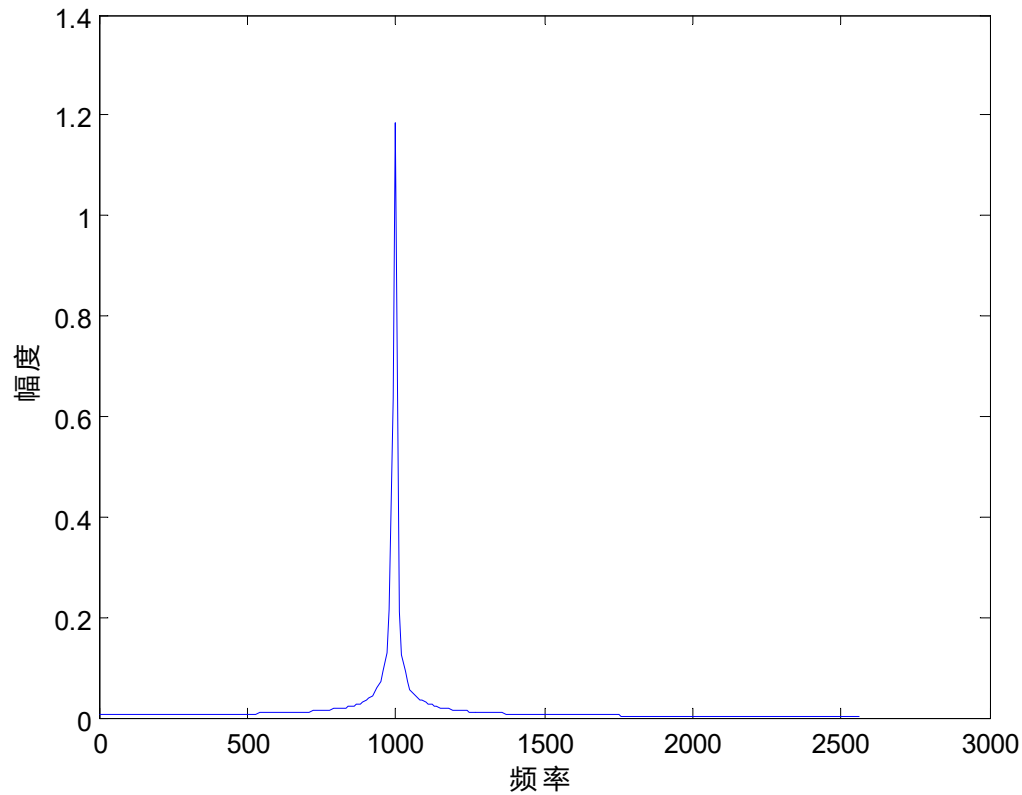
$$E_M = \sum_{m=M}^{N+M-1} [s(m)w(m)]^2$$

时域上相乘等价于频域上做卷积运算，相当于在每个频点上加了一个滤波器

# 语音信号处理基本概念



$$x = \sin(2\pi f_1 t)$$



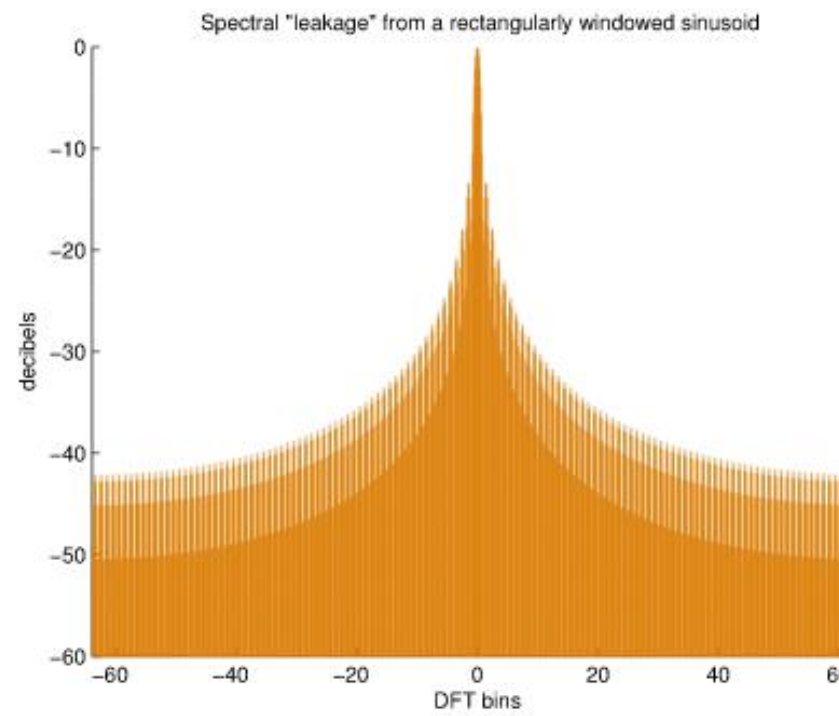
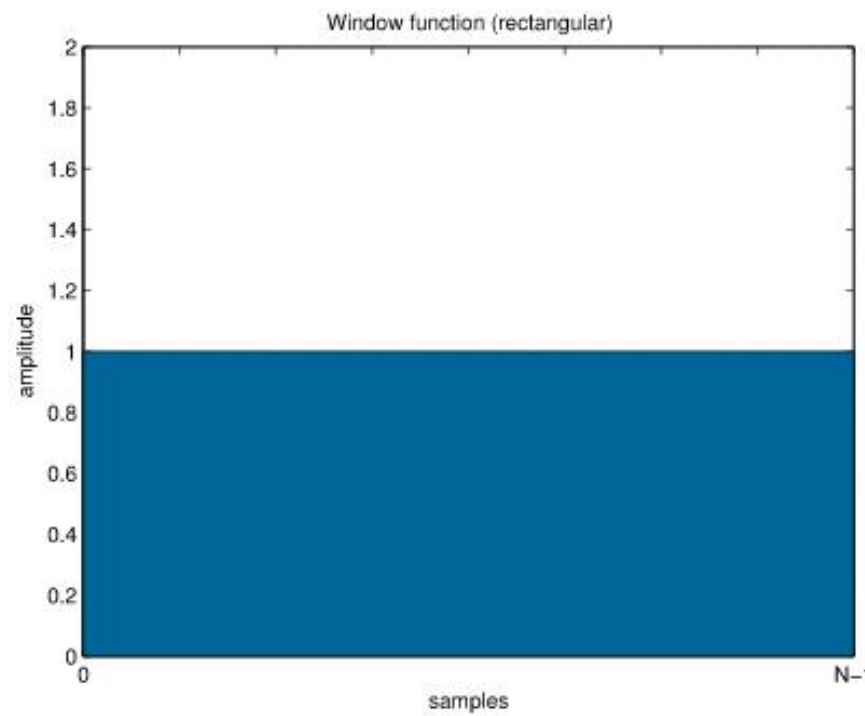
$$x = \sin(2\pi f_1 t) + \sin(2\pi f_2 t)$$

# 语音信号处理基本概念

## 典型窗函数

矩形窗：

$$w(n) = \begin{cases} 1 & 0 \leq n \leq M - 1 \\ 0 & \text{其它} \end{cases}$$

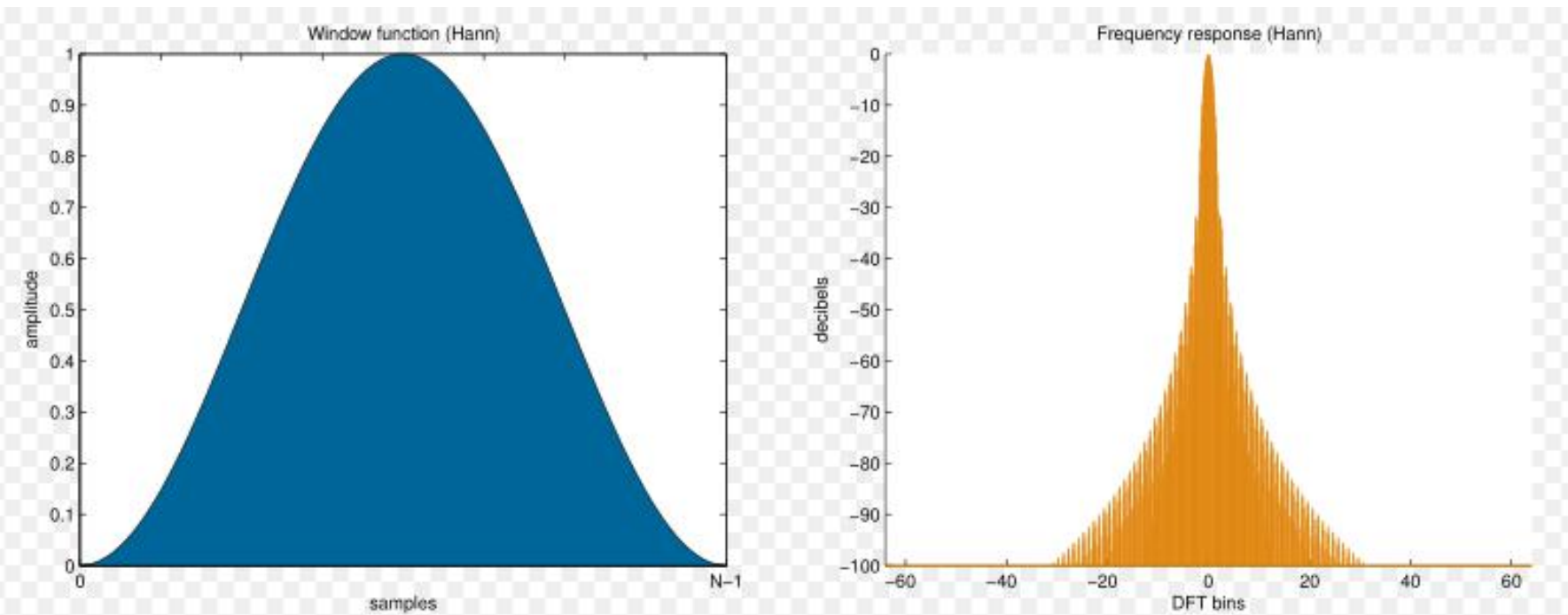


# 语音信号处理基本概念

典型窗函数

汉宁窗：

$$w(n) = \begin{cases} 0.5 - 0.5 \cos(2\pi n / (M - 1)) \\ 0 \quad \text{其它} \end{cases}$$

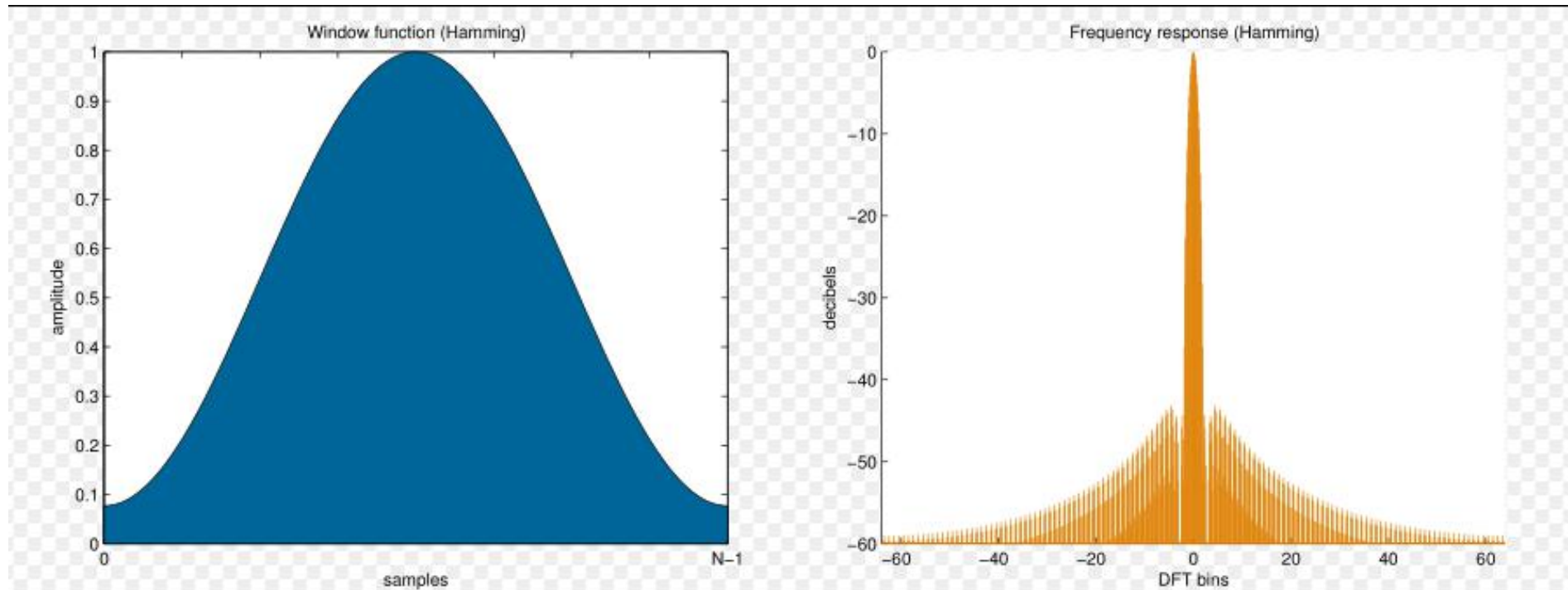


# 语音信号处理基本概念

典型窗函数

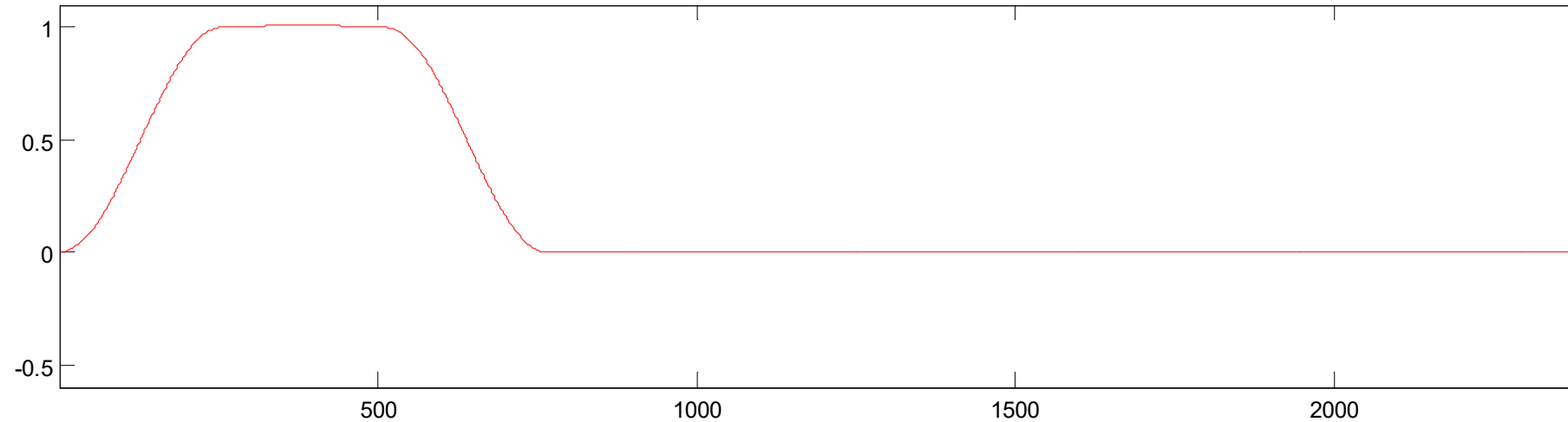
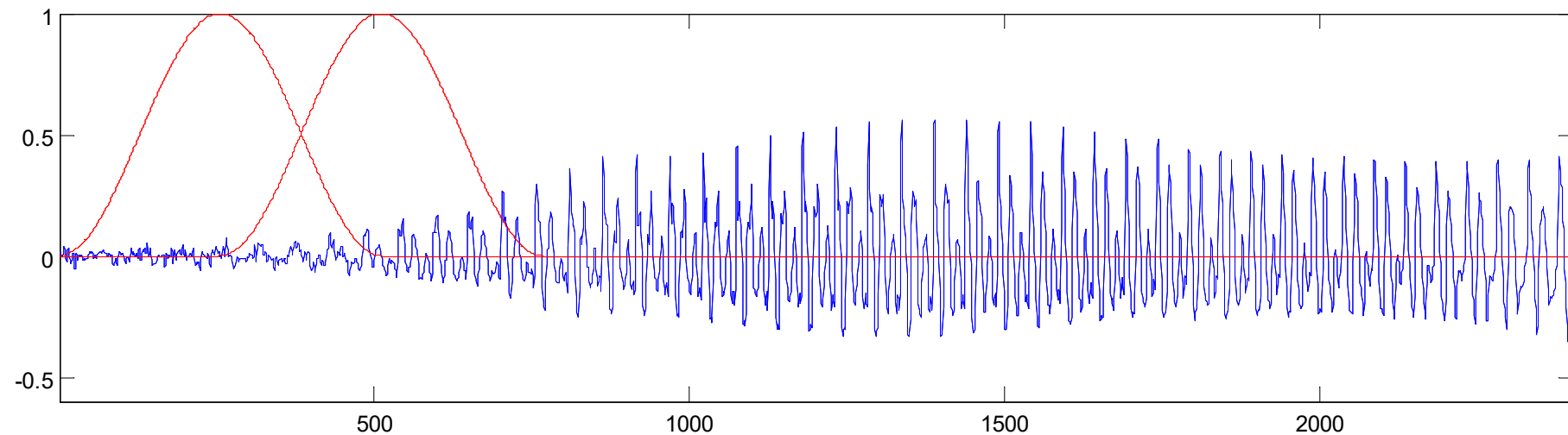
汉明窗

$$w(n) = \begin{cases} 0.53836 - 0.46164 \cos\left(\frac{2\pi n}{N-1}\right) \\ 0 \quad \text{其它} \end{cases}$$



# 语音信号处理基本概念

Overlap



# 语音信号处理基本概念

## 功率谱估计

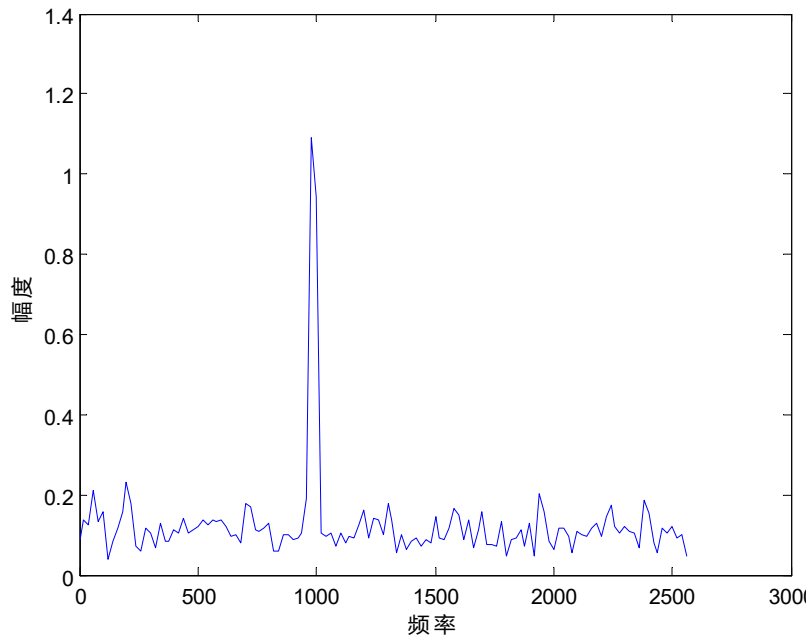
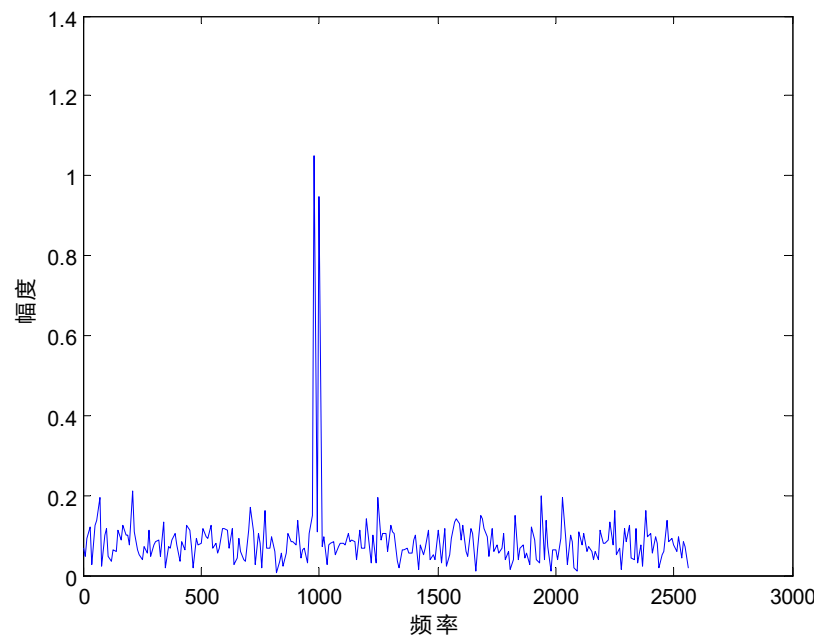
### 1. 经典功率谱估计

➤ 周期图法

$$P(k) = \frac{1}{N} |X_N(k)|^2$$

➤ 平均周期图法

$$P(k) = \frac{1}{M} \sum_{m=0}^M |X_N^{(m)}(k)|^2$$

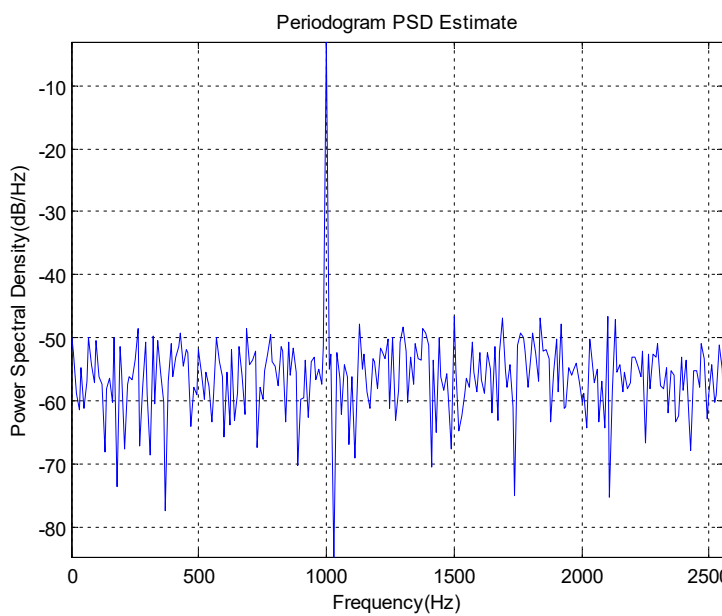


# 语音信号处理基本概念

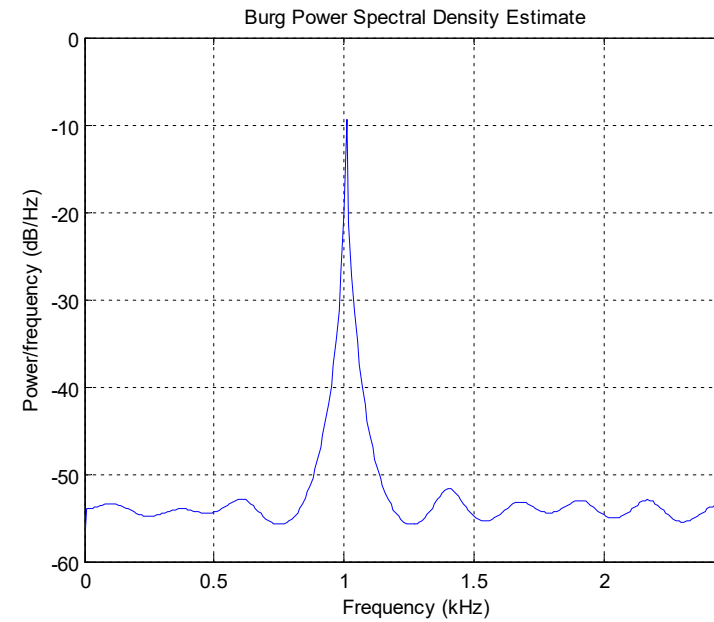
## 功率谱估计

### 2. 参数法功率谱估计

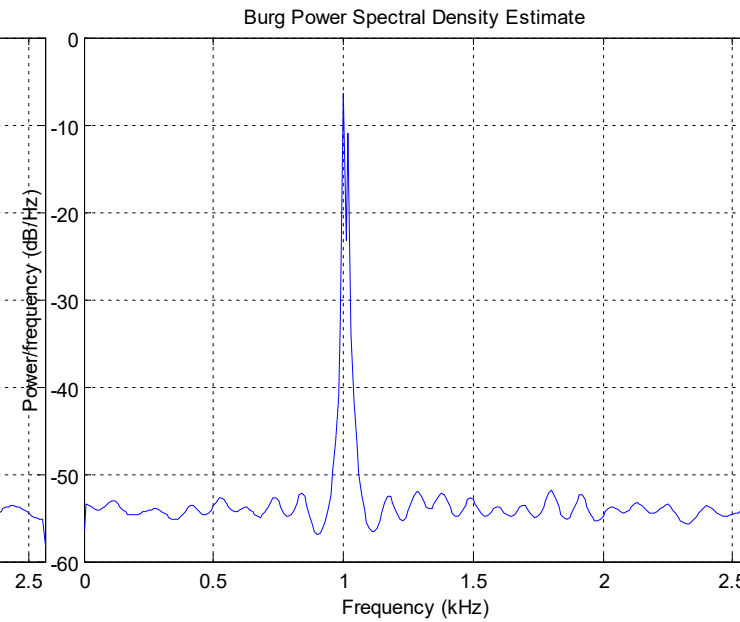
- AR
- ARMA
- 子空间方法



周期图法



AR谱估计，20阶



AR谱估计，50阶

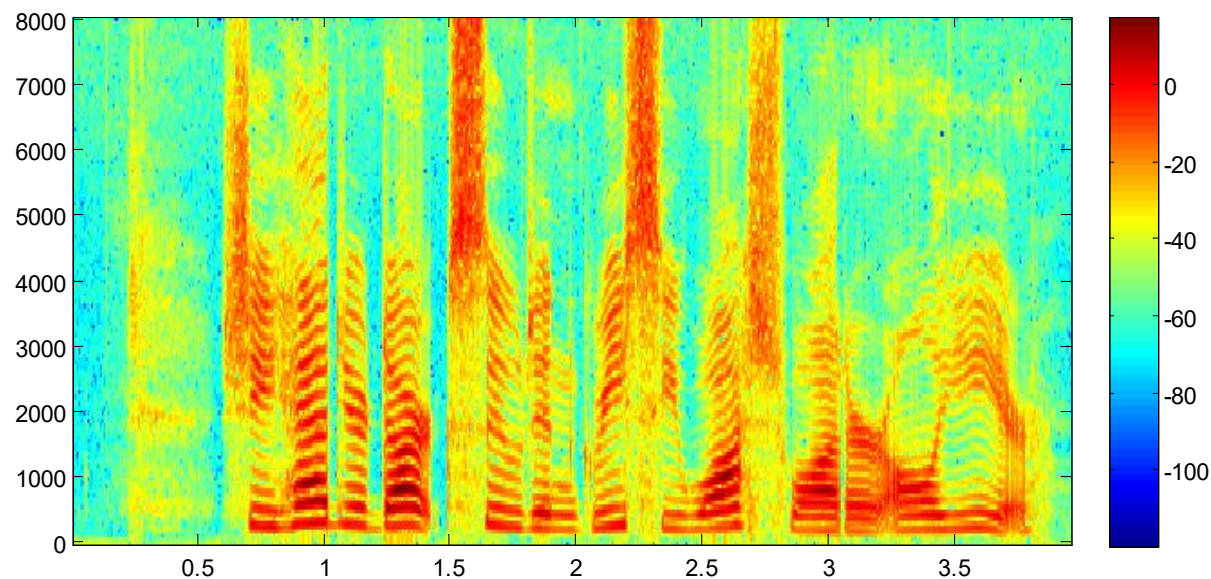
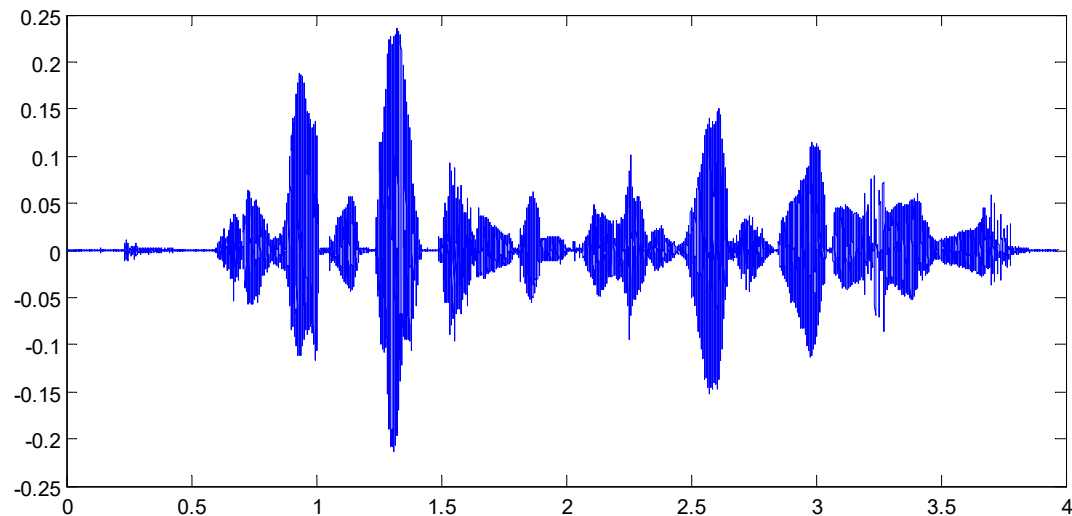


慕课学院

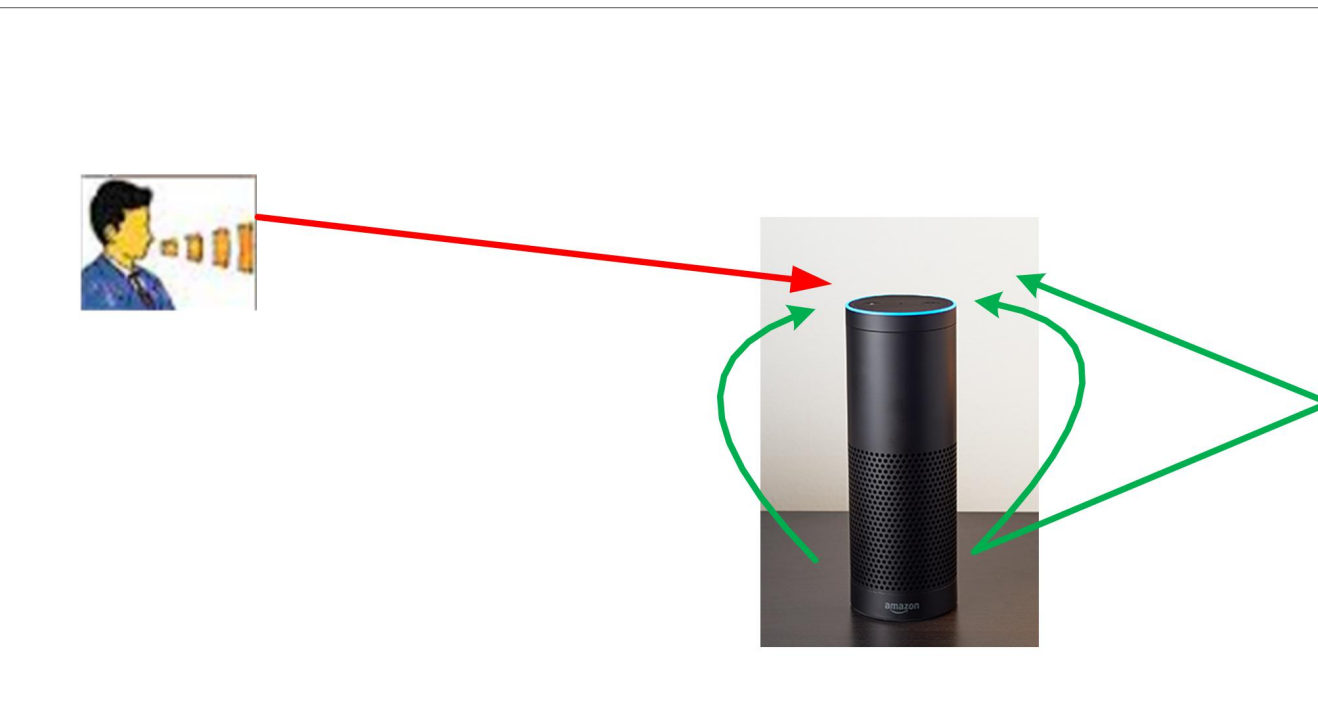
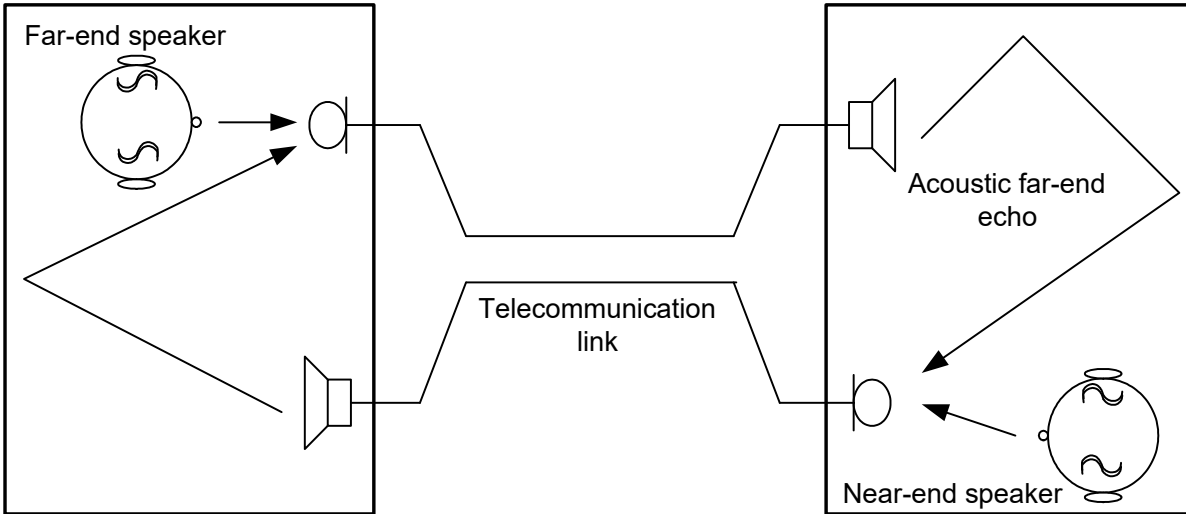
www.mooc.ai

# 语音信号处理基本概念

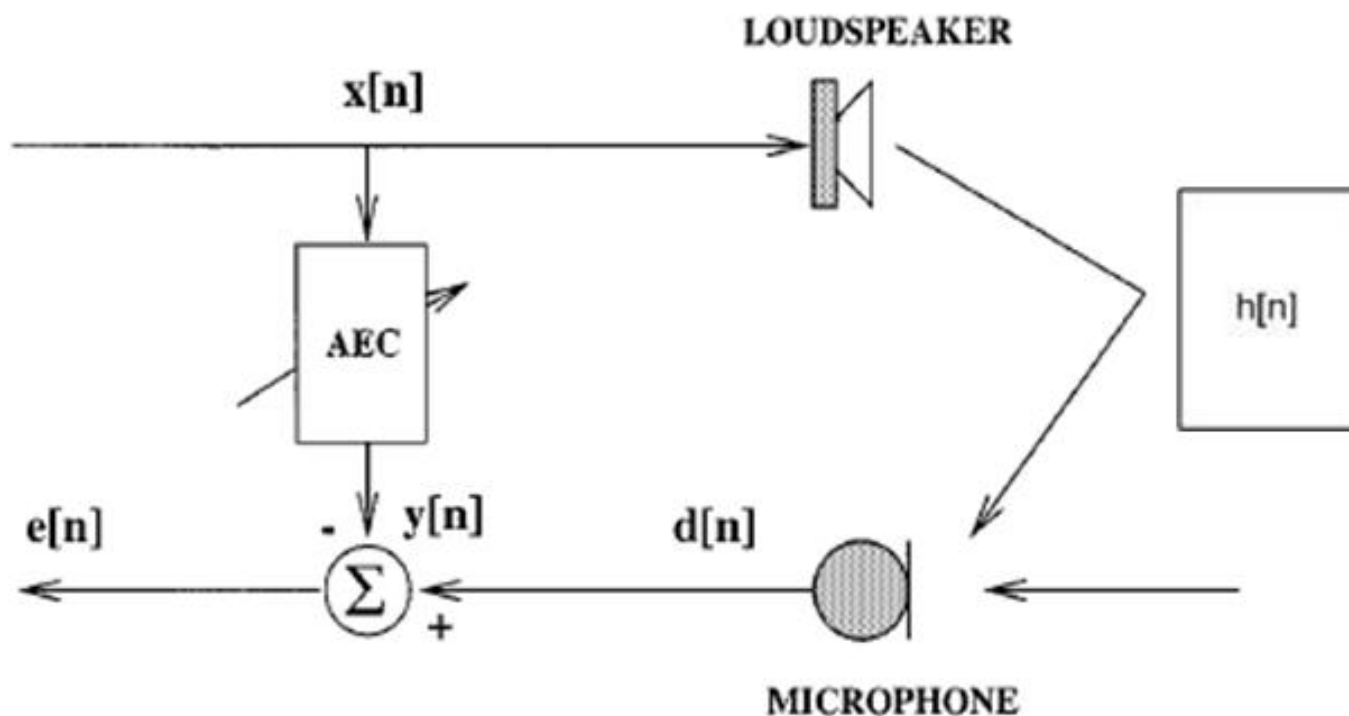
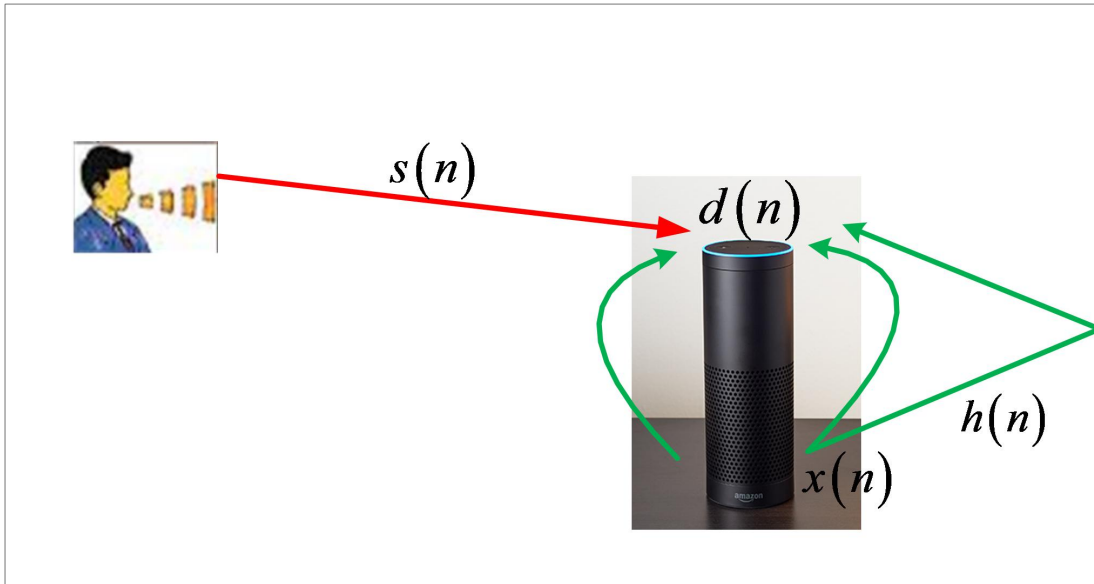
## 语谱图



# 语音信号处理-回声消除

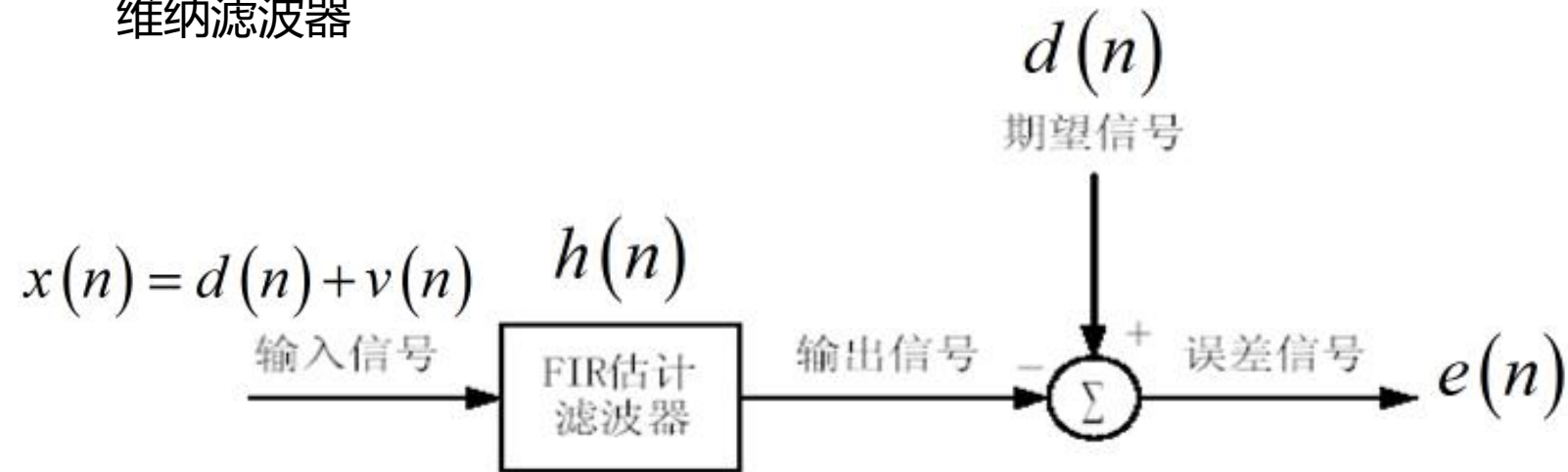


# 语音信号处理-回声消除



# 语音信号处理-回声消除

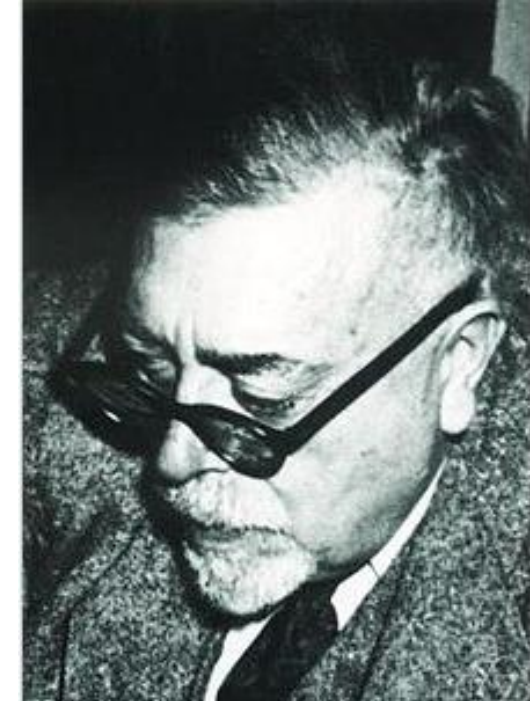
维纳滤波器



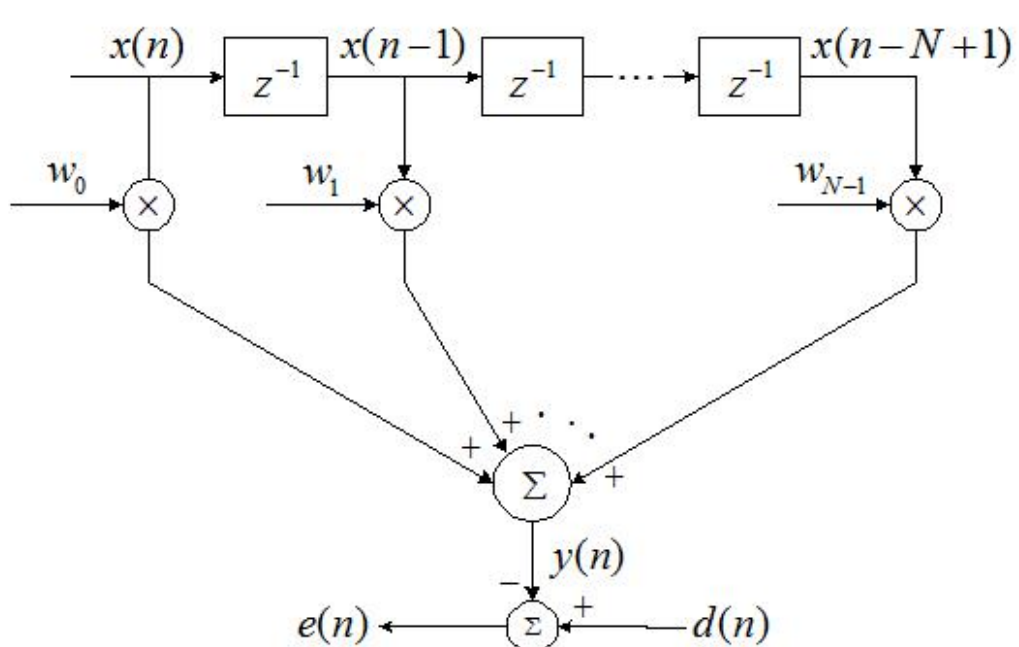
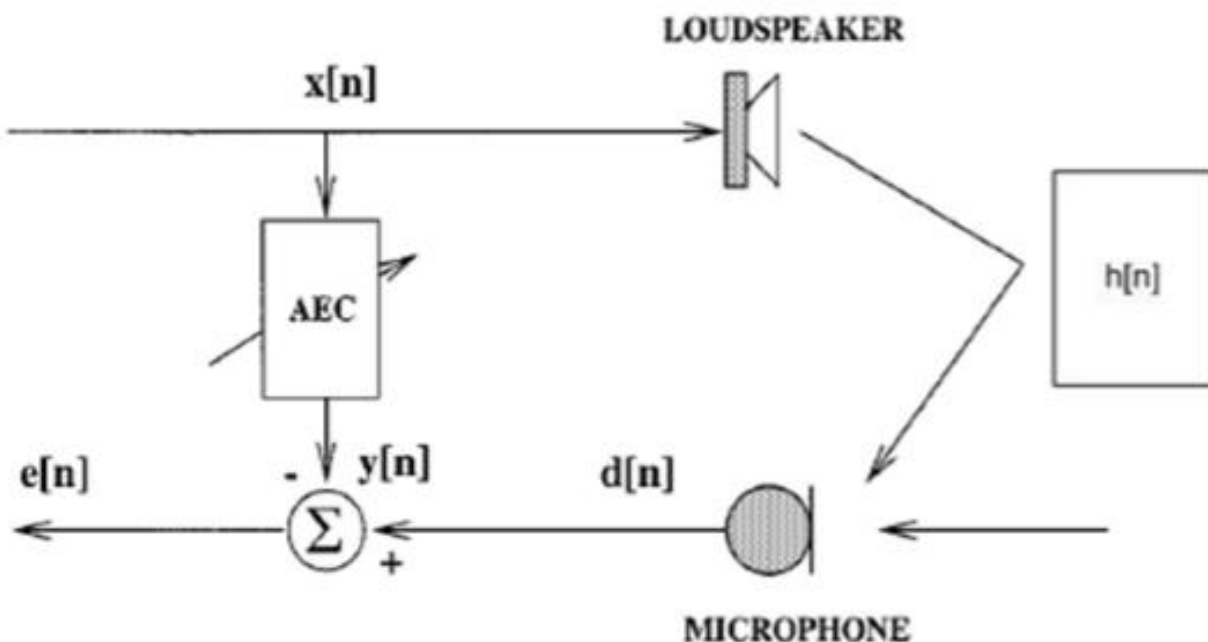
$$e(n) = x(n) * h(n) - d(n)$$

$$E[e^2(n)] = E[(x(n) * h(n) - d(n))^2]$$

$$h(n) = \mathbf{R}_{xx}^{-1} \mathbf{r}_{xd}$$



# 语音信号处理-回声消除



维纳滤波器准则

$$\xi = E[|e(n)|^2]$$

$$w(n) = \mathbf{R}_{xx}^{-1} \mathbf{r}_{xd}$$

$$\mathbf{R}_{xx} = E[\mathbf{x}(n)\mathbf{x}(n)^T]$$

$$\mathbf{r}_{xd} = E[\mathbf{x}(n)d(n)]$$

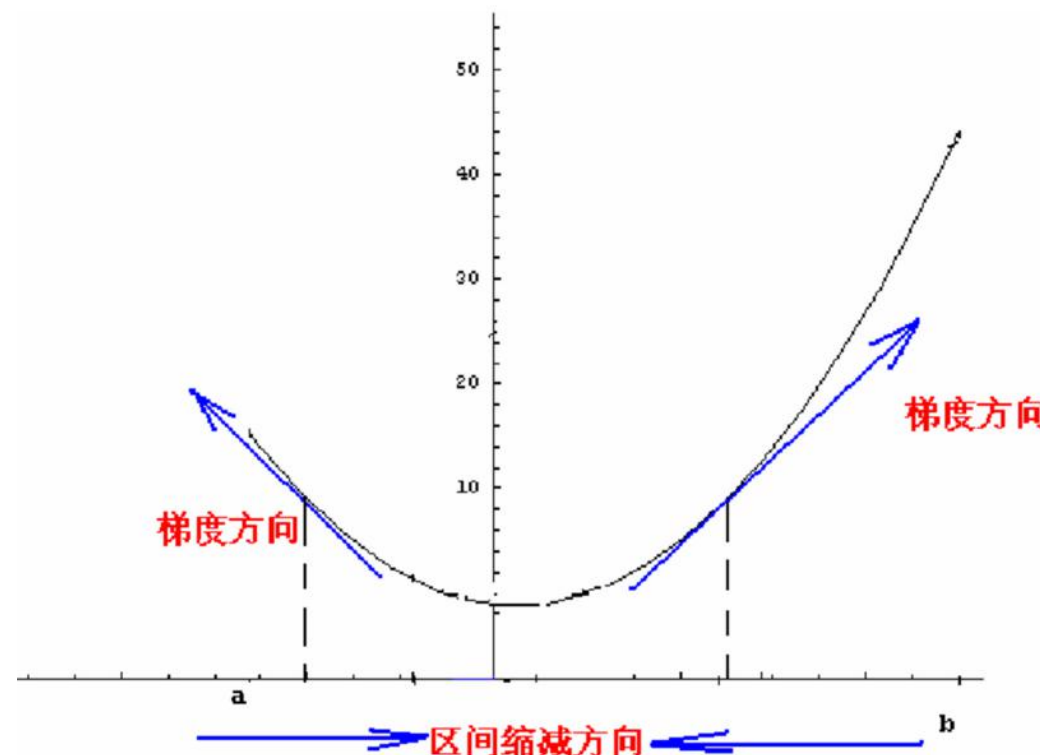
$$\mathbf{x}(n) = [x(n), x(n-1), \dots, x(n-N+1)]^T$$

# 语音信号处理-回声消除

最陡下降法

$$\mathbf{R}_{\mathbf{x}\mathbf{x}} \mathbf{w} = \mathbf{r}_{\mathbf{x}d}$$

$$\mathbf{w}(k+1) = \mathbf{w}(k) - \mu \nabla_k \xi \quad 0 < \mu < \frac{1}{\lambda_{\max}}$$



# 语音信号处理-回声消除

## LMS算法

最陡下降法中，性能函数为

$$\xi = E[e^2(n)]$$

使用估计误差平方的即时估计作为性能函数

$$\hat{\xi} = e^2(n)$$

### LMS 算法

---

- 滤波 (Filtering):

$$y(n) = \mathbf{w}^T(n) \mathbf{x}(n)$$

- 误差估计 (Error estimation):

$$e(n) = d(n) - y(n)$$

- 权值更新 (Tap-weight update):

$$\mathbf{w}(n+1) = \mathbf{w}(n) + 2\mu e(n) \mathbf{x}(n)$$

# 语音信号处理-回声消除

## NLMS算法

### NLMS 算法

- 滤波

$$y(n) = \mathbf{w}^T(n) \mathbf{x}(n)$$

- 误差估计

$$e(n) = d(n) - y(n)$$

- 功率计算

$$P_{xx}(n) = \mathbf{x}^T(n) \mathbf{x}(n)$$

- 权值更新

$$\mathbf{w}(n+1) = \mathbf{w}(n) + \frac{\mu}{P_{xx}(n) + \psi} e(n) \mathbf{x}(n)$$

---

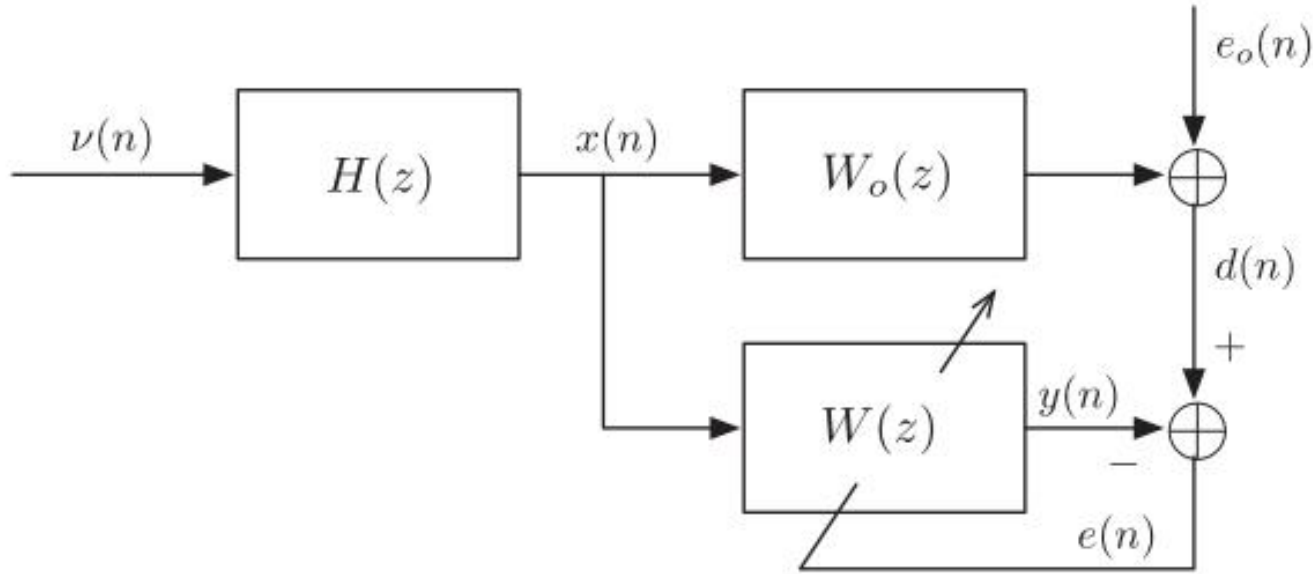
直接计算:  $P_{xx}(n) = \mathbf{x}^T(n) \mathbf{x}(n) = \sum_{i=1}^N x_n^2(i)$

递推计算:  $P_{xx}(n) = P_{xx}(n-1) - x_{n-1}^2(N) + x_n^2(1)$

遗忘计算:  $P_{xx}(n) = (1 - \alpha) \cdot P_{xx}(n-1) + \alpha \cdot x^2(n)$

# 语音信号处理-回声消除

## 算法仿真



$\nu(n)$  是方差为1的白噪声

$H(z)$  将白噪声变为有色噪声

$W_o(z)$  待估计滤波器

$W(z)$  自适应滤波器

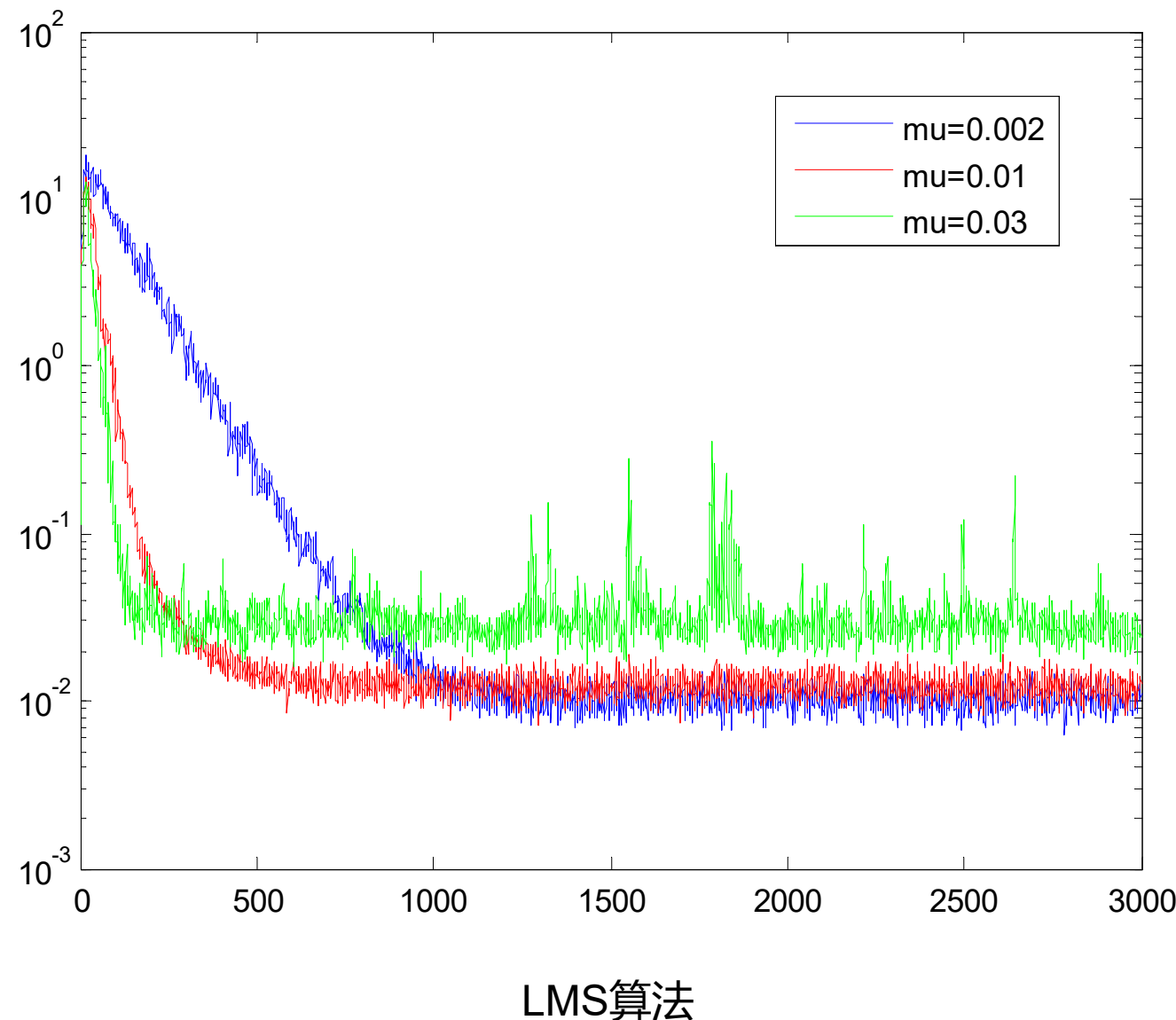
$e_o(n)$  方差为0.01的白噪声干扰

$$H_1(z) = 0.35 + z^{-1} - 0.35z^{-2}$$

$$W_o(z) = \sum_{i=0}^7 z^{-i} - \sum_{i=8}^{14} z^{-i}$$

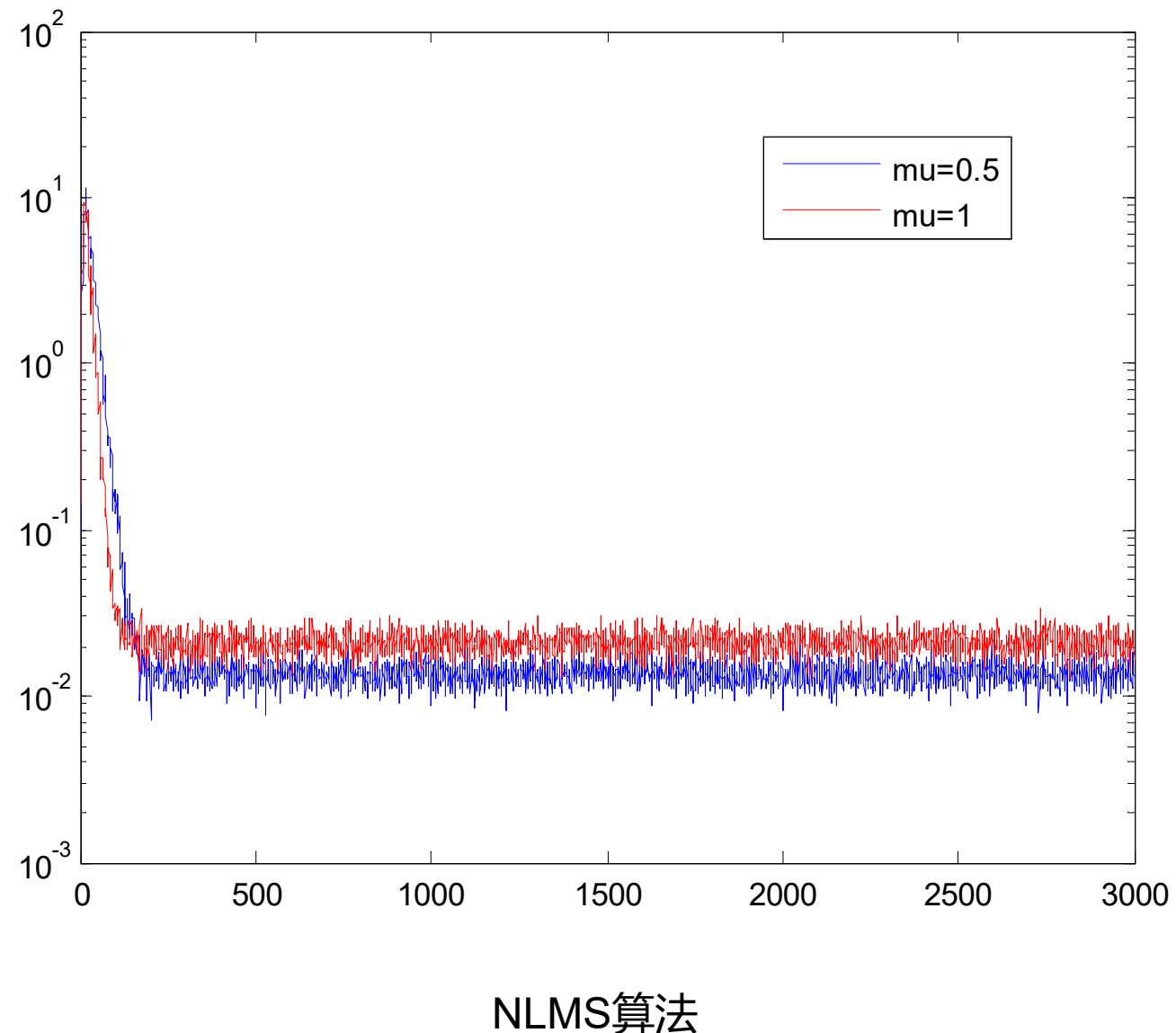
# 语音信号处理-回声消除

算法仿真



# 语音信号处理-回声消除

算法仿真



# 语音信号处理-回声消除

## RLS算法

$$h(n) = \mathbf{R}_{xx}^{-1} \mathbf{r}_{xd} \quad (\mathbf{A} + \alpha \mathbf{a} \mathbf{a}^T)^{-1} = \mathbf{A}^{-1} - \frac{\alpha \mathbf{A}^{-1} \mathbf{a} \mathbf{a}^T \mathbf{A}^{-1}}{1 + \alpha \mathbf{a}^T \mathbf{A}^{-1} \mathbf{a}}$$

---

Input: Tap-weight vector estimate,  $\hat{\mathbf{w}}(n-1)$ ,  
Input vector,  $\mathbf{x}(n)$ , desired output,  $d(n)$ ,  
and the matrix  $\mathbf{R}_{xx}^{-1}(n-1)$   
Output: Filter output,  $\hat{y}_{n-1}(n)$ ,  
tap-weight vector update,  $\hat{\mathbf{w}}(n)$ ,  
and the updated matrix  $\mathbf{R}_{xx}^{-1}(n)$

---

1. Computation of the gain vector:

$$\mathbf{u}(n) = \mathbf{R}_{xx}^{-1}(n-1) \mathbf{x}(n)$$
$$\mathbf{k}(n) = \frac{1}{\lambda + \mathbf{x}^T(n) \mathbf{u}(n)} \mathbf{u}(n)$$

2. Filtering:

$$\hat{y}_{n-1}(n) = \hat{\mathbf{w}}^T(n-1) \mathbf{x}(n)$$

3. Error estimation:

$$\hat{e}_{n-1}(n) = d(n) - \hat{y}_{n-1}(n)$$

4. Tap-weight vector adaptation:

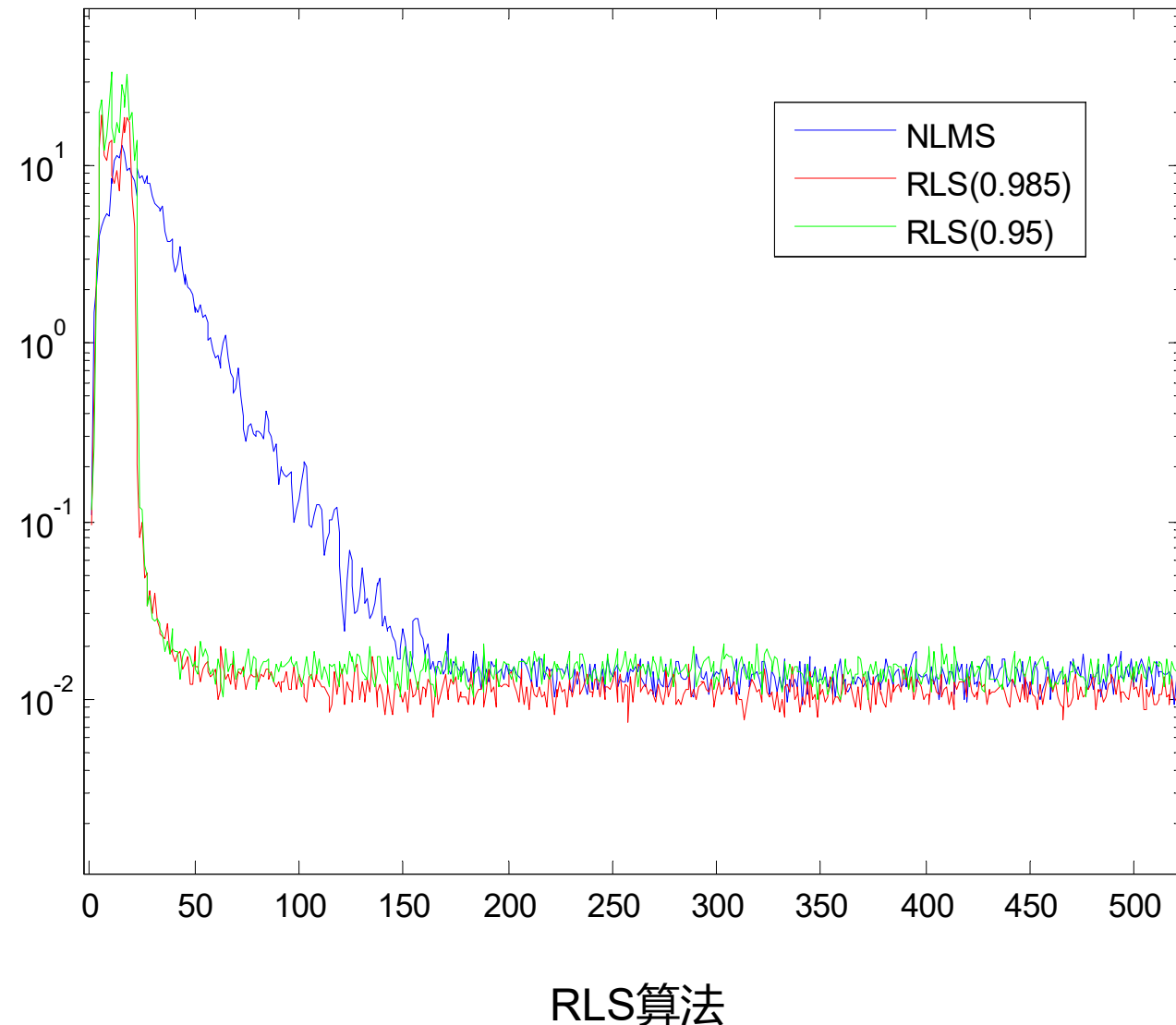
$$\hat{\mathbf{w}}(n) = \hat{\mathbf{w}}(n-1) + \mathbf{k}(n) \hat{e}_{n-1}(n)$$

5.  $\mathbf{R}_{xx}^{-1}(n)$  update:

$$\mathbf{R}_{xx}^{-1}(n) = \lambda^{-1} \left( \mathbf{R}_{xx}^{-1}(n-1) - \mathbf{k}(n) [\mathbf{x}^T(n) \mathbf{R}_{xx}^{-1}(n-1)] \right)$$

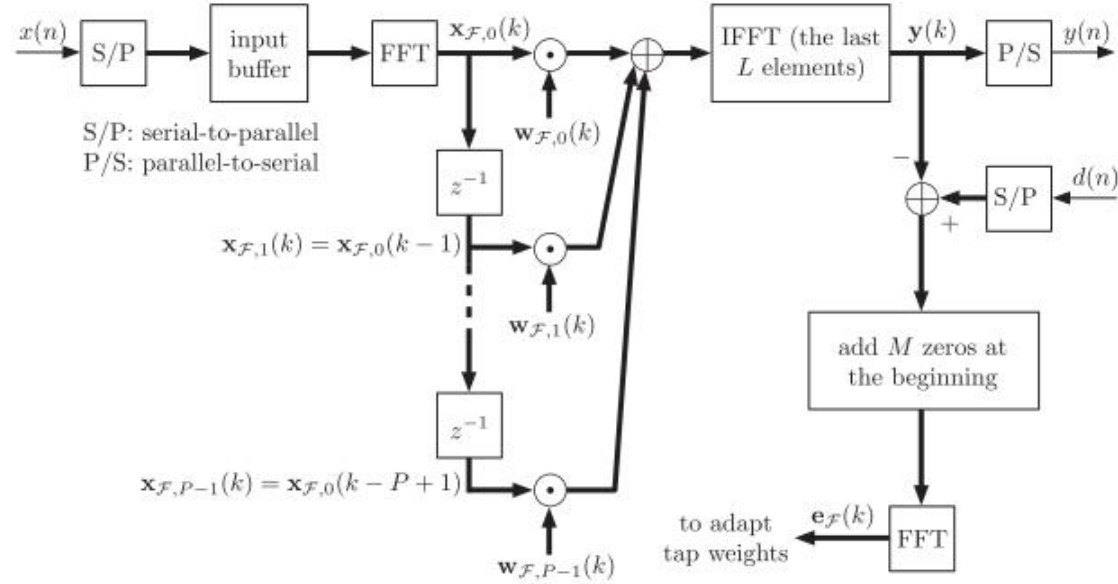
# 语音信号处理-回声消除

RLS算法



# 语音信号处理-回声消除

## PFBLMS算法




---

Input: Tap-weight vectors,  $w_{F,l}(k)$ ,  $l = 0, 1, \dots, P - 1$ ,  
Extended input vector,  
 $\tilde{x}_0(k) = [x(kL - M) \ x(kL - M + 1) \ \dots \ x(kL + L - 1)]^T$ ,  
The past frequency domain vectors of input,  $x_{F,0}(k - l)$ , for  $l = 1, 2, \dots, (P - 1)p$ ,  
and desired output vector,  
 $d(k) = [d(kL) \ d(kL + 1) \ \dots \ d(kL + L - 1)]^T$ .  
Output: Filter output,  $y(k) = [y(kL) \ y(kL + 1) \ \dots \ y(kL + L - 1)]^T$ ,  
Tap-weight vector update,  $w_{F,l}(k + 1)$ ,  $l = 0, 1, \dots, P - 1$ .

---

### 1. Filtering:

$$x_{F,0}(k) = \text{FFT}(\tilde{x}_0(k))$$

$$y(k) = \text{the last } L \text{ elements of IFFT} \left( \sum_{l=0}^{P-1} w_{F,l}(k) \odot x_{F,0}(k - pl) \right)$$

### 2. Error estimation:

$$\mathbf{e}(k) = \mathbf{d}(k) - \mathbf{y}(k)$$

### 3. Step-normalization:

for  $i = 0$  to  $M' - 1$

$$\hat{\sigma}_{x_{F,0,i}}^2(k) = \beta \hat{\sigma}_{x_{F,0,i}}^2(k - 1) + (1 - \beta) |x_{F,0,i}(k)|^2$$

$$\mu_i(k) = \mu_o / \hat{\sigma}_{x_{F,0,i}}^2(k)$$

$$\mu(k) = [\mu_0(k) \ \mu_1(k) \ \dots \ \mu_{M'-1}(k)]^T$$

### 5. Tap-weight adaptation:

$$\mathbf{e}_F(k) = \text{FFT} \left( \begin{bmatrix} \mathbf{0} \\ \mathbf{e}(k) \end{bmatrix} \right)$$

for  $l = 0$  to  $P - 1$

$$w_{F,l}(k + 1) = w_{F,l}(k) + 2\mu(k) \odot x_{F,0}^*(k - pl) \odot \mathbf{e}_F(k)$$

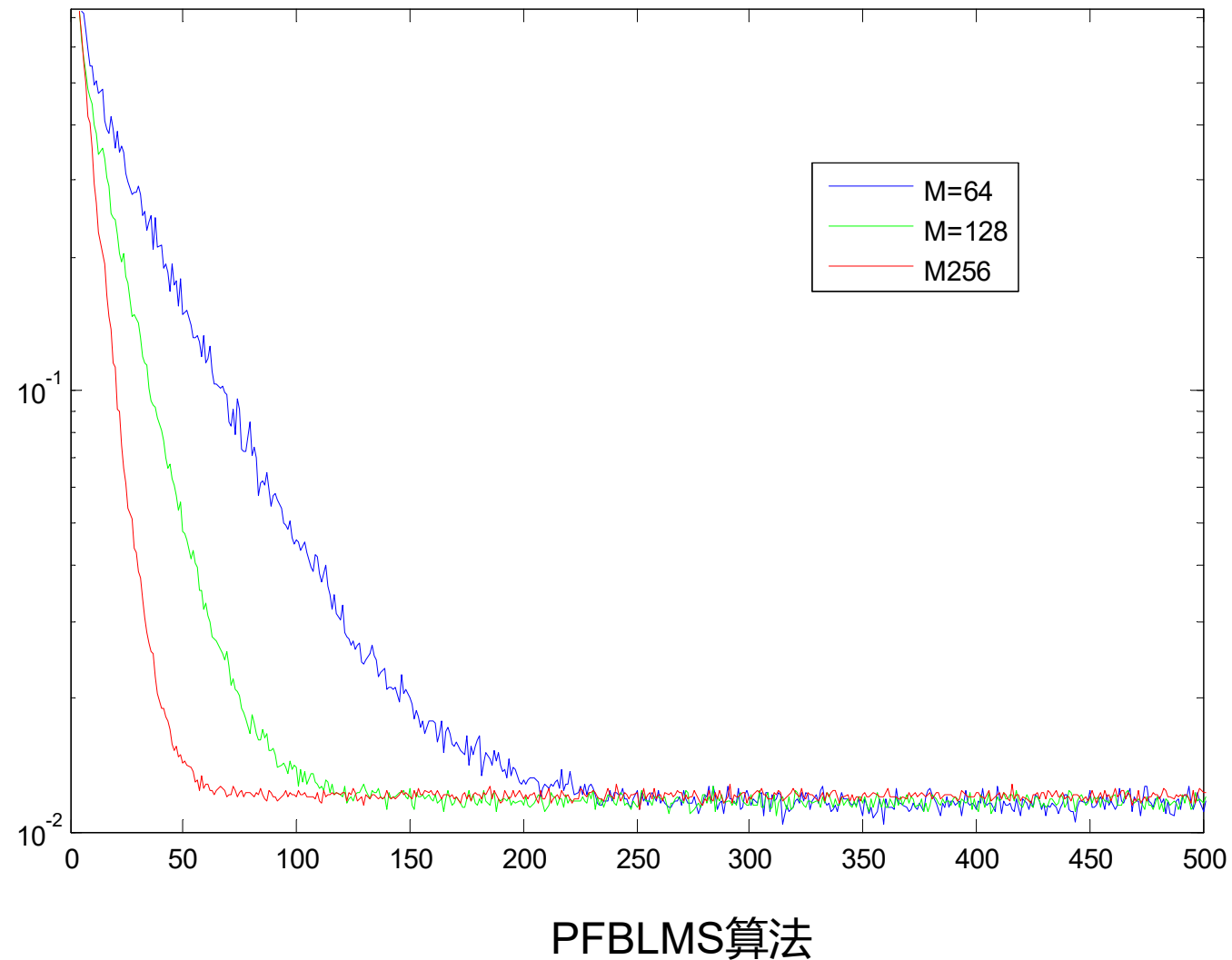
### 5. Tap-weight constraint:

for  $l = 0$  to  $P - 1$

$$w_{F,l}(k + 1) = \text{FFT} \left( \begin{bmatrix} \text{first } M \text{ elements of IFFT}(w_{F,l}(k + 1)) \\ \mathbf{0} \end{bmatrix} \right)$$

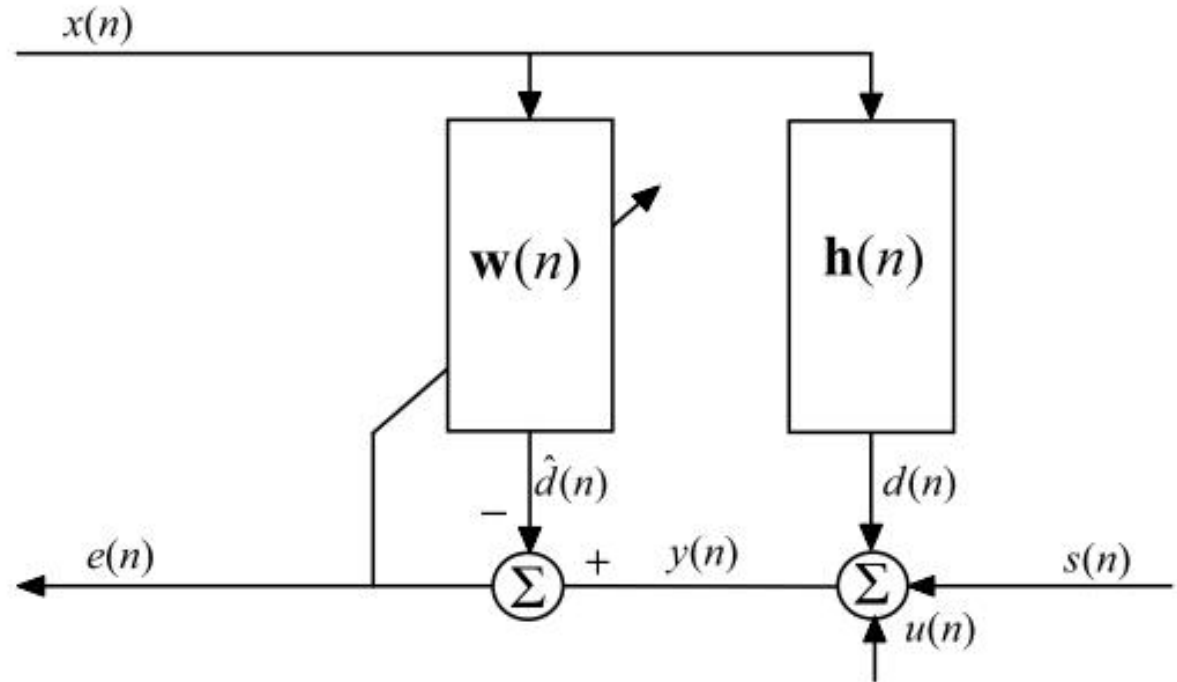
# 语音信号处理-回声消除

PFBLMS算法性能



# 语音信号处理-回声消除

AEC中滤波器保护



$$\mu_{m\_opt}(k) = \frac{S_{\varepsilon\varepsilon}(k)}{S_{ee}(k)} = \frac{|S_{\hat{d}e}(k)|}{S_{\hat{d}\hat{d}}(k) * S_{ee}(k)}$$

$$\varepsilon(n) = d(n) - \hat{d}(n)$$

DoubleTalk检测

# 语音信号处理-回声消除

AEC后滤波算法

$$P_m(k) = \frac{S_{ll,m}(k)}{S_{ee,m}(k)} = \frac{S_{ll,m}(k)}{S_{ll,m}(k) + S_{ee,m}(k)}$$

WebRTC后滤波算法

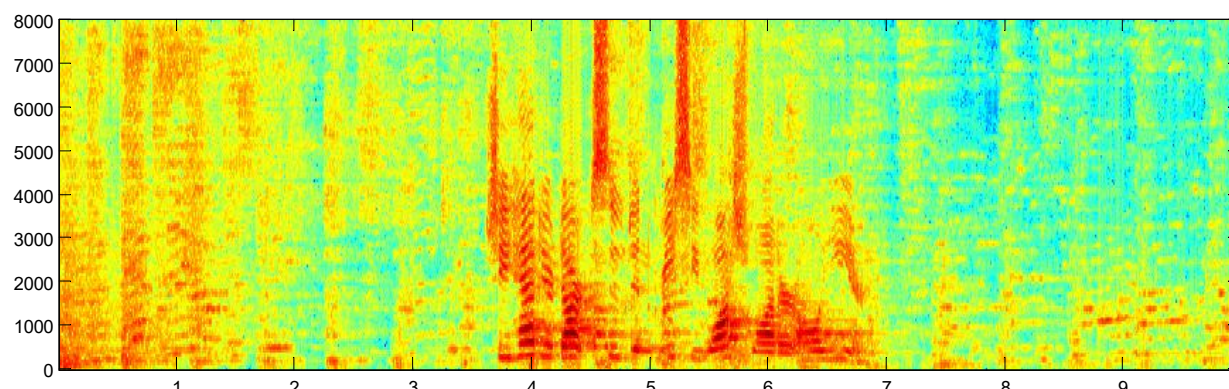
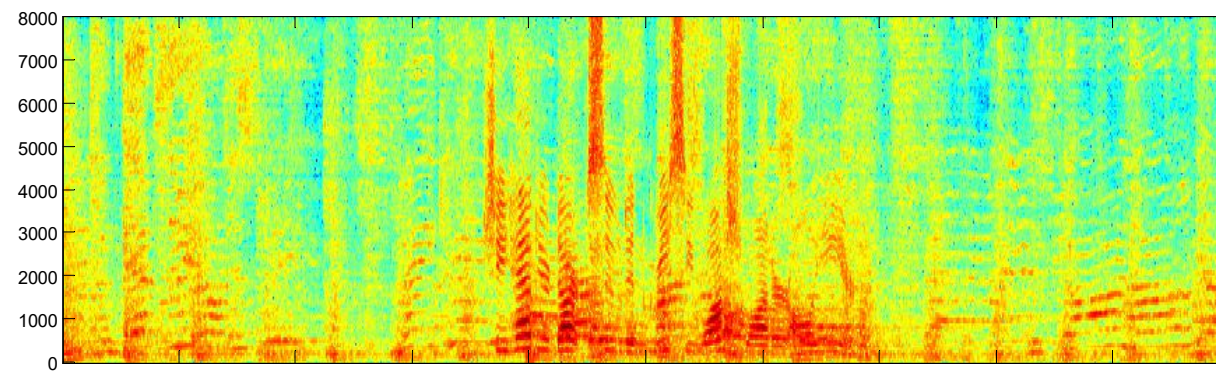
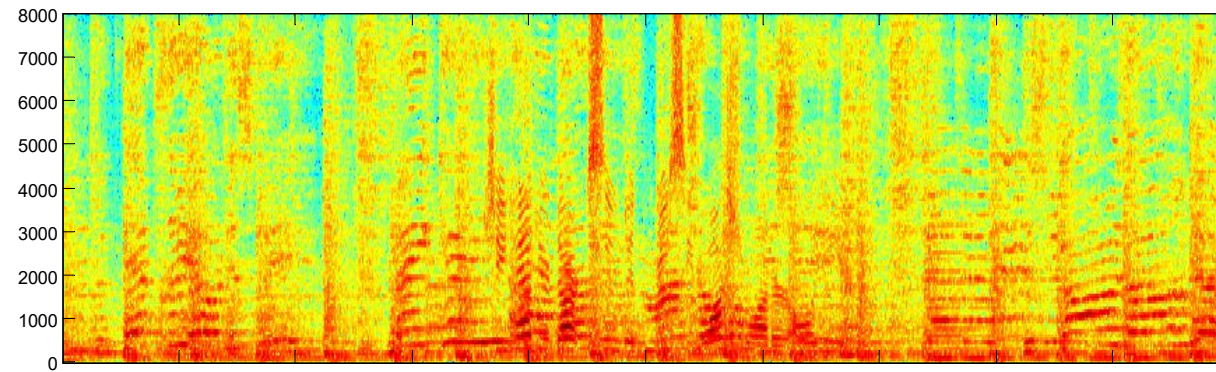
$$P_m(k) = \text{Min}(r_{de}, 1 - r_{xd})$$
$$r_{de} = \frac{|S_{de}|^2}{S_{dd}S_{ee}}$$
$$r_{xd} = \frac{|S_{xd}|^2}{S_{xx}S_{dd}}$$

Speex后滤波算法

$$P_m(k) = \frac{\hat{S}_{ll}(k)}{\hat{S}_{ll}(k) + \hat{S}_{ee}(k) + \hat{S}_{nn}(k)}$$

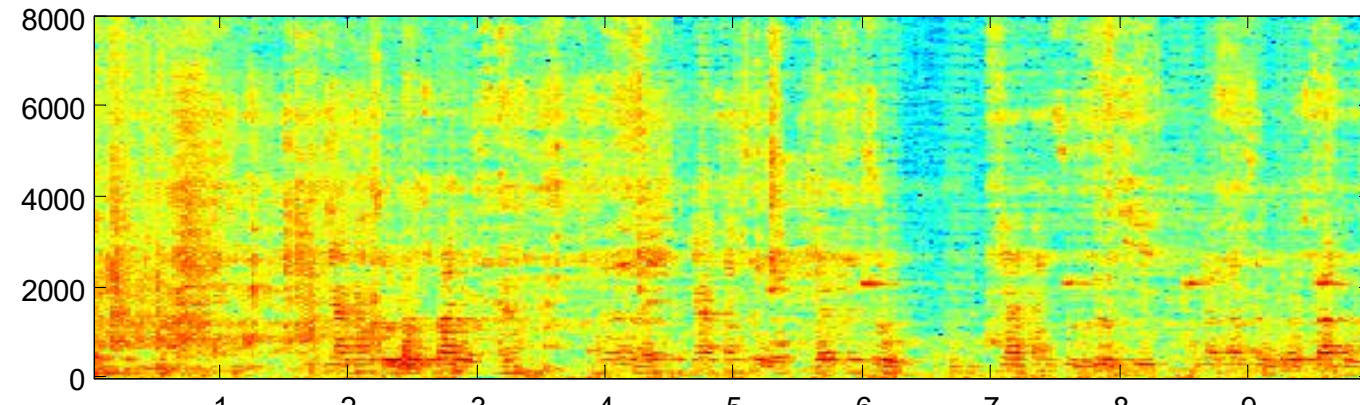
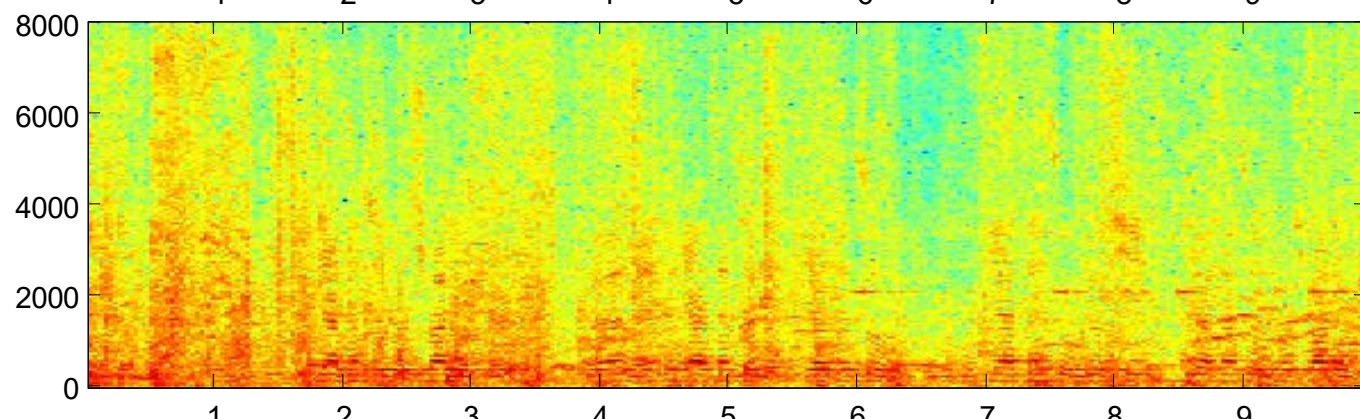
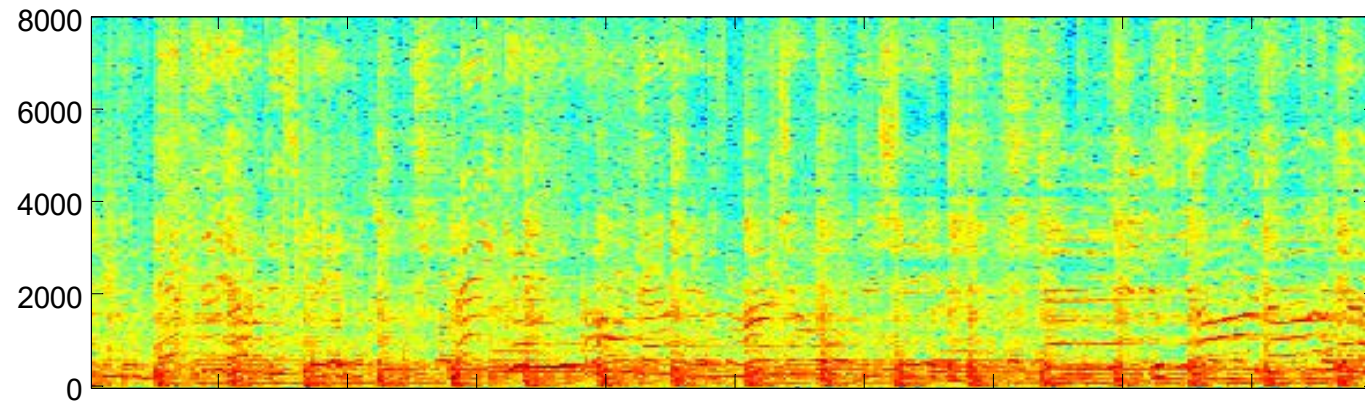
# 语音信号处理-回声消除

AEC后滤波算法



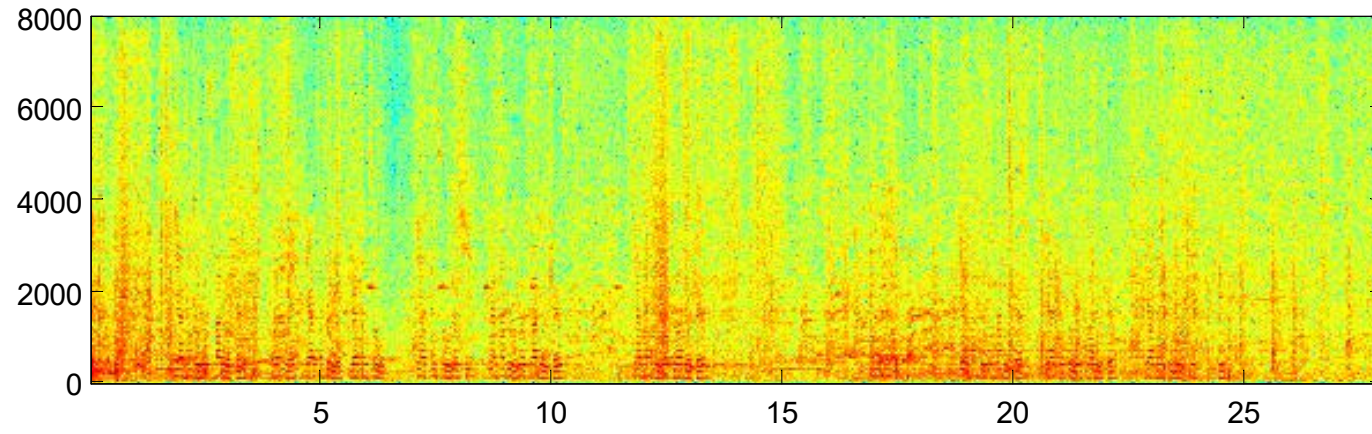
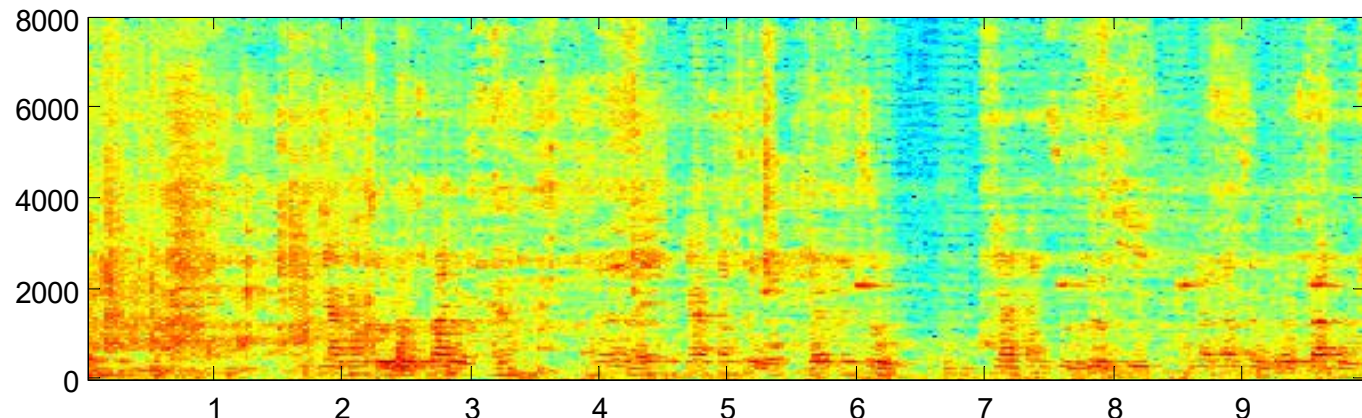
# 语音信号处理-回声消除

AEC后滤波算法



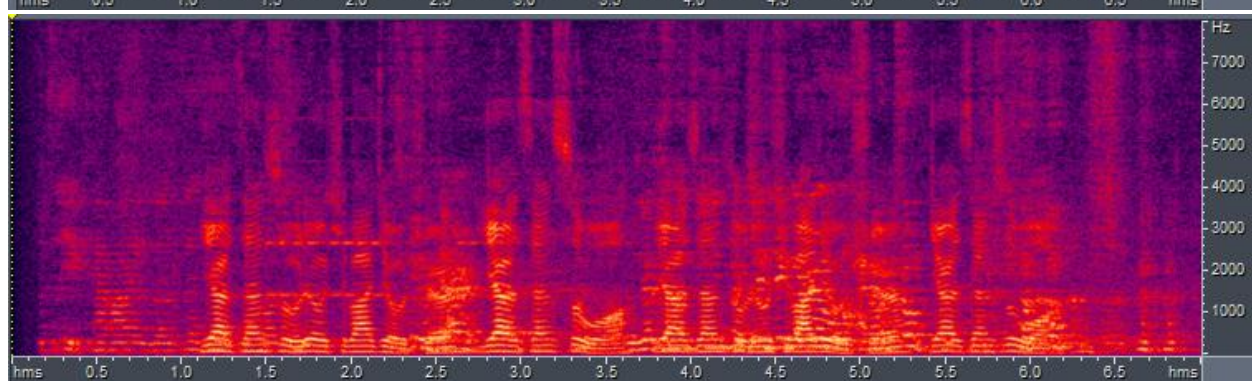
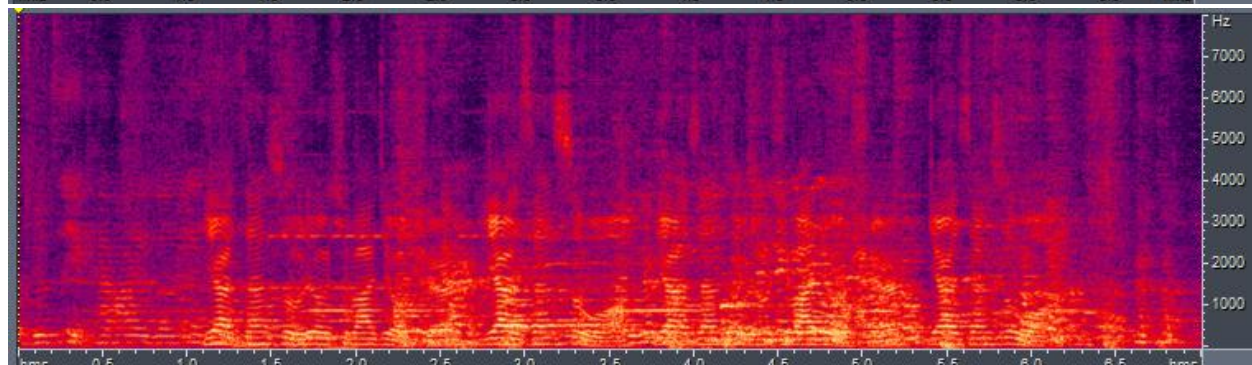
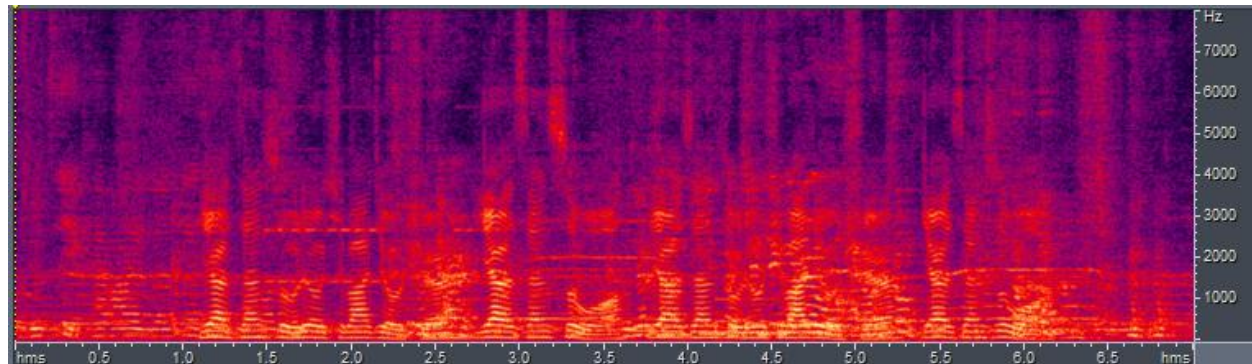
# 语音信号处理-回声消除

AEC后滤波算法



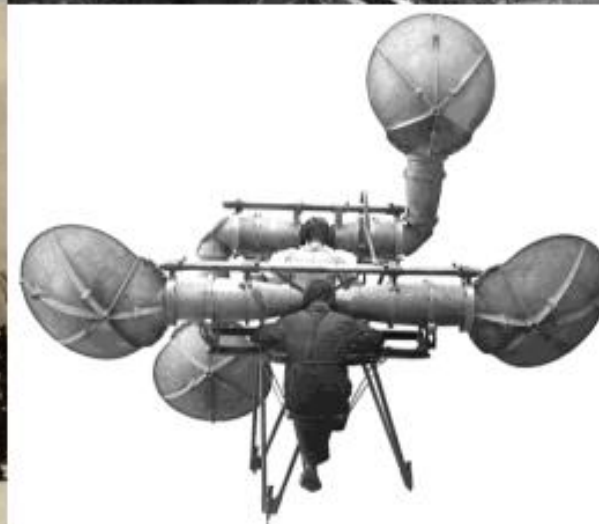
# 语音信号处理-回声消除

AEC滤波器发散



# 语音信号处理-波达方向估计

波达方向估计

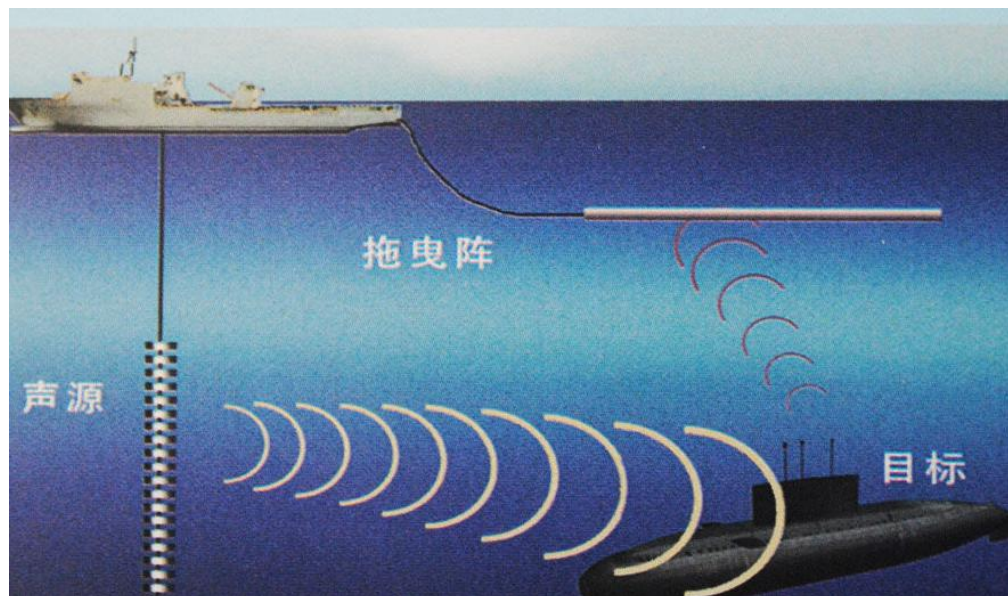


# 语音信号处理-波达方向估计

雷达

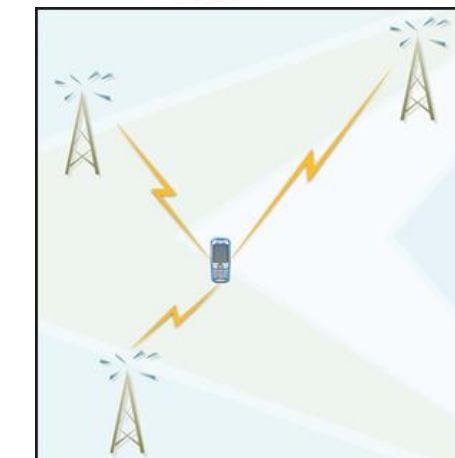
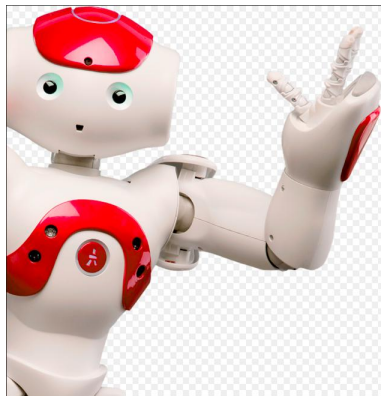
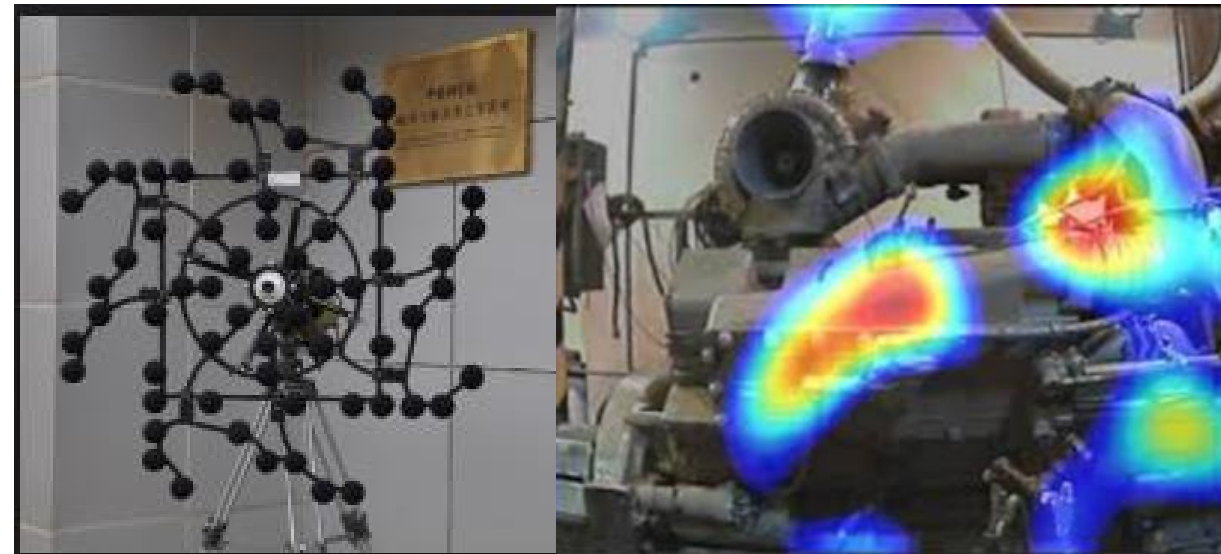
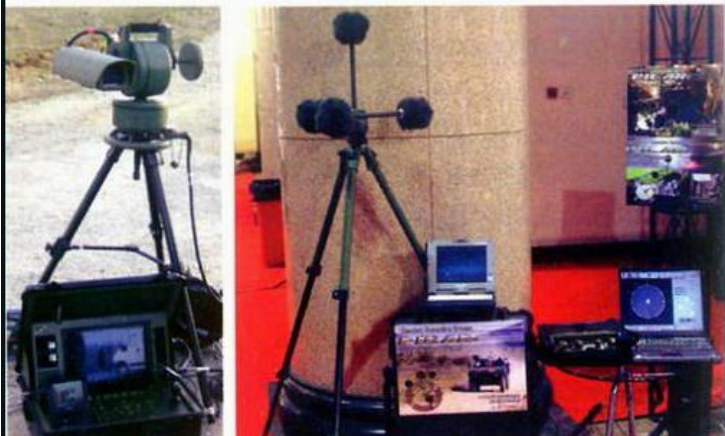


声呐



# 语音信号处理-波达方向估计

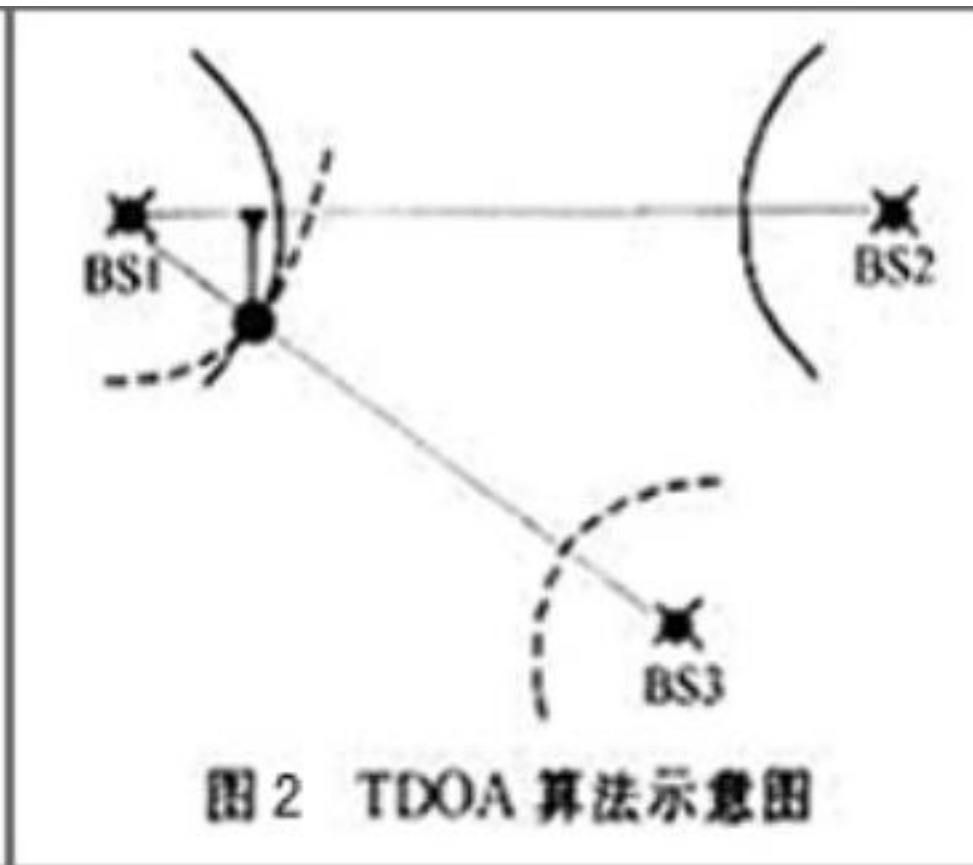
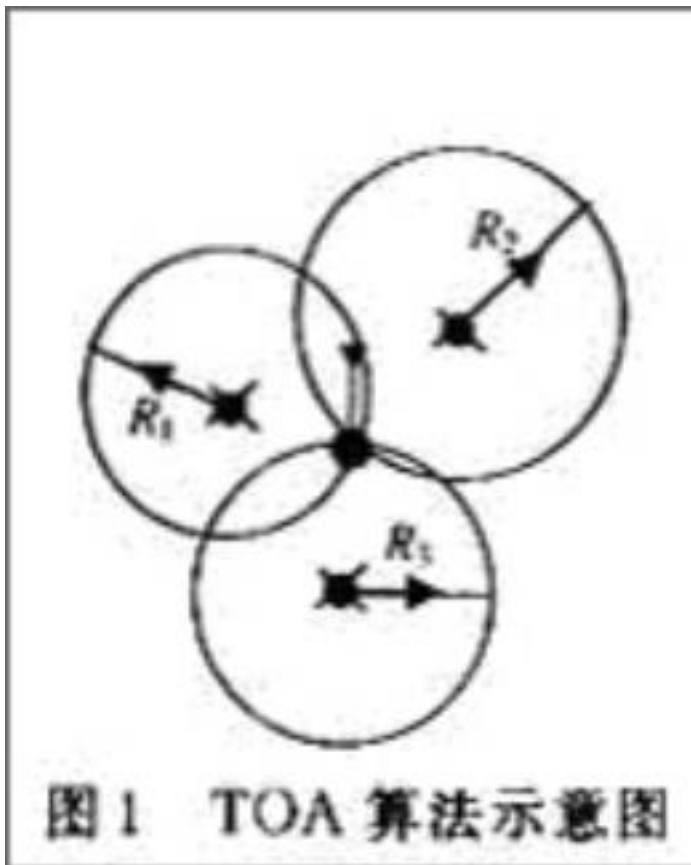
↓ 法国“皮勒尔”系统（右），该系统也是世界上广泛使用的声探测反狙击系统。系统还可连接视频输出终端（左），终端带有摄像机可立即转向弹丸来袭方向，显示相关区域视频图像。



# 语音信号处理-波达方向估计

麦克风阵列形式：分布式阵列和传统阵列

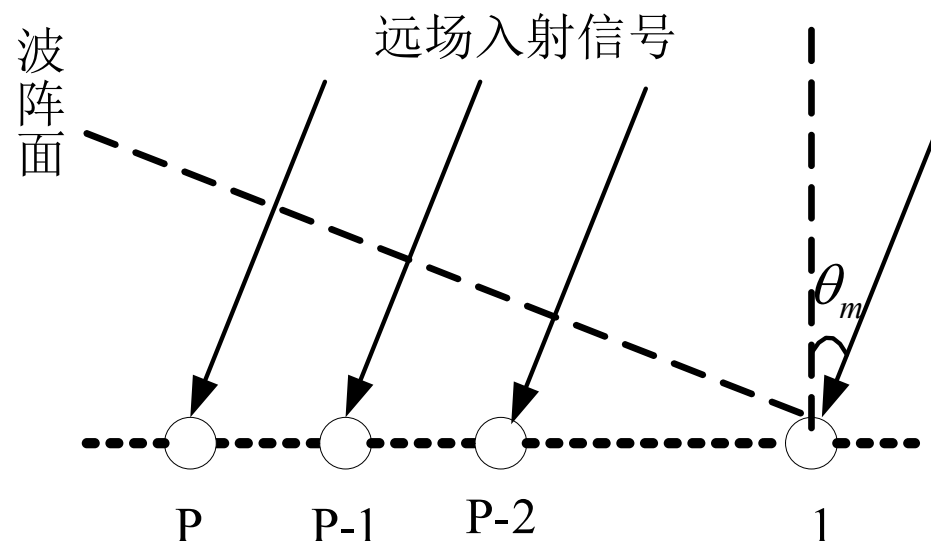
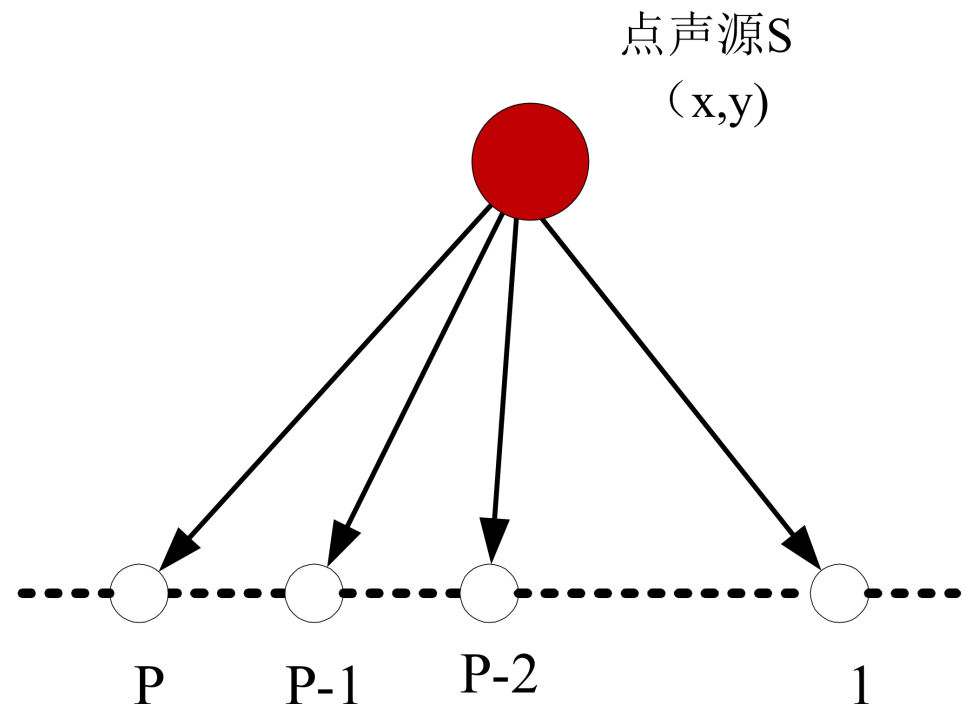
分布式阵列算法介绍



# 语音信号处理-波达方向估计

麦克风阵列形式：分布式阵列和传统阵列

传统阵列算法介绍



$$\left| \tau_{pm} = \left( \sqrt{(x - x_p)^2 + (y - y_p)^2} - \sqrt{(x - x_m)^2 + (y - y_m)^2} \right) / c \right|$$

$$\tau_{pm} = \frac{(p-1)d \sin \theta_m}{c} \quad p = 1, 2, \dots, P$$

# 语音信号处理-波达方向估计

传统阵列算法介绍：窄带信号

阵列基本概念

$$x_p(t) = \sum_{m=1}^M s_m(t) e^{-i2\pi f \tau_{mp}} + w_p(t) \quad p = 1, 2, \dots, P$$

$$\mathbf{x}(t) = \mathbf{A}\mathbf{s}(t) + \mathbf{w}(t)$$

$$\mathbf{x}(t) = [x_1(t), x_2(t), \dots, x_p(t)]^T$$

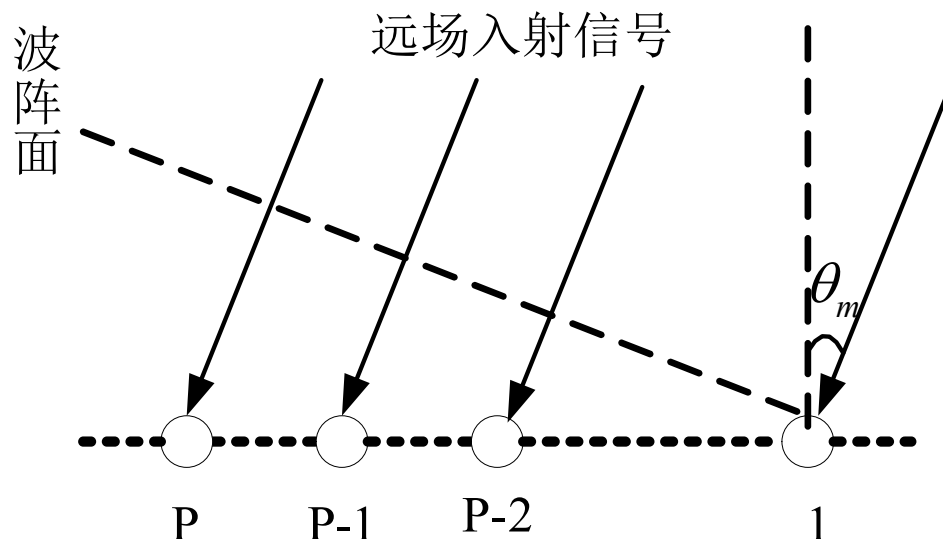
$$\mathbf{A} = [\mathbf{a}_1, \mathbf{a}_2, \dots, \mathbf{a}_M]$$

$$\mathbf{a}_m = [e^{-i2\pi f \tau_{1m}}, e^{-i2\pi f \tau_{2m}}, \dots, e^{-i2\pi f \tau_{Pm}}]^T$$

$$\mathbf{R}_x = E\{\mathbf{x}(t)\mathbf{x}^H(t)\} = \mathbf{A}E\{\mathbf{s}(t)\mathbf{s}^H(t)\}\mathbf{A}^H + E\{\mathbf{w}(t)\mathbf{w}^H(t)\}$$

$$= \mathbf{A}\mathbf{R}_s\mathbf{A}^H + \mathbf{R}_w$$

$$\mathbf{R}_x = \mathbf{A}\mathbf{R}_s\mathbf{A}^H + \sigma_w^2 \mathbf{I}$$

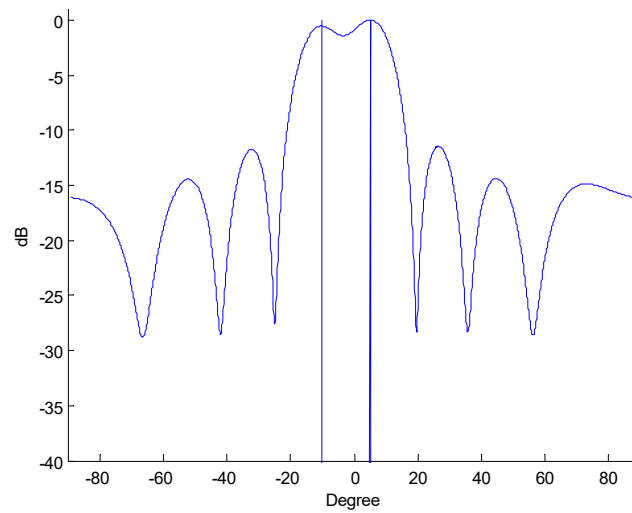


# 语音信号处理-波达方向估计

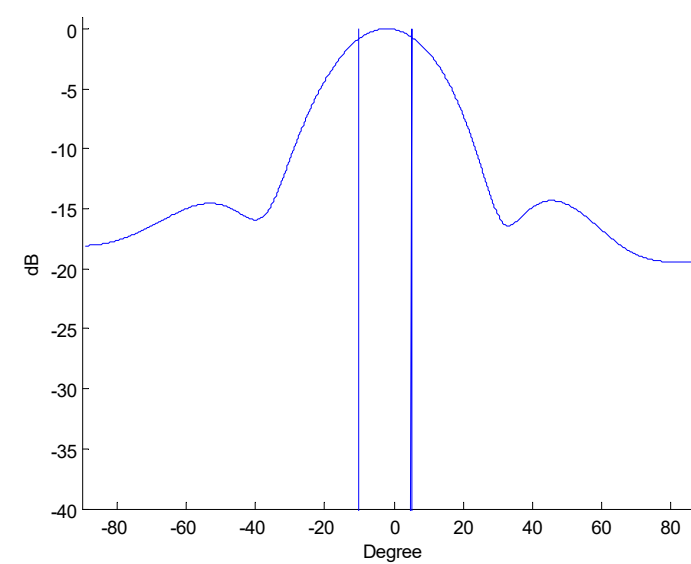
传统阵列算法介绍：窄带信号

波束形成算法

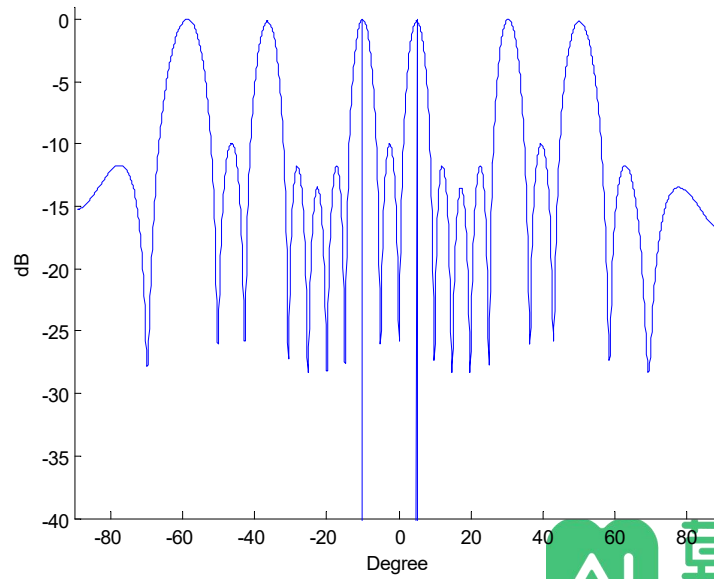
$$J = \mathbf{a}(\theta) \mathbf{R} \mathbf{a}(\theta)^H \quad \mathbf{a}(\theta) = [1, e^{-j2\pi f d \sin(\theta)/c}, \dots, e^{-j2\pi f (P-1)d \sin(\theta)/c}]^T$$



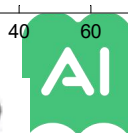
$$d = \lambda/2$$



$$d < \lambda/2$$



$$d > \lambda/2$$

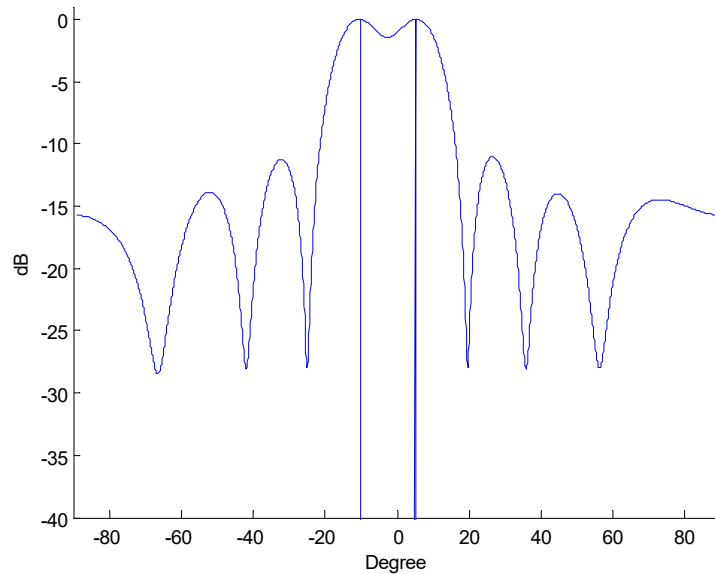


慕课学院  
www.mooc.ai

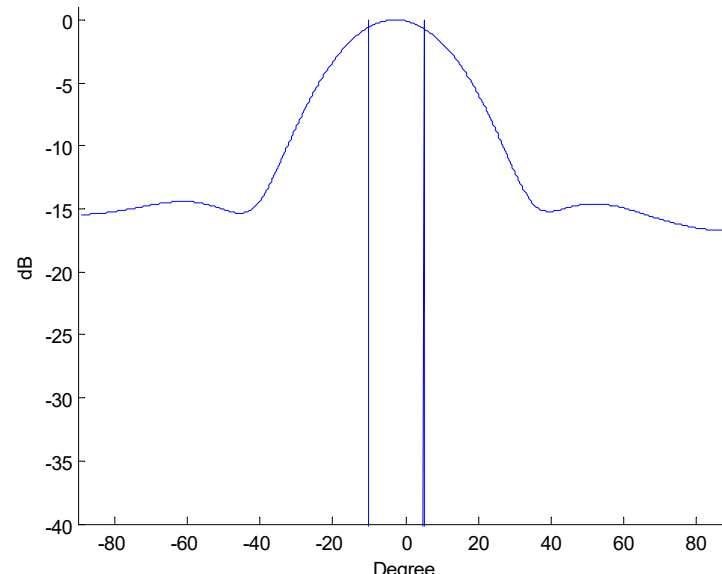
# 语音信号处理-波达方向估计

传统阵列算法介绍：窄带信号

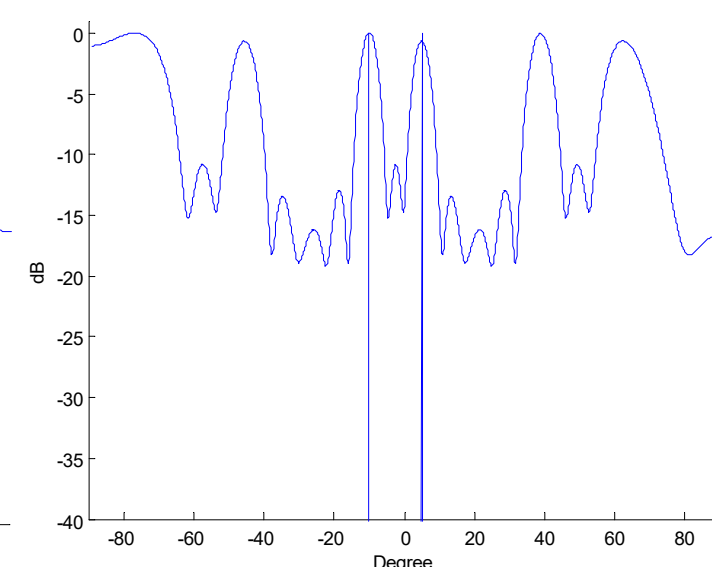
$$d = 0.17$$



$$f = 1000$$



$$f = 500$$



$$f = 2500$$

# 语音信号处理-波达方向估计

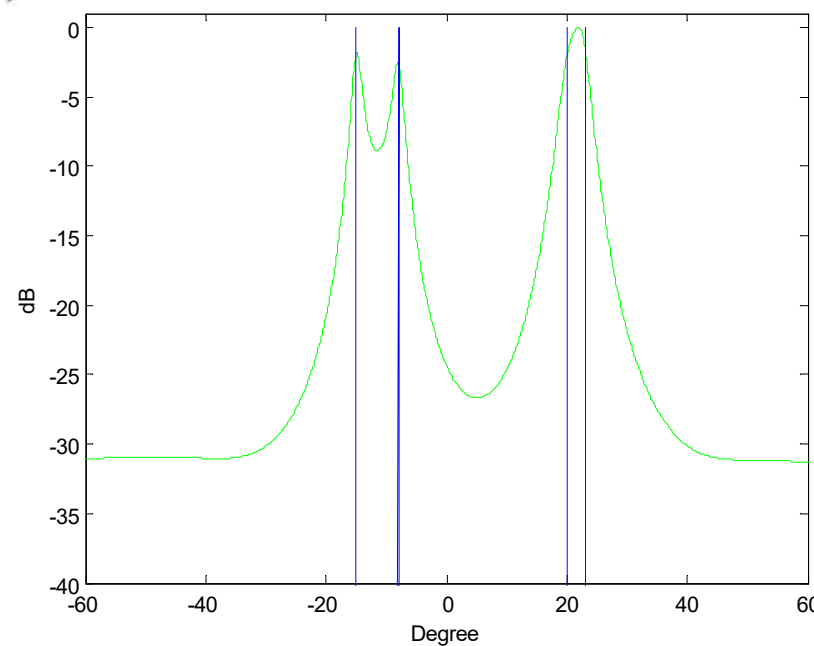
传统阵列算法介绍：窄带信号

Capon算法

$$\begin{cases} \min \mathbf{w}^H R \mathbf{w} \\ \mathbf{w}^H \mathbf{a}(\theta) = 1 \end{cases}$$

$$\mathbf{w} = \frac{\mathbf{R}^{-1} \mathbf{a}(\theta)}{\mathbf{a}(\theta) \mathbf{R}^{-1} \mathbf{a}(\theta)^H}$$

$$J = \frac{1}{\mathbf{a}(\theta) \mathbf{R}^{-1} \mathbf{a}(\theta)^H} \quad \mathbf{a}(\theta) = [1, e^{-j2\pi f d \sin(\theta)/c}, \dots, e^{-j2\pi f (P-1) d \sin(\theta)/c}]^T$$



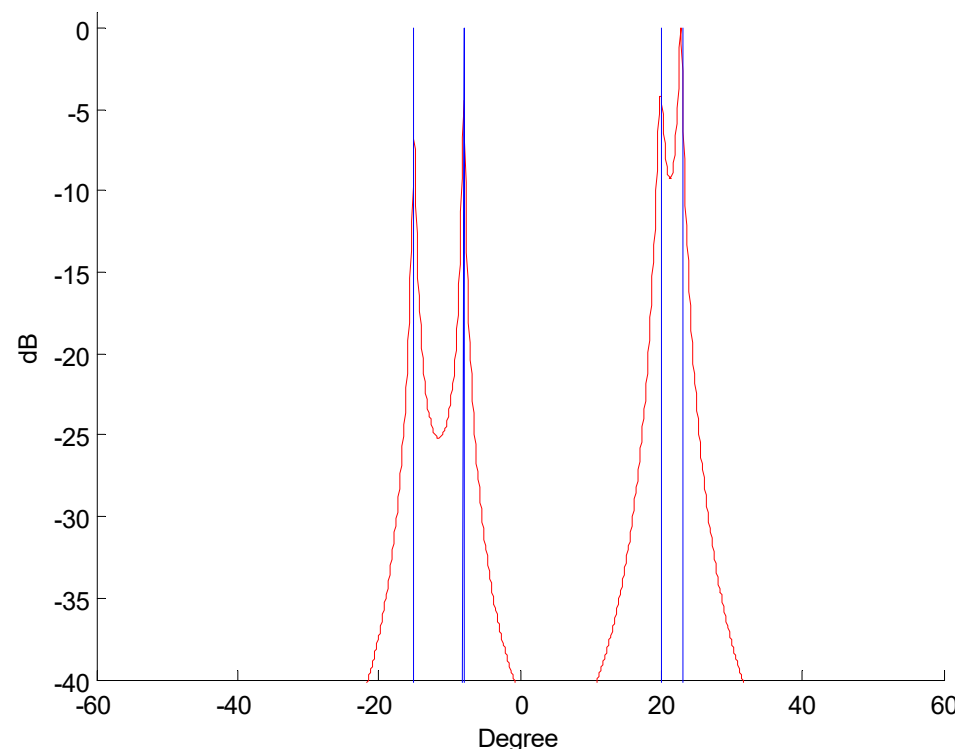
# 语音信号处理-波达方向估计

传统阵列算法介绍：窄带信号

MUSIC算法

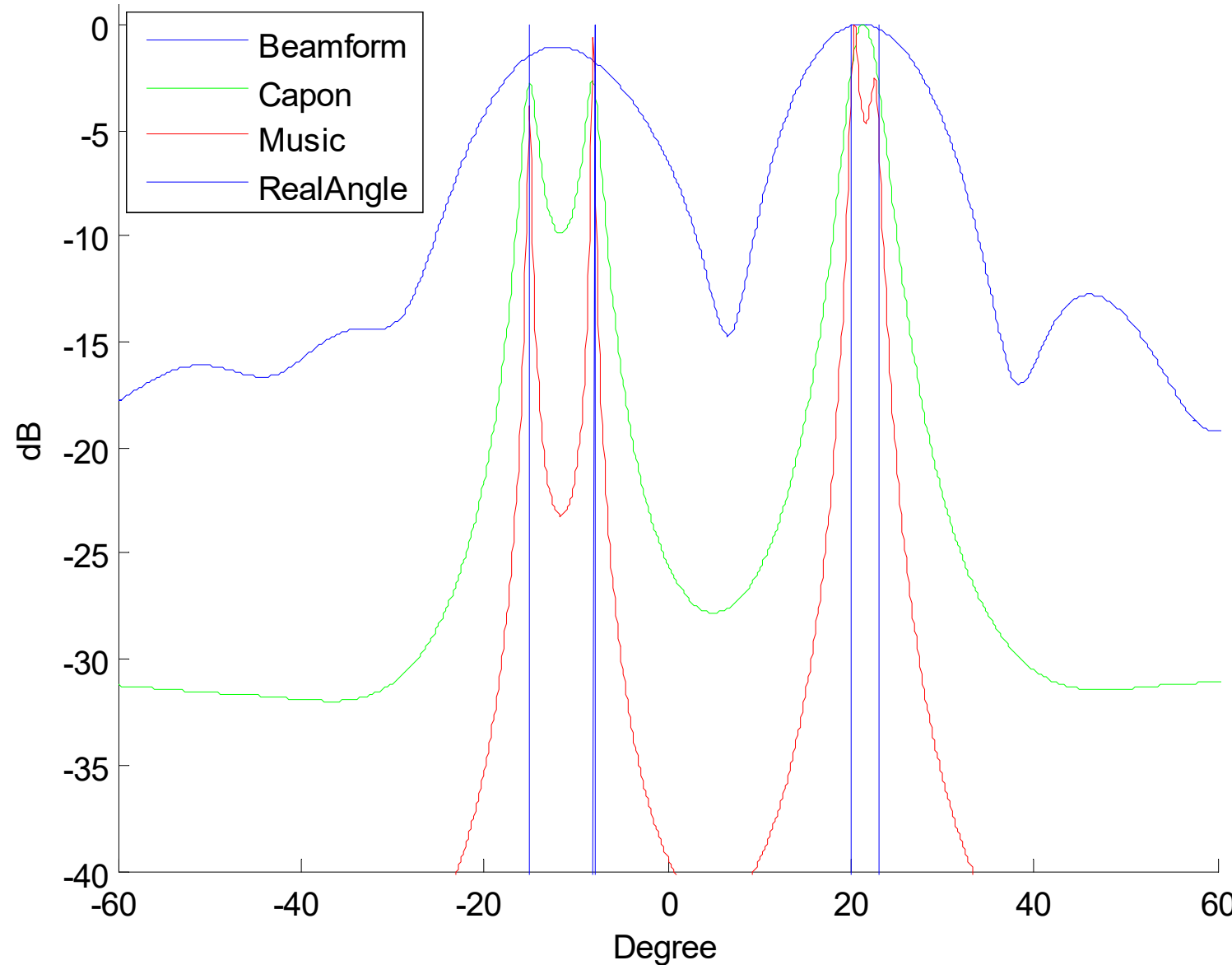
$$\mathbf{R}_x = \mathbf{U}_s \boldsymbol{\Lambda}_s \mathbf{U}_s^H + \mathbf{U}_n \boldsymbol{\Lambda}_n \mathbf{U}_n^H \quad \mathbf{R} = \mathbf{U} diag[\sigma_1^2, \sigma_2^2, \dots, \sigma_P^2] \mathbf{U}^H$$

$$J_{MUSIC}(\theta) = \frac{1}{\mathbf{a}(\theta)^H \mathbf{U}_n \mathbf{U}_n^H \mathbf{a}(\theta)}$$



# 语音信号处理-波达方向估计

传统阵列算法介绍：窄带信号



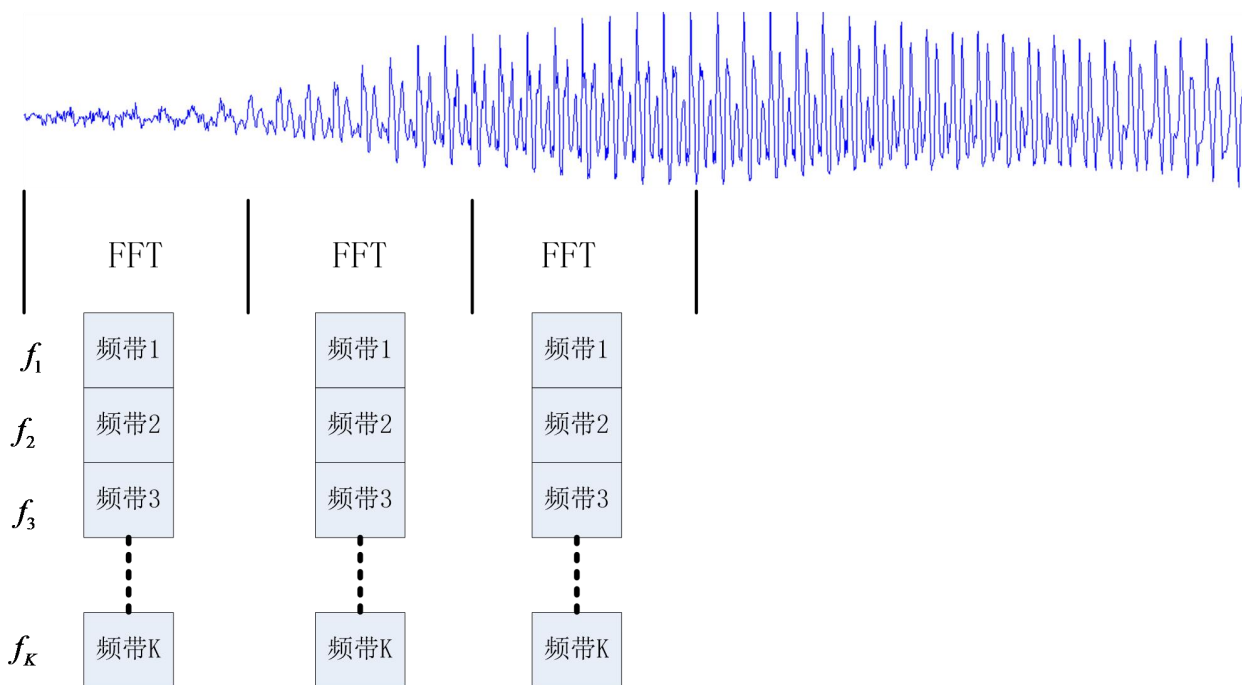
# 语音信号处理-波达方向估计

传统阵列算法介绍：宽带信号

$$x_p(t) = \sum_{m=1}^M s_m(t - \tau_{mp}) + w_p(t) \quad p = 1, 2, \dots, P$$

$$X_p(f_j) = \sum_{m=1}^M S_m(f_j) e^{-i2\pi f_j \tau_{mp}} + W_p(f_j) \quad p = 1, 2, \dots, P$$

$$\mathbf{X}(f_j) = \mathbf{A}(f_j) \mathbf{S}(f_j) + \mathbf{W}(f_j)$$



# 语音信号处理-波达方向估计

传统阵列算法介绍：宽带信号

宽带波束形成算法

$$J(\theta) = \sum_{k=1}^K \mathbf{a}(f_k, \theta)^H \mathbf{R}(f_k) \mathbf{a}(f_k, \theta)$$

宽带Capon算法

$$J(\theta) = \sum_{k=1}^K \frac{1}{\mathbf{a}(f_k, \theta)^H \mathbf{R}^{-1}(f_k) \mathbf{a}(f_k, \theta)}$$

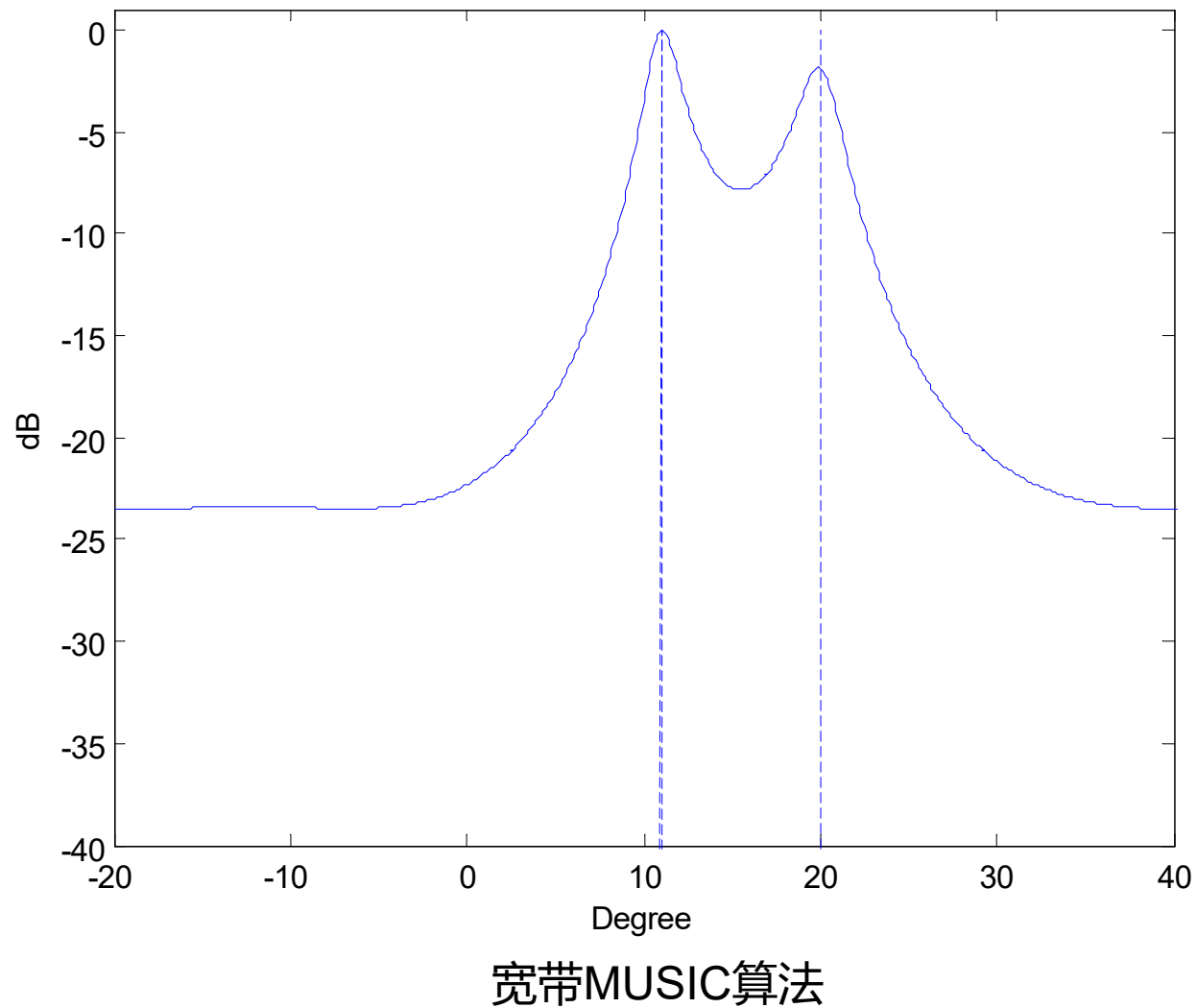
宽带MUSIC算法

$$J(\theta) = \sum_{k=1}^K \frac{1}{\mathbf{a}(f_k, \theta)^H \mathbf{U}_n(f_k) \mathbf{U}_n^H(f_k) \mathbf{a}(f_k, \theta)}$$

$$\mathbf{a}(f_k, \theta) = [1, e^{-j2\pi f_k d \sin(\theta)/c}, \dots, e^{-j2\pi f_k (P-1) d \sin(\theta)/c}]^T$$

# 语音信号处理-波达方向估计

传统阵列算法介绍：宽带信号



# 语音信号处理-波达方向估计

传统阵列算法介绍：宽带信号

相干子空间方法

$$\mathbf{T}_j \mathbf{A}_j(\boldsymbol{\theta}) = \mathbf{A}_0(\boldsymbol{\theta}) \quad j = 1, \dots, K$$

$$\mathbf{Y}_j = \mathbf{T}_j \mathbf{X}_j \quad j = 1, \dots, K$$

$$\begin{aligned} \mathbf{R}_{\mathbf{Y}}(f_j) &= E[\mathbf{Y}_j \mathbf{Y}_j^H] = \mathbf{T}_j \mathbf{R}_{\mathbf{X}}(f_j) \mathbf{T}_j^H = \mathbf{T}_j \mathbf{A}_j \mathbf{R}_{\mathbf{s}}(f_j) \mathbf{A}_j^H \mathbf{T}_j^H + \sigma^2 \mathbf{T}_j \mathbf{T}_j^H \\ &= \mathbf{A}_0 \mathbf{R}_{\mathbf{s}}(f_j) \mathbf{A}_0^H + \sigma^2 \mathbf{T}_j \mathbf{T}_j^H \end{aligned}$$

RSS算法

$$\begin{cases} \min_{\mathbf{T}_j} \|\mathbf{A}_0(\boldsymbol{\beta}) - \mathbf{T}_j \mathbf{A}_j(\boldsymbol{\beta})\|_F \\ s.t. \quad \mathbf{T}_j^H \mathbf{T}_j = \mathbf{I} \end{cases}$$

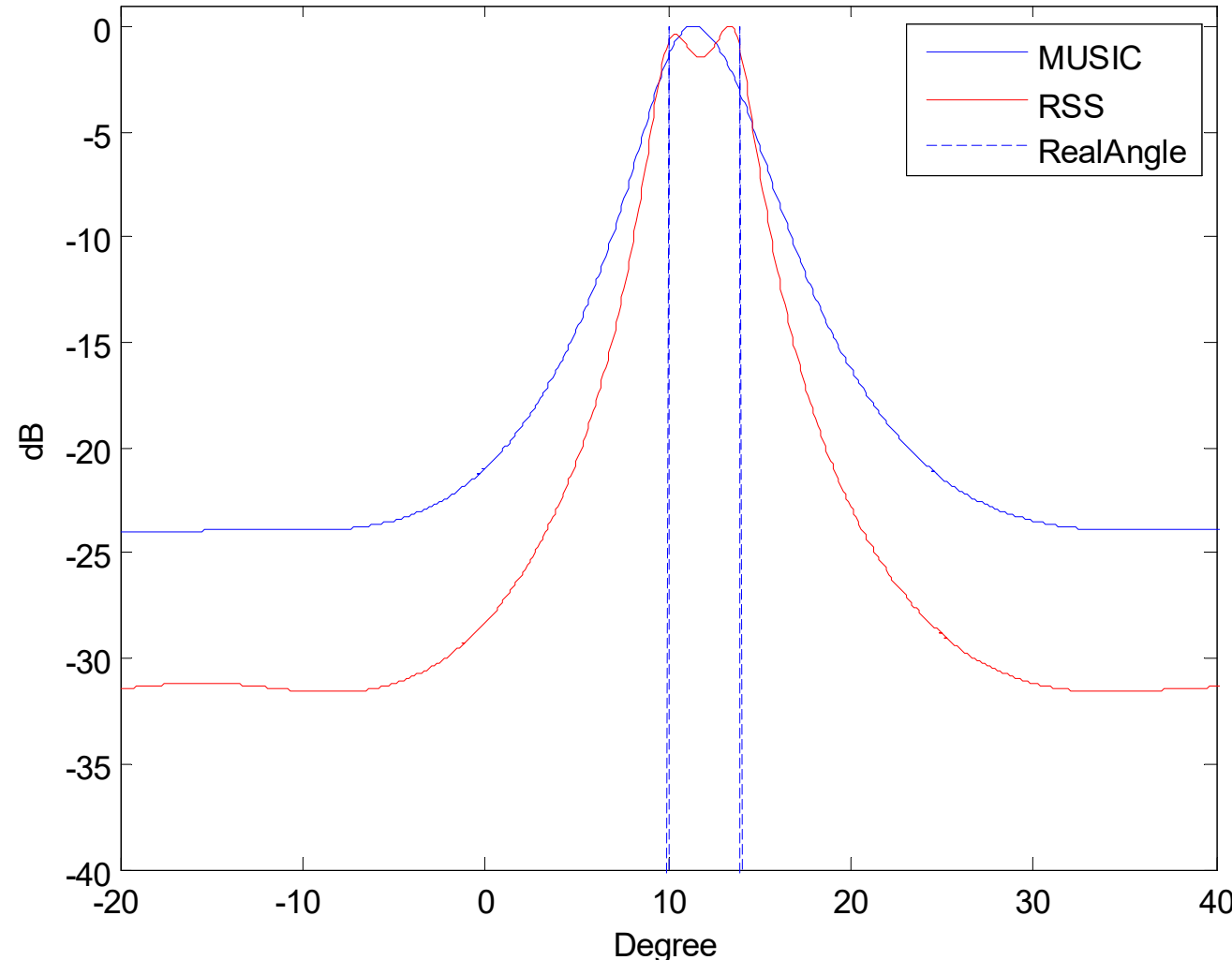
$$\mathbf{T}_j = \mathbf{V}_j \mathbf{U}_j^H$$

其中矩阵  $\mathbf{V}_j$  和  $\mathbf{U}_j$  的列分别为矩阵  $\mathbf{A}_j \mathbf{A}_0^H$  的左奇异向量和右奇异向量

# 语音信号处理-波达方向估计

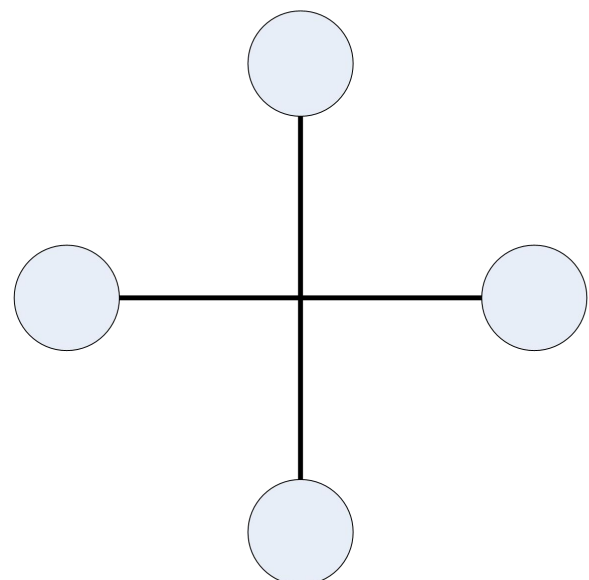
传统阵列算法介绍：宽带信号

相干子空间方法



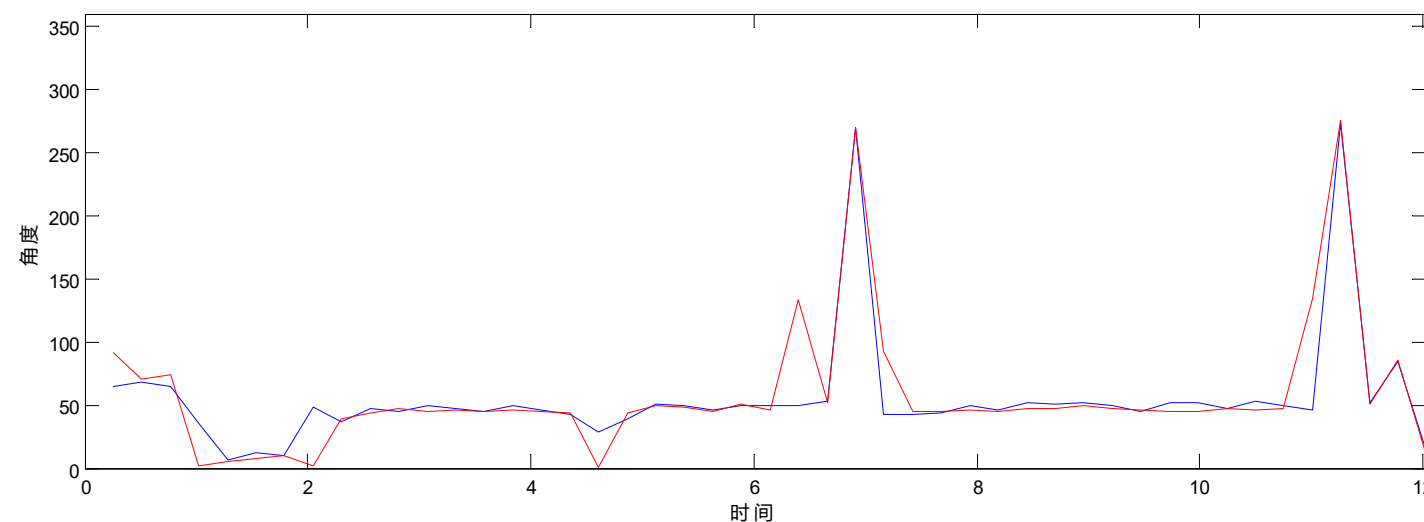
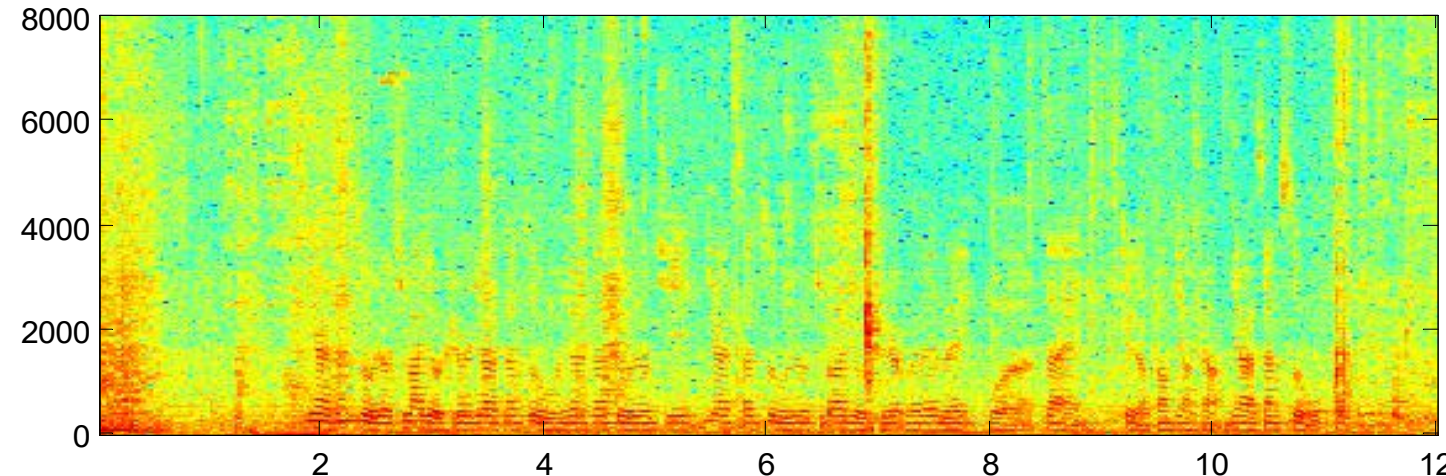
# 语音信号处理-波达方向估计

传统阵列算法介绍：宽带信号



# 语音信号处理-波达方向估计

传统阵列算法介绍：宽带信号



# 语音信号处理-波达方向估计

传统阵列算法介绍：GCC算法，波束形成算法，特征子空间算法

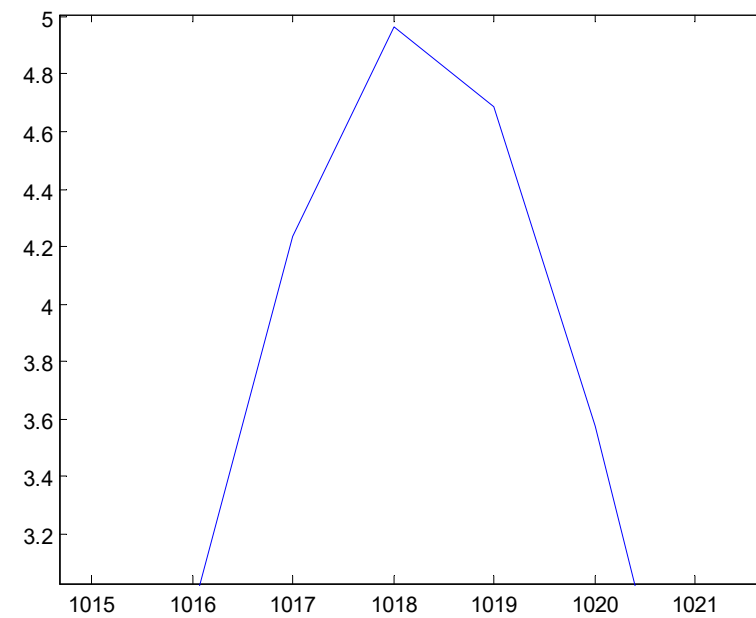
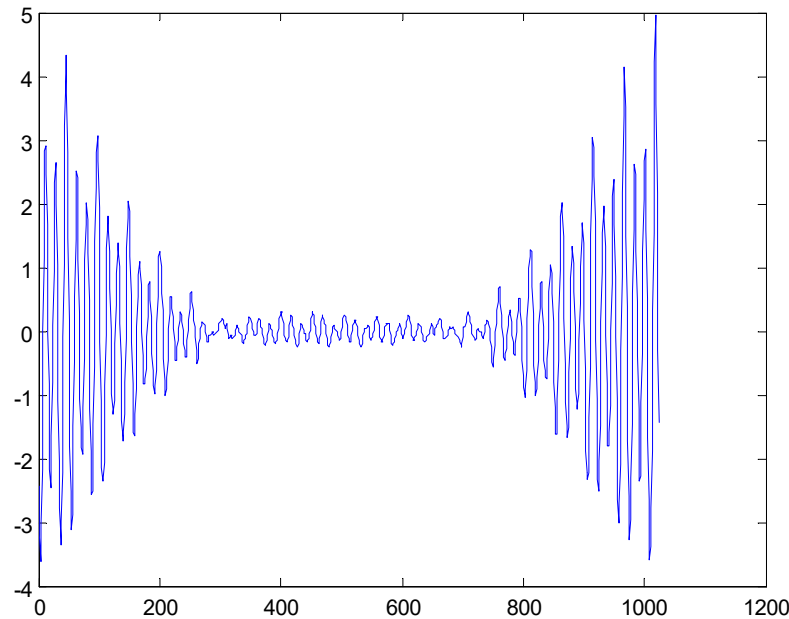
GCC算法

$$\begin{aligned}x_1(t) &= s(t) + n(t) \\x_2(t) &= s(t - \tau_{12}) + n(t)\end{aligned}\quad R_{12}(\tau) = \int_{-\infty}^{+\infty} x_1(t)x_2(t + \tau) \quad \hat{\tau}_{12} = \arg \max_{\tau \in D} R_{12}(\tau)$$

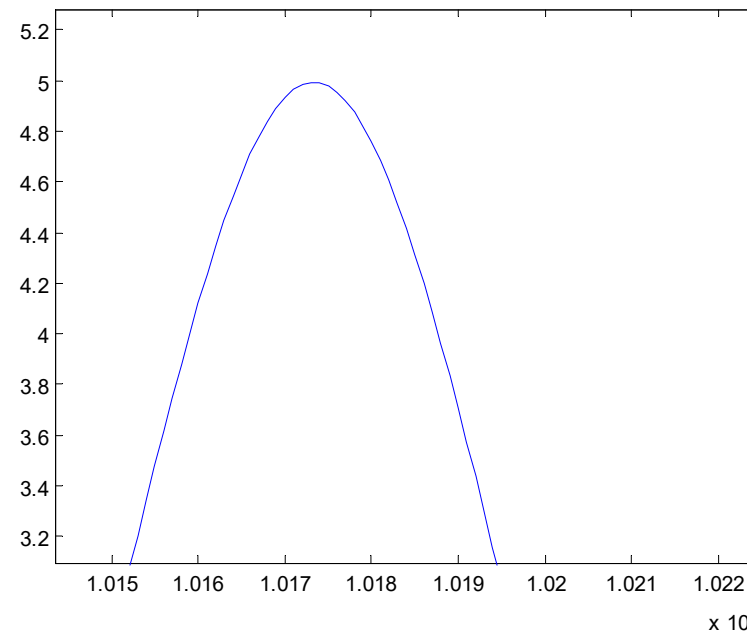
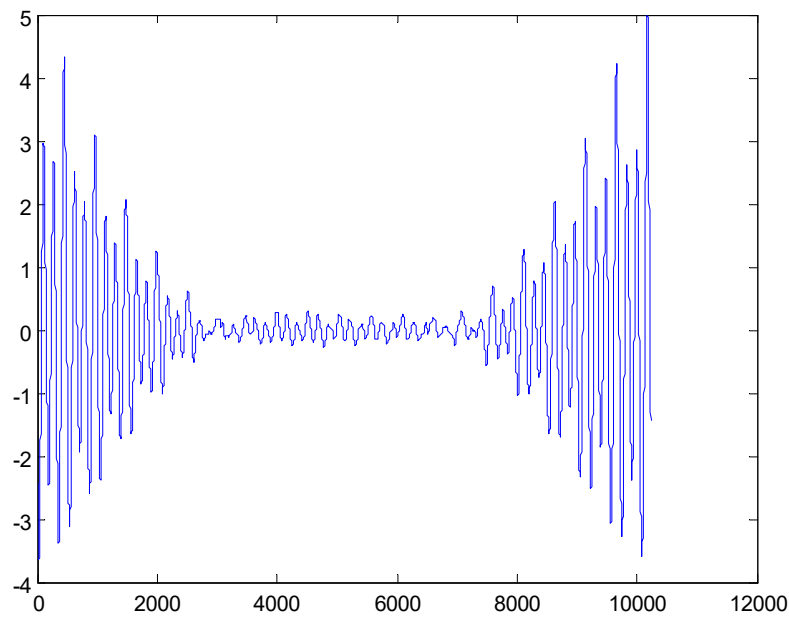
$$R_{12}(\tau) = IFFT \left( FFT(x_1(t))^* FFT(x_1(t))^* \right)$$

$$\begin{bmatrix} (x_1 - x_2)/c, (y_1 - y_2)/c \\ (x_2 - x_3)/c, (y_2 - y_3)/c \\ \vdots \\ (x_{P-1} - x_P)/c, (y_{P-1} - y_P)/c \end{bmatrix} \begin{bmatrix} \cos(\theta) \\ \sin(\theta) \end{bmatrix} = \begin{bmatrix} \tau_{12} \\ \tau_{23} \\ \vdots \\ \tau_{(P-1)P} \end{bmatrix}$$

# 语音信号处理-波达方向估计

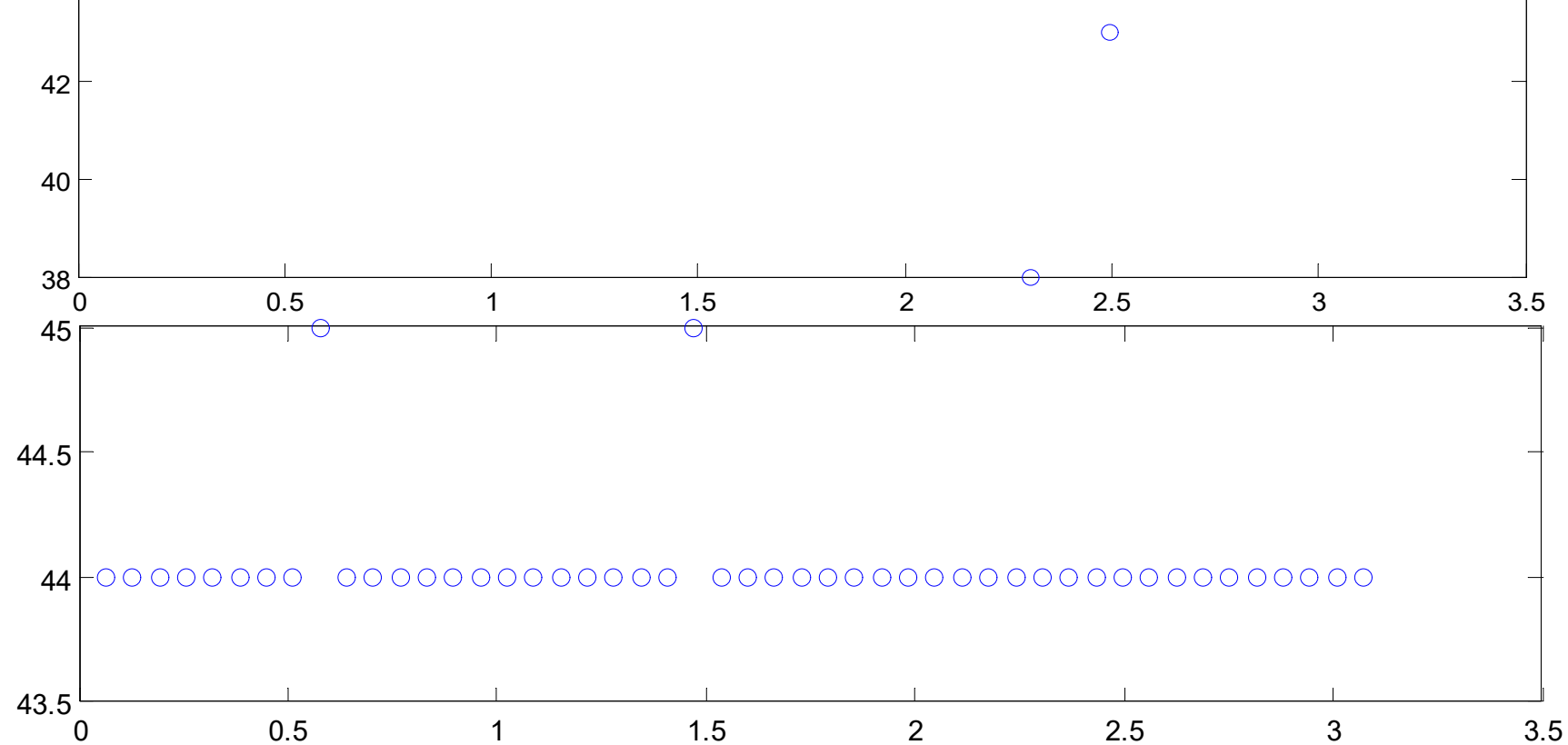
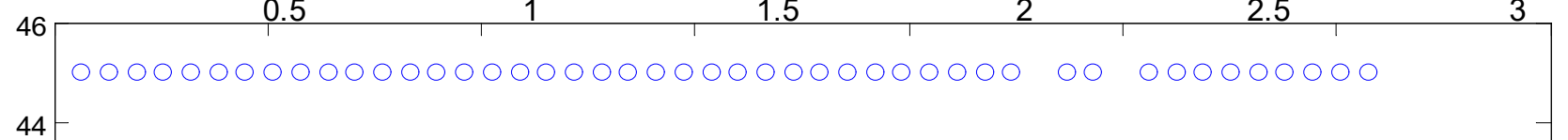
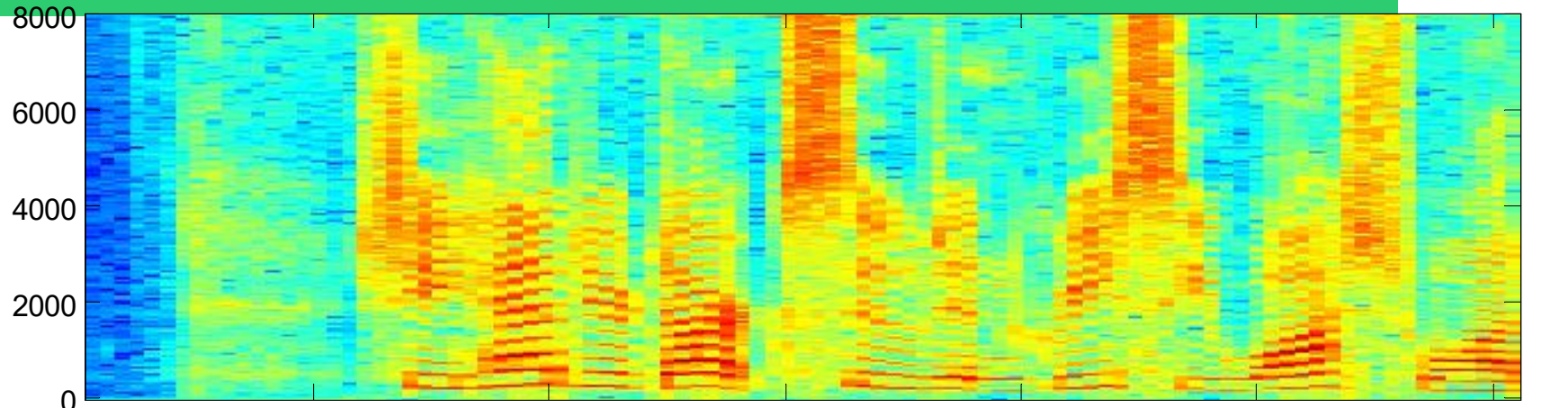


1017



1017.3

# 语音信号处理-波达方向估计



# 语音信号处理-波达方向估计

传统阵列算法介绍：GCC算法，波束形成算法，特征子空间算法

GCC改进算法

$$R_{12}(\tau) = \text{IFFT}\left(G(w)X_1(\omega)X_2^*(\omega)\right)$$

Roth算法

$$G(\omega) = \frac{1}{S_1(\omega)}$$

SCOT算法

$$G(\omega) = \frac{1}{\sqrt{S_1(\omega)S_2(\omega)}}$$

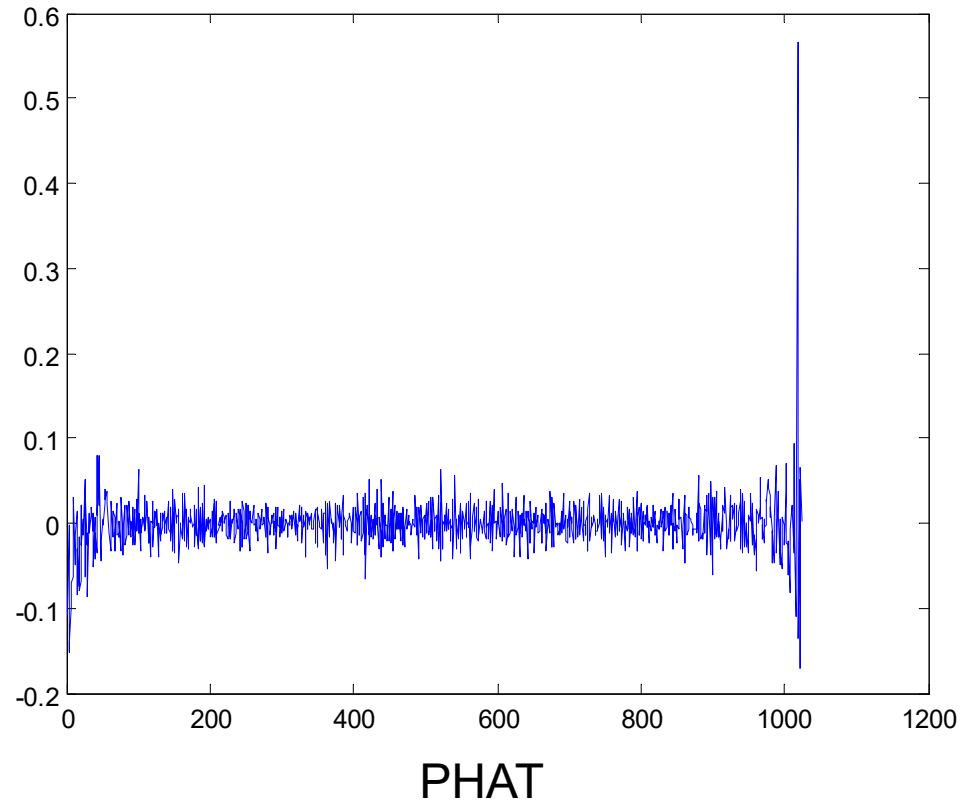
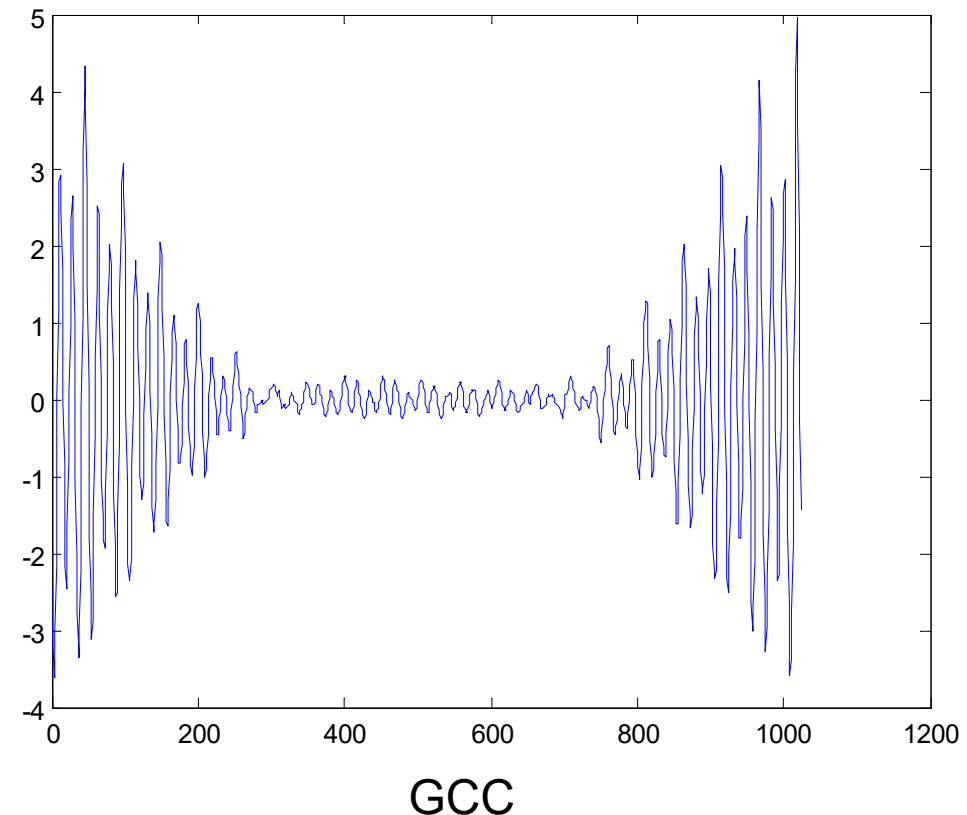
PHAT算法

$$G(\omega) = \frac{1}{|S_{12}(\omega)|}$$

ML算法

$$G(\omega) = \frac{|\gamma_{12}|^2}{|S_{12}(\omega)|\left(1 - |\gamma_{12}|^2\right)}$$

# 语音信号处理-波达方向估计

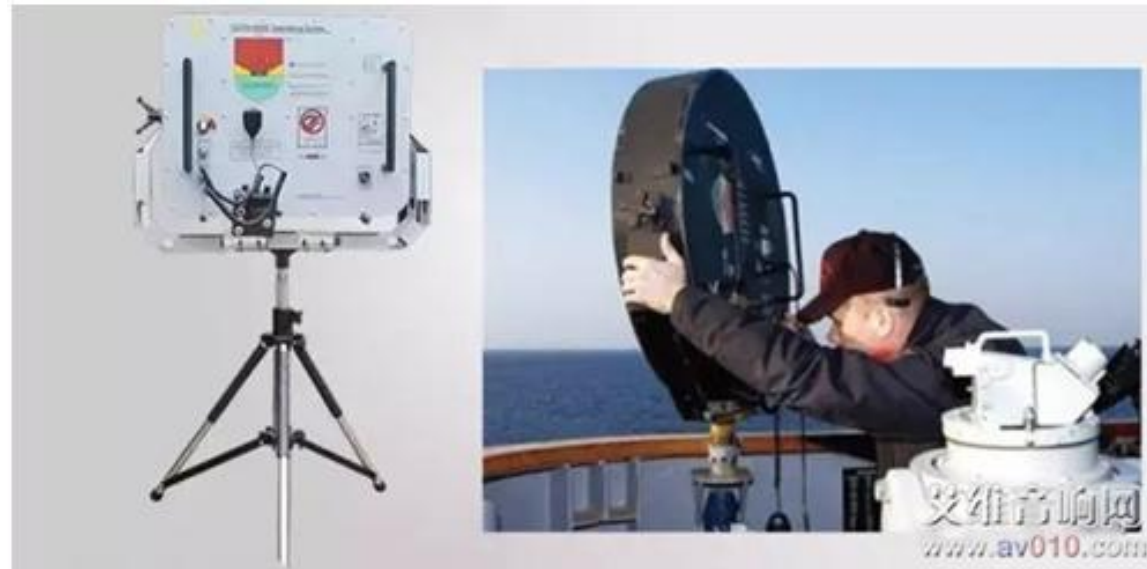


# 语音信号处理-波达方向估计

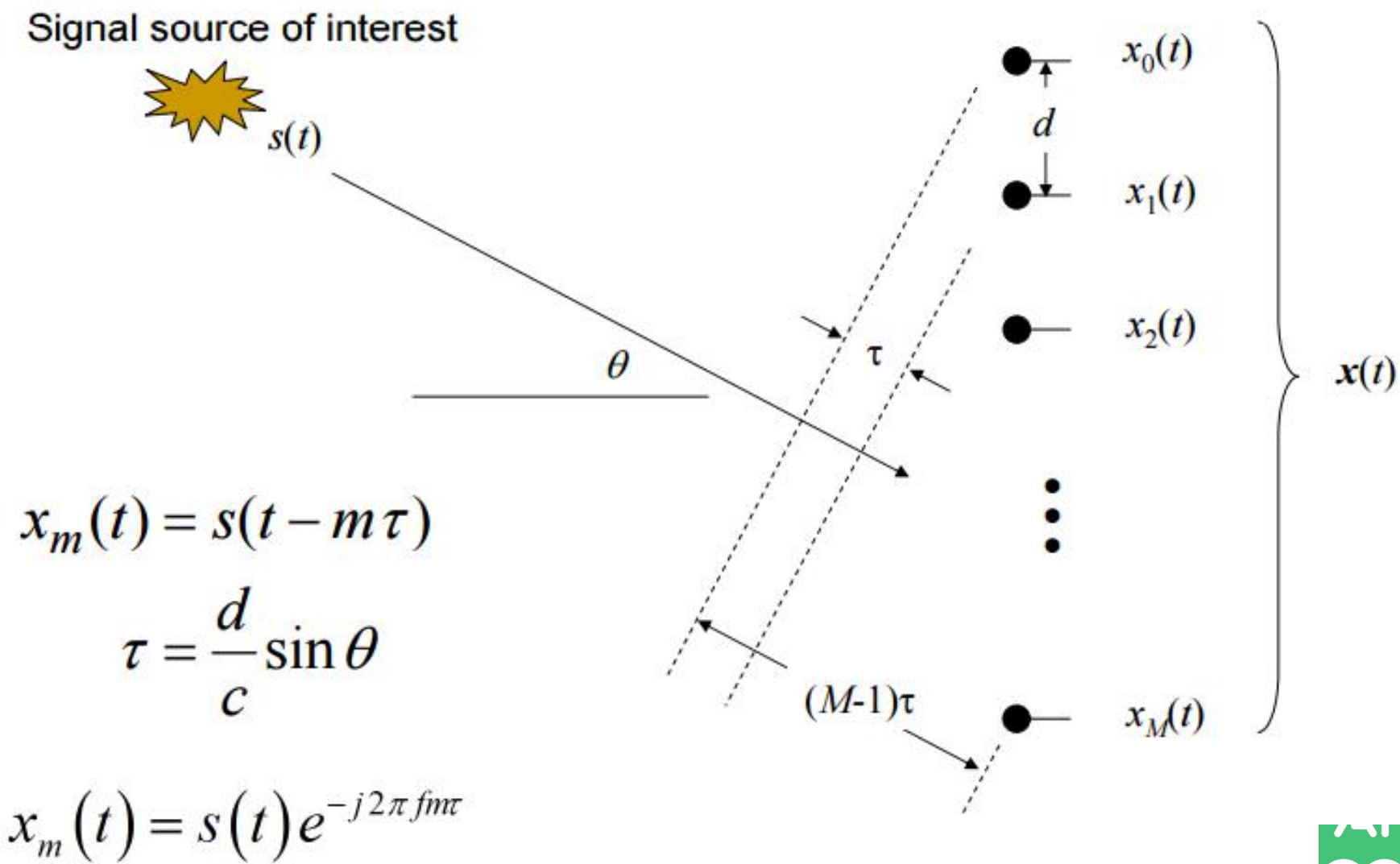
总结：

- 提高分辨率
- 降低估计误差
- 增加阵列的自由度
- 阵列自校准
- DOA估计的鲁棒性

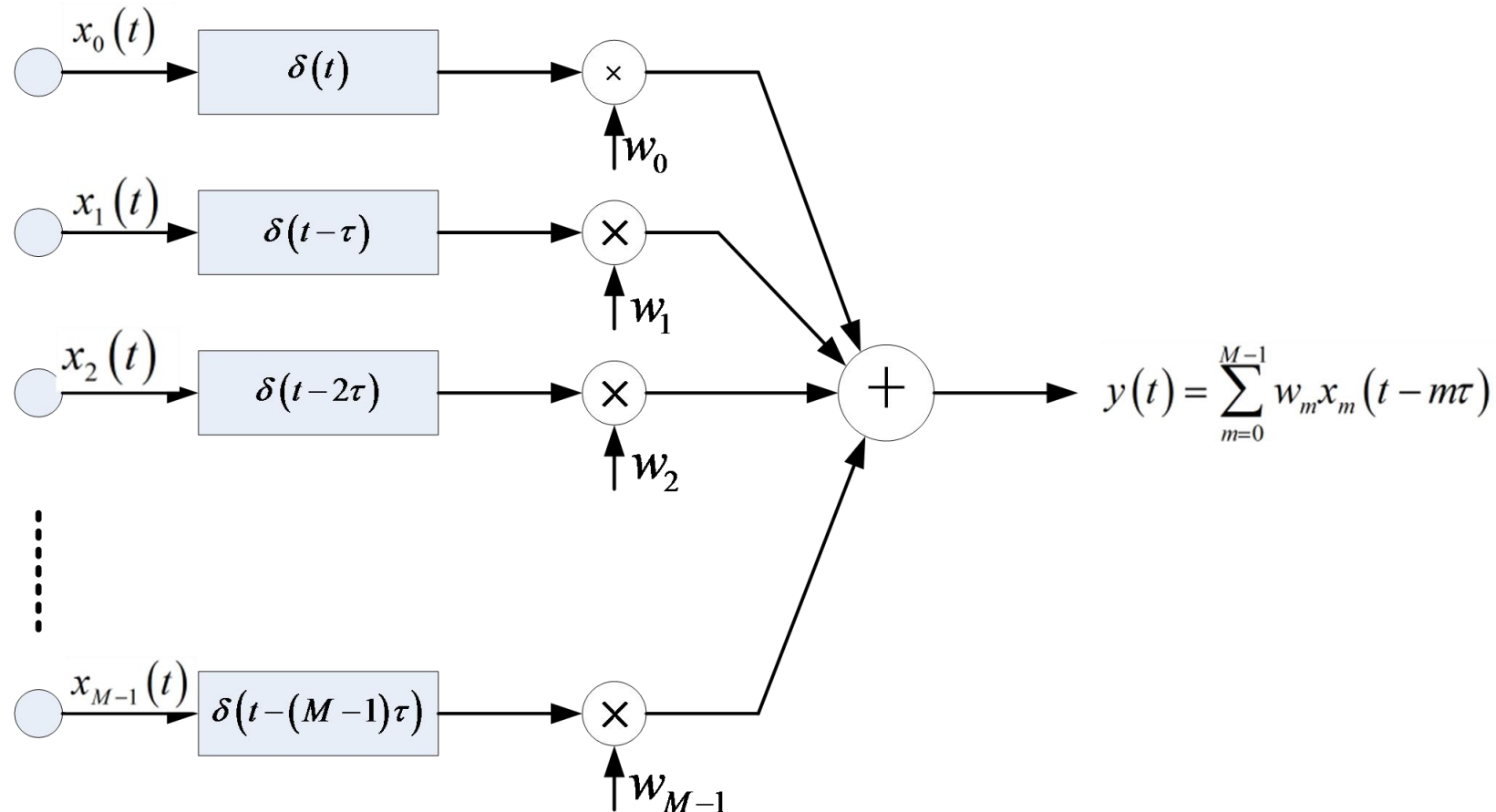
# 语音信号处理-波束形成



# 语音信号处理-波束形成

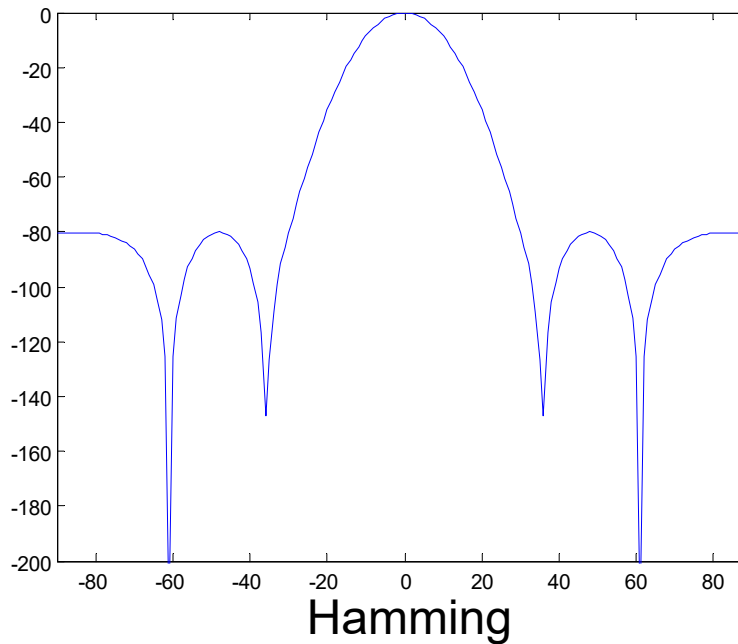
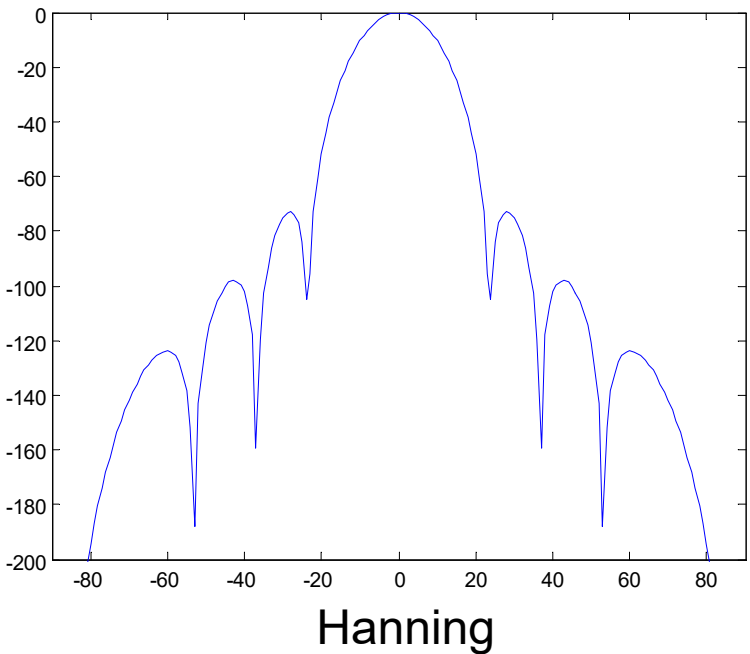
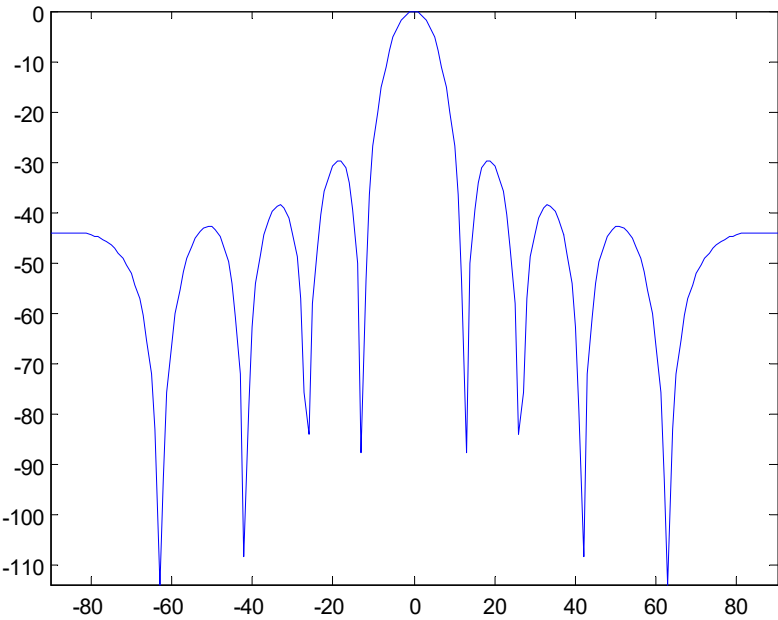


# 语音信号处理-波束形成



- 改变  $\tau$  的值可以改变波束的指向
- $w$ 是加权值，可以改变旁瓣的高度
- 波束形成与频域滤波原理一样

# 语音信号处理-波束形成



# 语音信号处理-波束形成

## MVDR算法

$$x_p(t) = \sum_{m=1}^M s_m(t) e^{-i2\pi f \tau_{mp}} + w_p(t) \quad p = 1, 2, \dots, P$$

$$\mathbf{x}(t) = \mathbf{A}\mathbf{s}(t) + \mathbf{w}(t)$$

$$\mathbf{x}(t) = [x_1(t), x_2(t), \dots, x_P(t)]^T$$

$$\mathbf{A} = [\mathbf{a}_1, \mathbf{a}_2, \dots, \mathbf{a}_M]$$

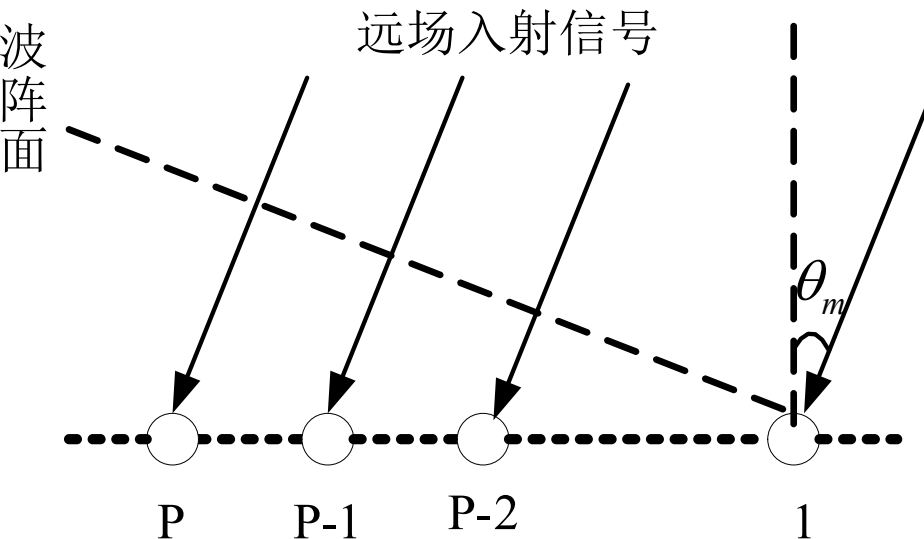
$$\mathbf{a}_m = [e^{-i2\pi f \tau_{1m}}, e^{-i2\pi f \tau_{2m}}, \dots, e^{-i2\pi f \tau_{Pm}}]^T$$

$$\mathbf{R}_x = E\{\mathbf{x}(t)\mathbf{x}^H(t)\} = \mathbf{A}E\{\mathbf{s}(t)\mathbf{s}^H(t)\}\mathbf{A}^H + E\{\mathbf{w}(t)\mathbf{w}^H(t)\}$$

$$= \mathbf{A}\mathbf{R}_s\mathbf{A}^H + \mathbf{R}_w$$

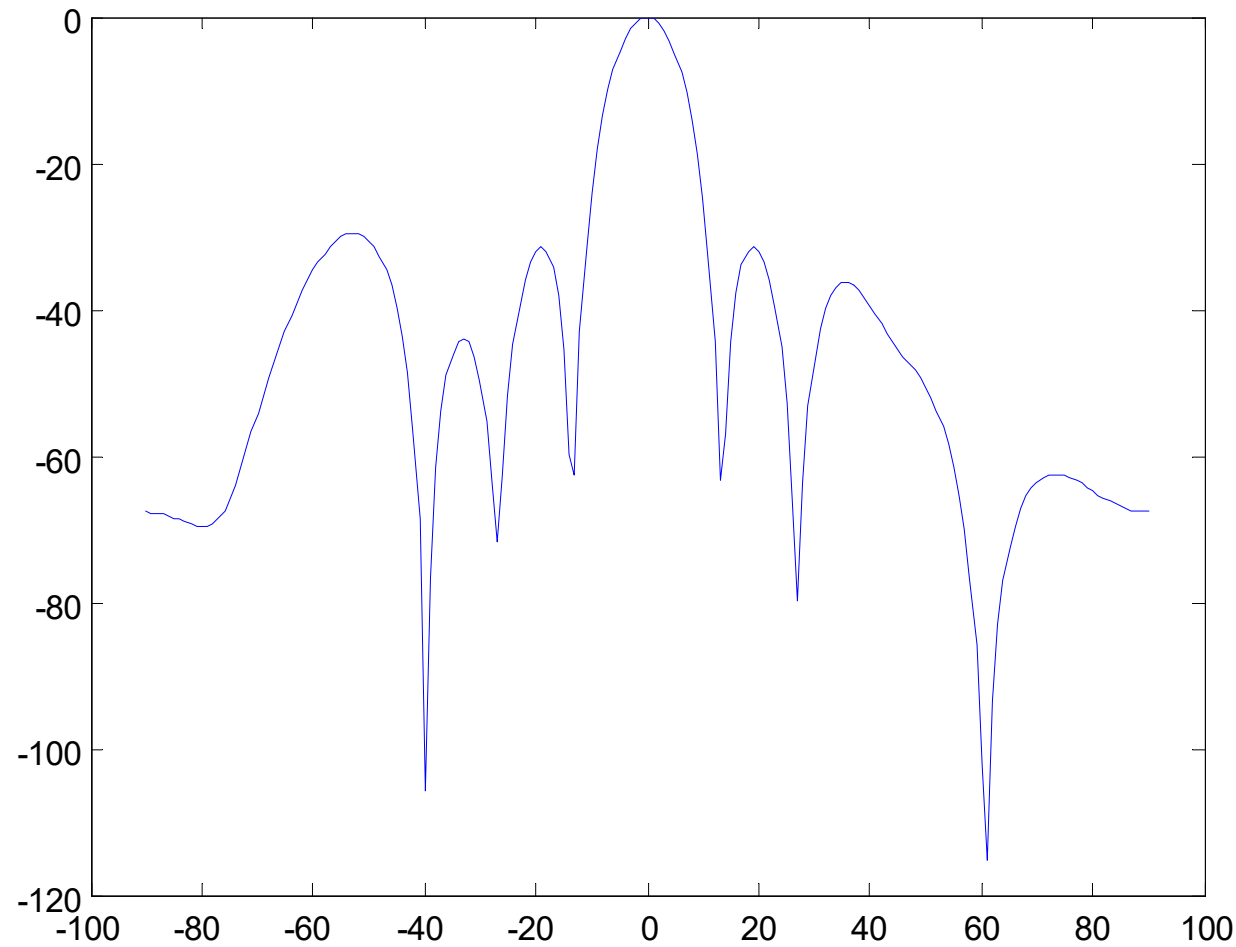
$$\mathbf{R}_x = \mathbf{A}\mathbf{R}_s\mathbf{A}^H + \sigma_w^2 \mathbf{I}$$

$$\begin{aligned} & \min \mathbf{w}^H \mathbf{R}_x \mathbf{w} \quad s.t. \quad \mathbf{w}^H \mathbf{a}(\theta_s) \\ & \mathbf{w} = \frac{\mathbf{R}_x^{-1} \mathbf{a}(\theta_s)}{\mathbf{a}(\theta_s)^H \mathbf{R}_x^{-1} \mathbf{a}(\theta_s)} \end{aligned}$$



# 语音信号处理-波束形成

MVDR算法



# 语音信号处理-波束形成

MVDR算法

对角加载法

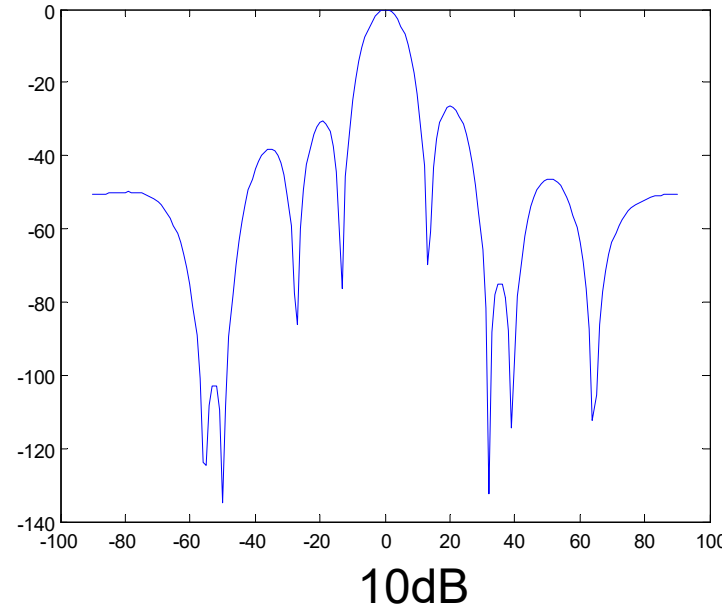
$$\mathbf{w} = \frac{\left(\mathbf{R}_x + \sigma^2 \mathbf{I}\right)^{-1} \mathbf{a}(\theta_s)}{\mathbf{a}(\theta_s)^H \left(\mathbf{R}_x + \sigma^2 \mathbf{I}\right)^{-1} \mathbf{a}(\theta_s)}$$

- 加载的能量越大，滤波器越稳定，但噪声抑制能力变差
- 极限情况，加载的能量无穷大，则退化到原始波束形成

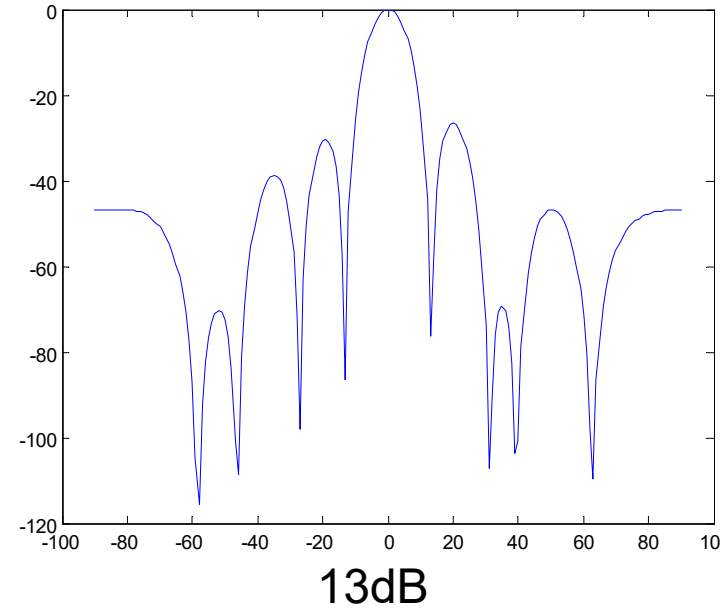
# 语音信号处理-波束形成

MVDR算法

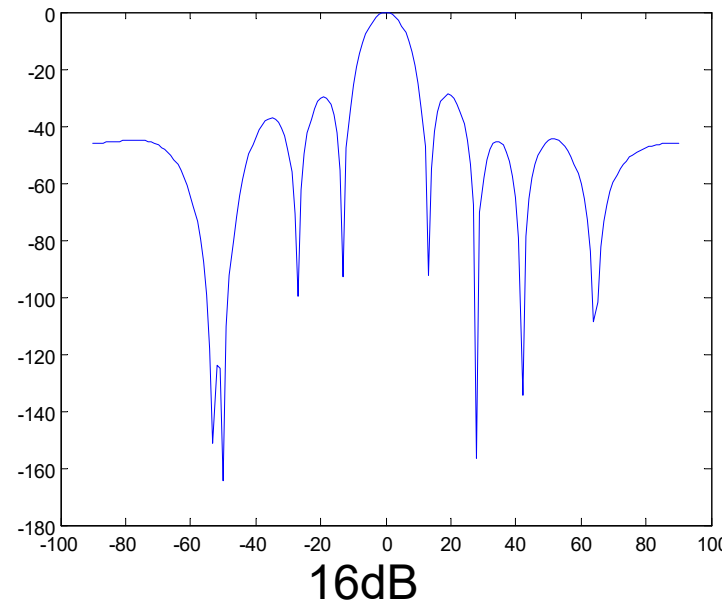
对角加载法



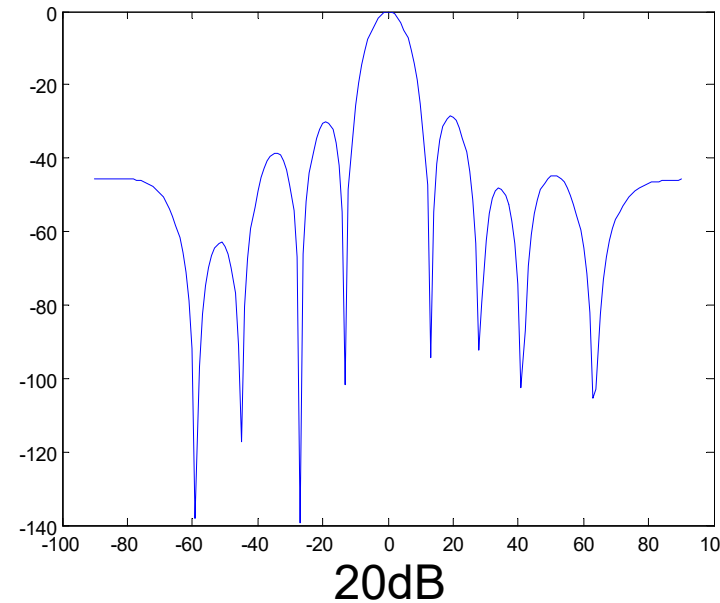
10dB



13dB



16dB



20dB

# 语音信号处理-波束形成

超指向波束形成

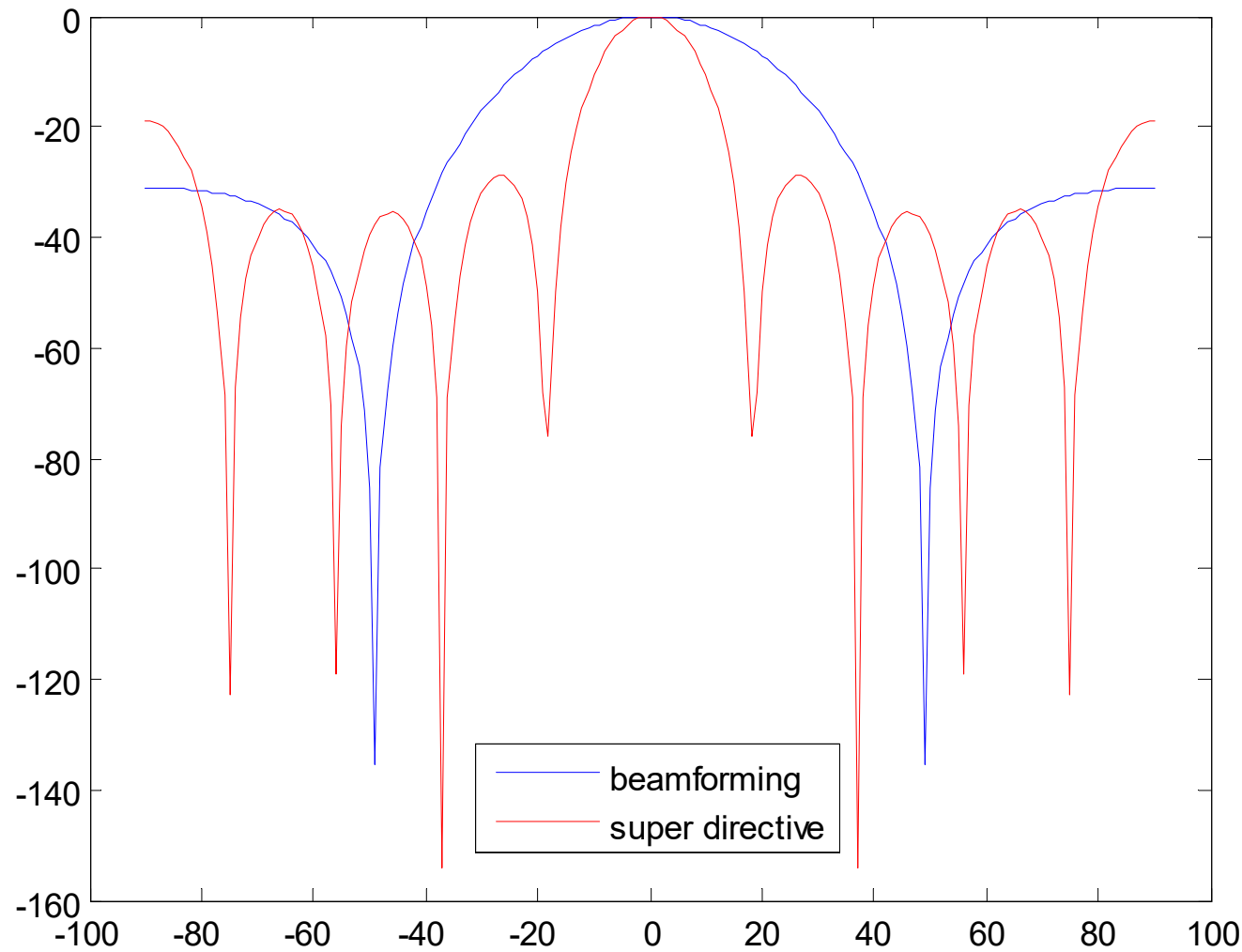
$$\mathbf{w} = \frac{\Gamma_{\mathbf{v}}^{-1} \mathbf{a}(\theta_s)}{\mathbf{a}(\theta_s)^H \Gamma_{\mathbf{v}}^{-1} \mathbf{a}(\theta_s)}$$

$$\Gamma_{\mathbf{v}} = \begin{bmatrix} 1 & \Gamma_{v_1 v_2} & \Gamma_{v_1 v_3} & \dots & \Gamma_{v_1 v_P} \\ \Gamma_{v_2 v_1} & 1 & \Gamma_{v_2 v_3} & \dots & \Gamma_{v_2 v_P} \\ \vdots & \vdots & \ddots & \vdots & \vdots \\ \Gamma_{v_P v_1} & \Gamma_{v_P v_2} & \Gamma_{v_P v_3} & \dots & 1 \end{bmatrix}$$

$$\Gamma_{v_n v_m} = \frac{\sin(2\pi f l_{mn} / c)}{2\pi f l_{mn} / c}$$

# 语音信号处理-波束形成

超指向波束形成

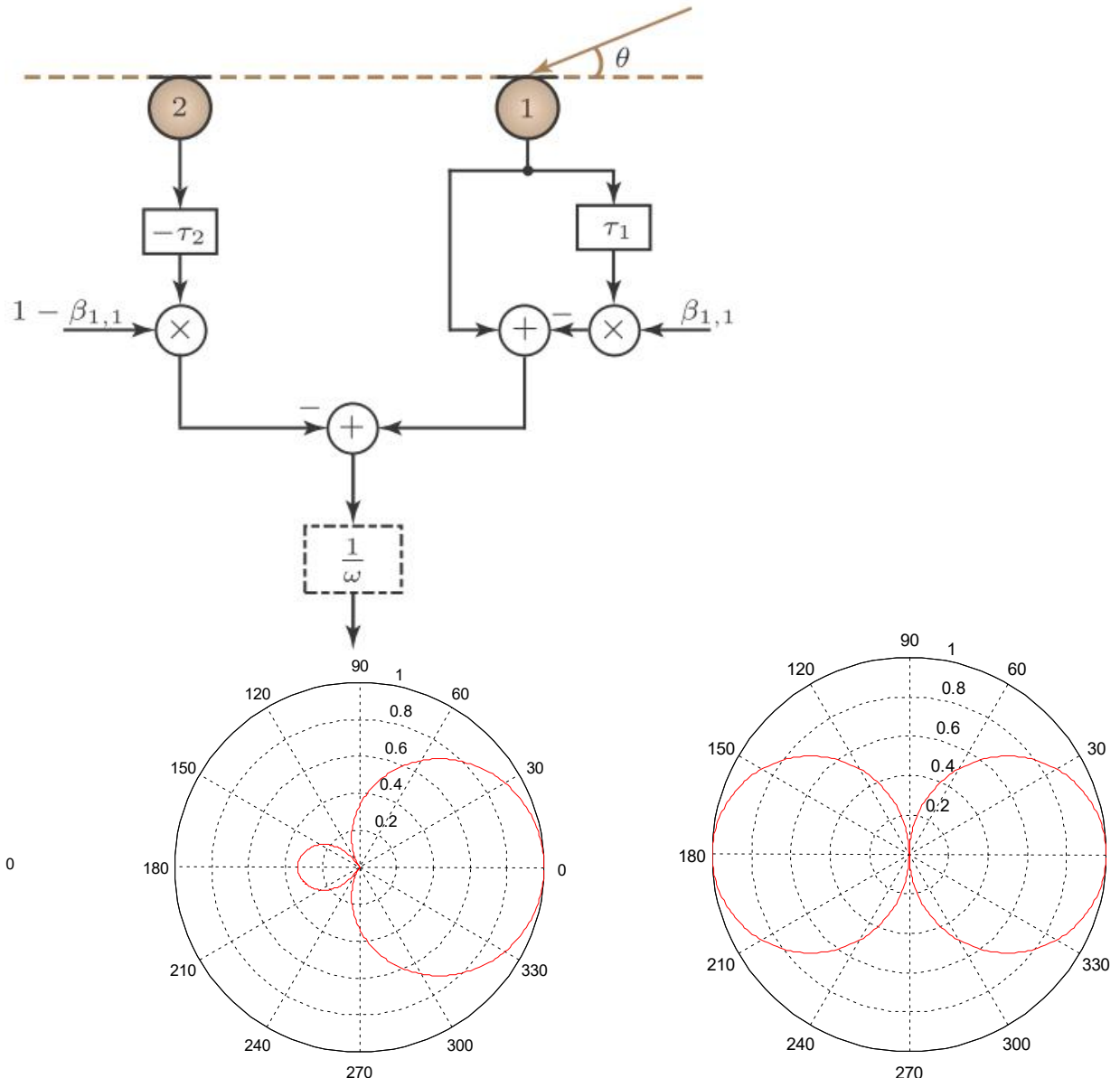


Beamforming\_gain = 0.12

SuperDirective\_gain = 4.3557e+07

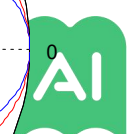
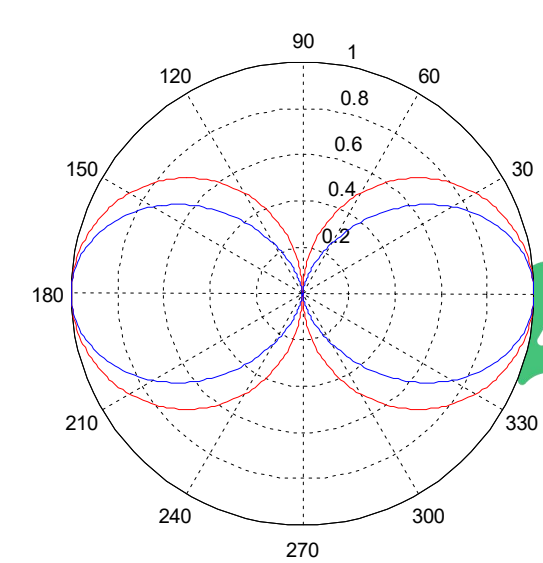
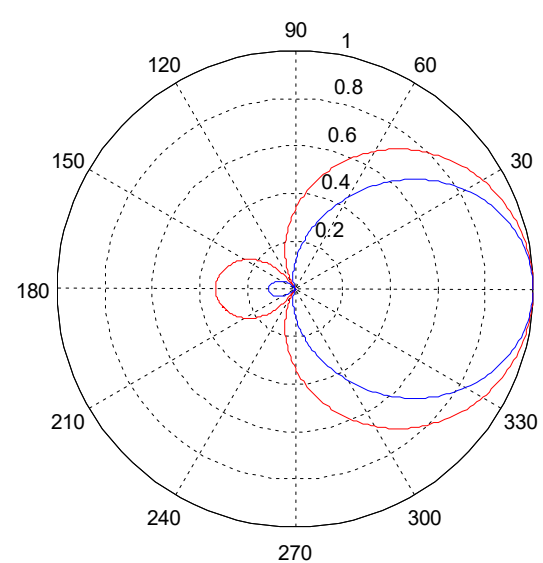
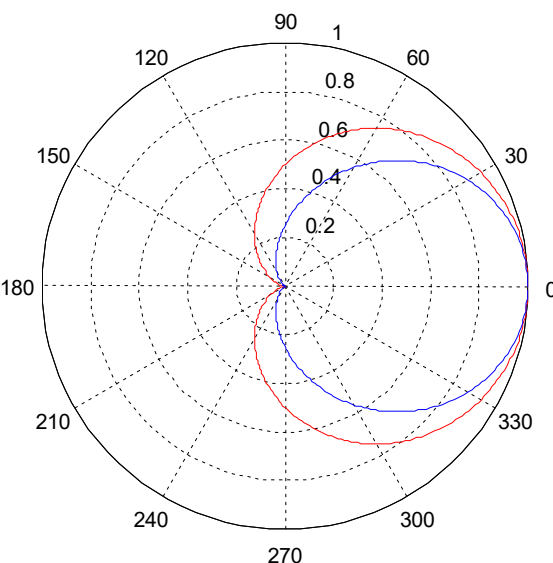
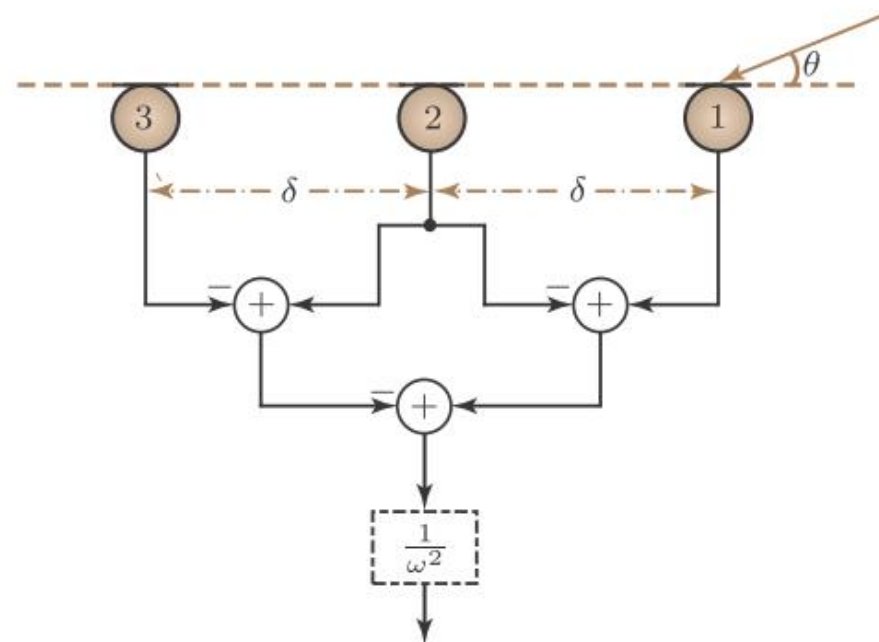
# 语音信号处理-波束形成

## 差分阵列 一阶差分



# 语音信号处理-波束形成

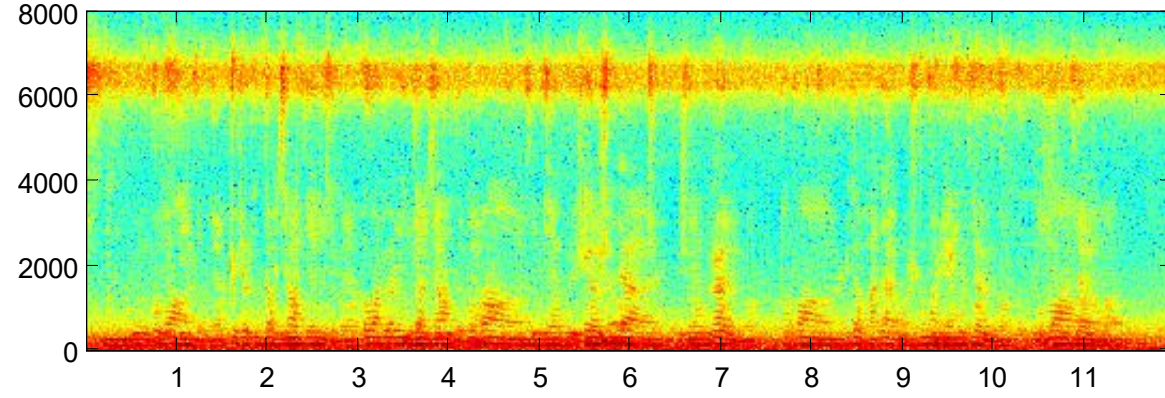
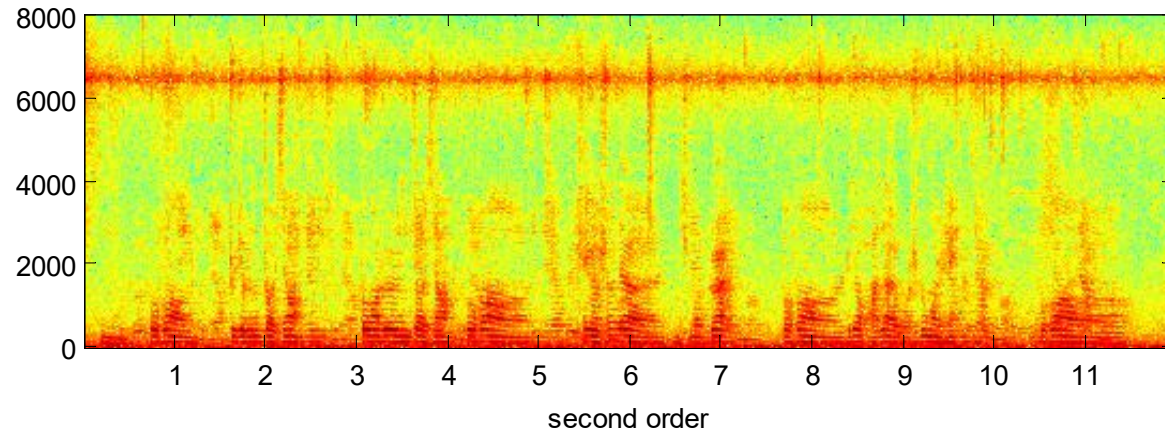
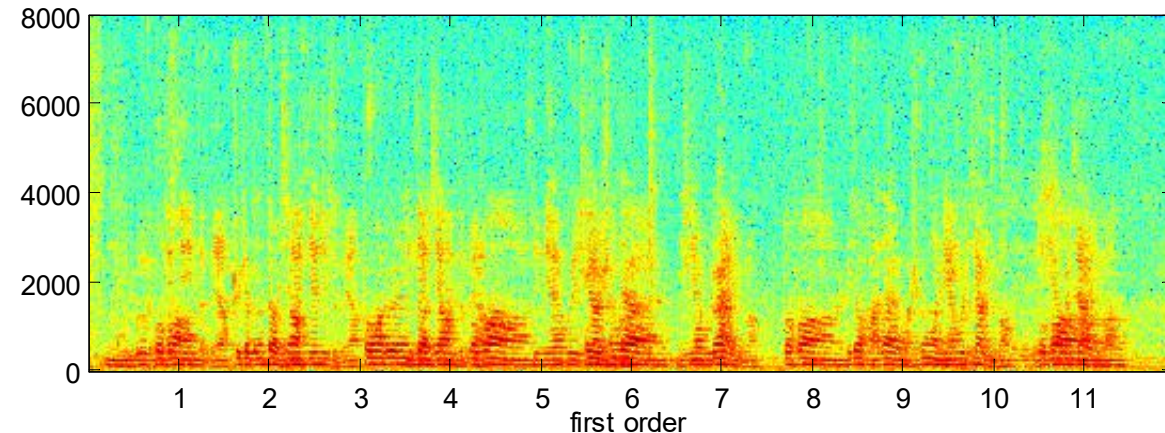
差分阵列  
二阶差分



慕课学院  
www.mooc.ai

# 语音信号处理-波束形成

差分阵列



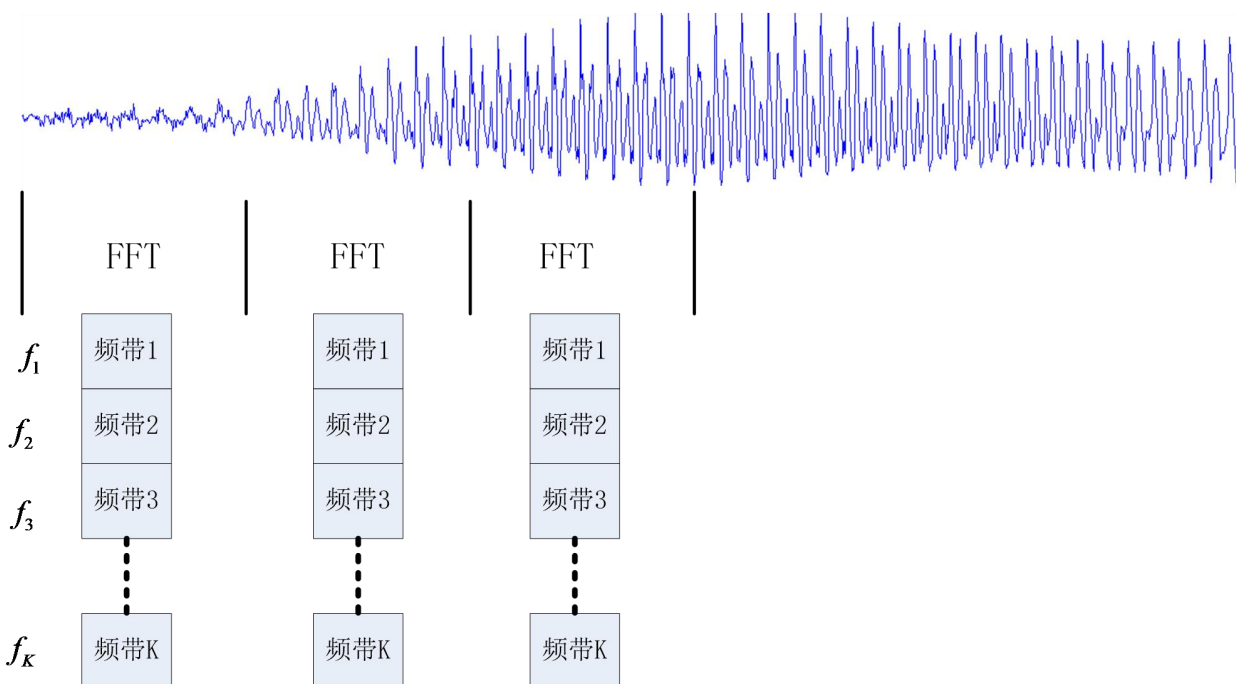
# 语音信号处理-波束形成

## 宽带信号处理

$$x_p(t) = \sum_{m=1}^M s_m(t - \tau_{mp}) + w_p(t) \quad p = 1, 2, \dots, P$$

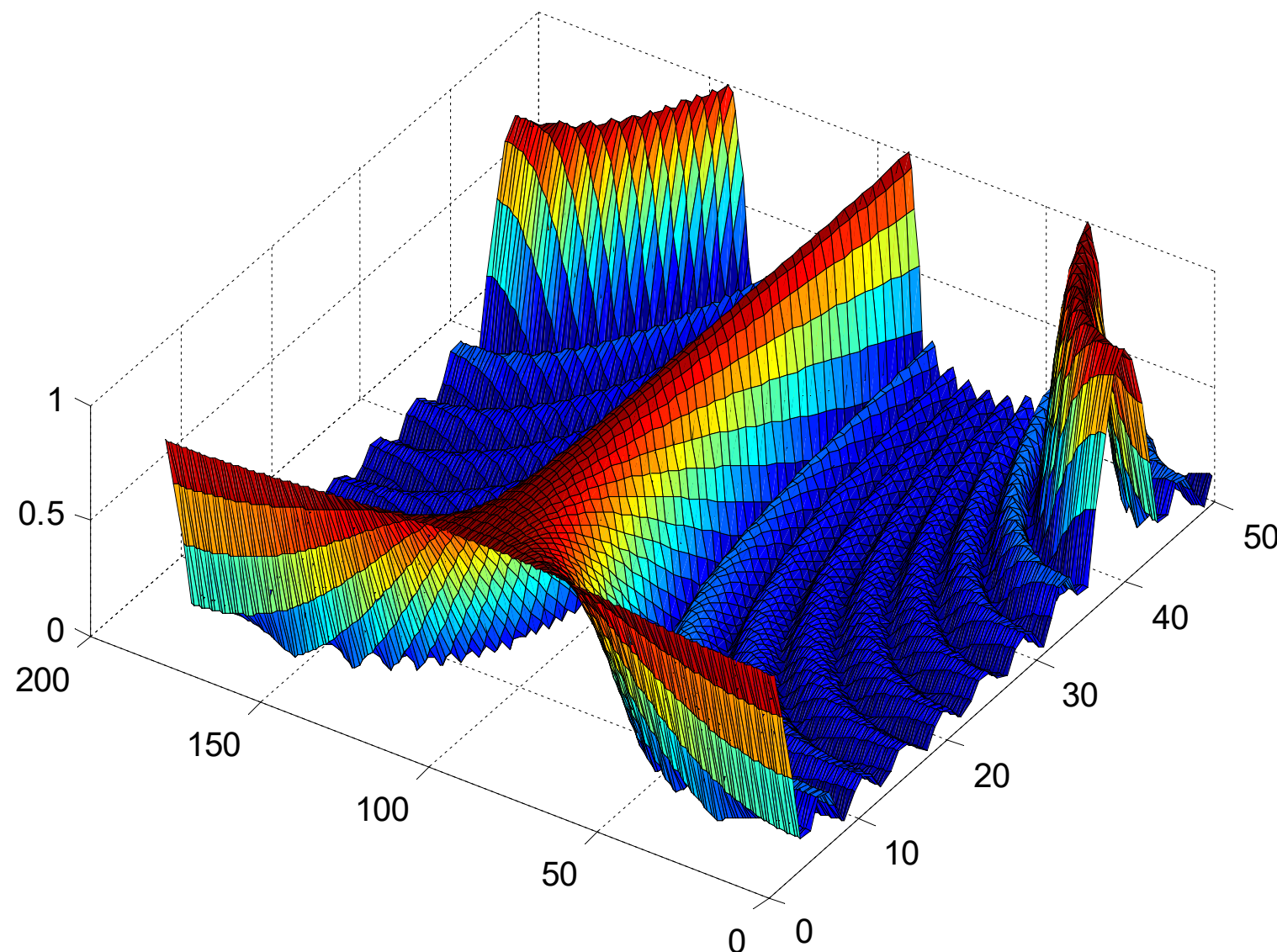
$$X_p(f_j) = \sum_{m=1}^M S_m(f_j) e^{-i2\pi f_j \tau_{mp}} + W_p(f_j) \quad p = 1, 2, \dots, P$$

$$\mathbf{X}(f_j) = \mathbf{A}(f_j) \mathbf{S}(f_j) + \mathbf{W}(f_j)$$



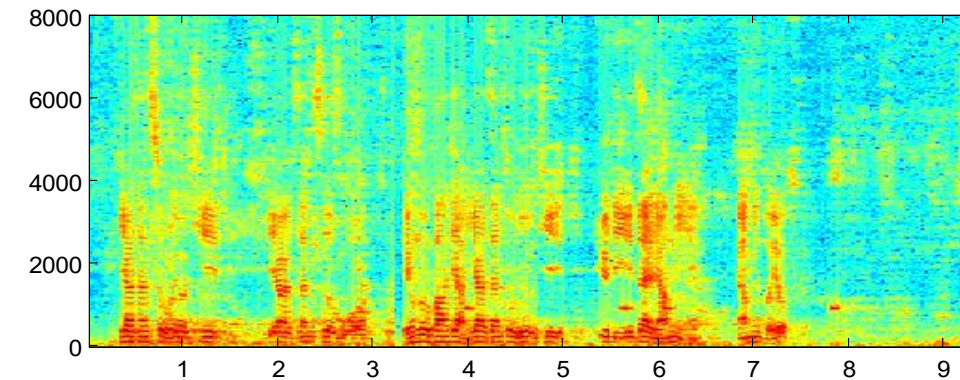
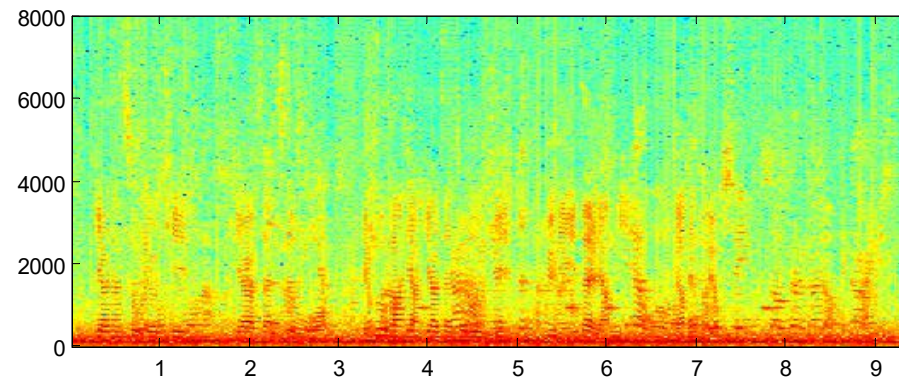
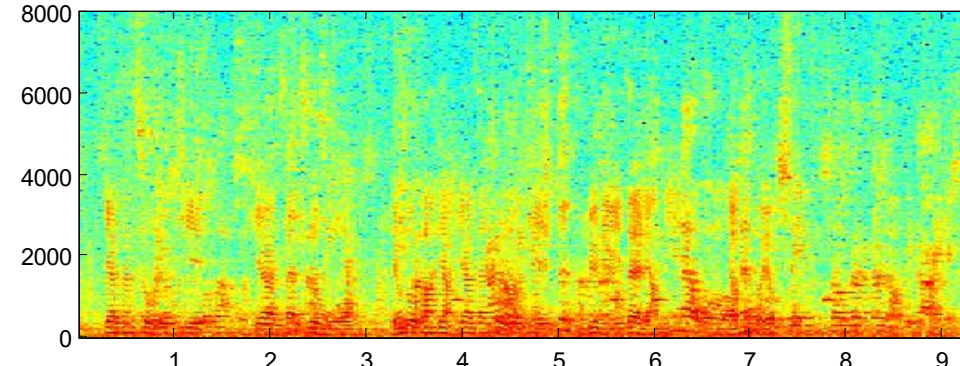
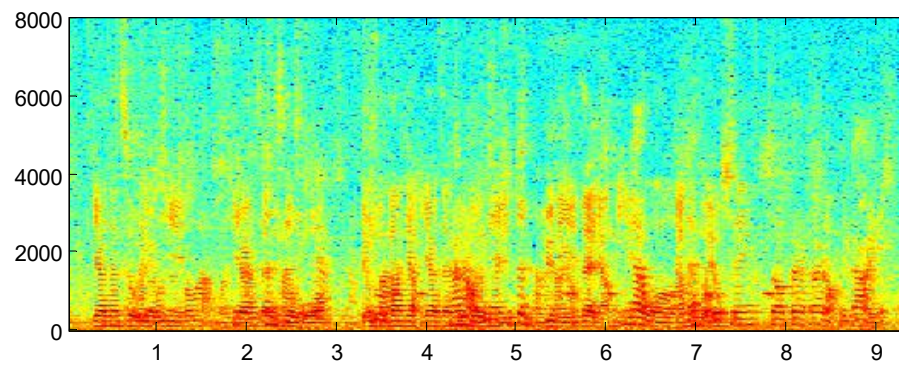
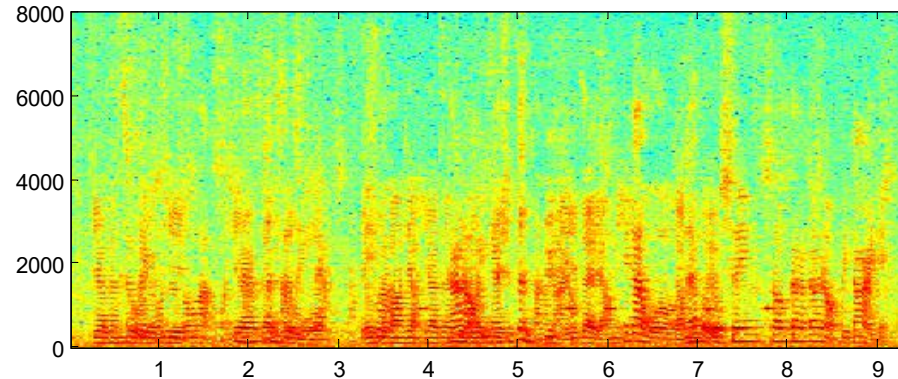
# 语音信号处理-波束形成

宽带信号处理



# 语音信号处理-波束形成

宽带信号处理



# 语音信号处理-波束形成

多通道维纳滤波器

维纳滤波器准则

$$\mathbf{x} = \mathbf{a}(\theta) s + \mathbf{v}$$

$$\phi_{ee}(i) = E \left[ (s - \mathbf{w}^H \mathbf{x}) (s - \mathbf{w}^H \mathbf{x})^* \right]$$

$$\mathbf{w} = \mathbf{R}_x^{-1} \mathbf{r}_{xs}$$

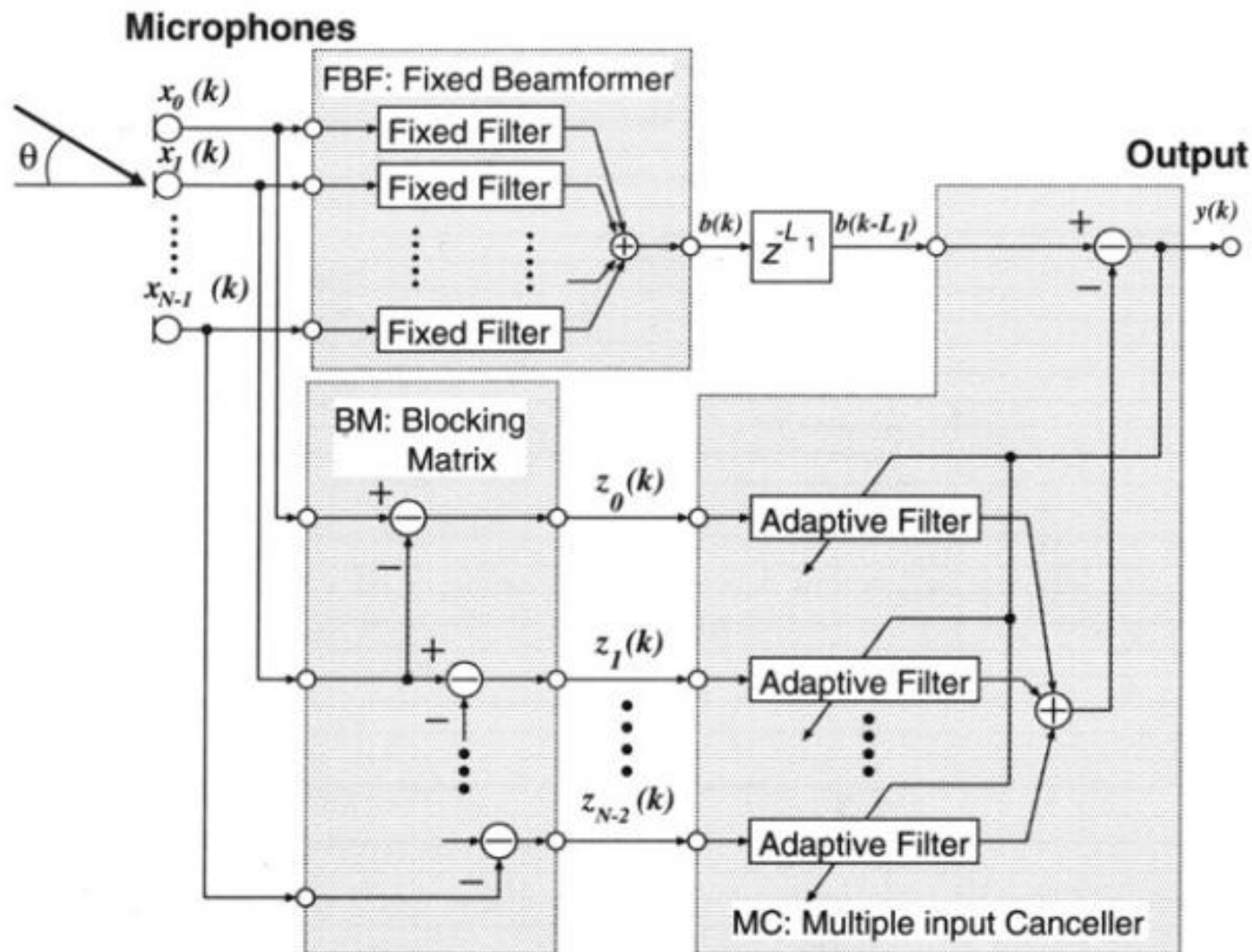
$$\mathbf{w} = \frac{\mathbf{R}_x^{-1} \mathbf{a}(\theta_s)}{\mathbf{a}(\theta_s)^H \mathbf{R}_x^{-1} \mathbf{a}(\theta_s)} \begin{bmatrix} \phi_{s_0} \\ \phi_{s_0} + \phi_{v_0} \end{bmatrix}$$

多通道维纳滤波器等价于MVDR算法级联一个单通道语音增强

$$(\mathbf{R}_x + \alpha \mathbf{x} \mathbf{x}^T)^{-1} = \mathbf{R}_x^{-1} - \frac{\alpha \mathbf{R}_x^{-1} \mathbf{x} \mathbf{x}^T \mathbf{R}_x^{-1}}{1 + \alpha \mathbf{x}^T \mathbf{R}_x^{-1} \mathbf{x}}$$

# 语音信号处理-波束形成

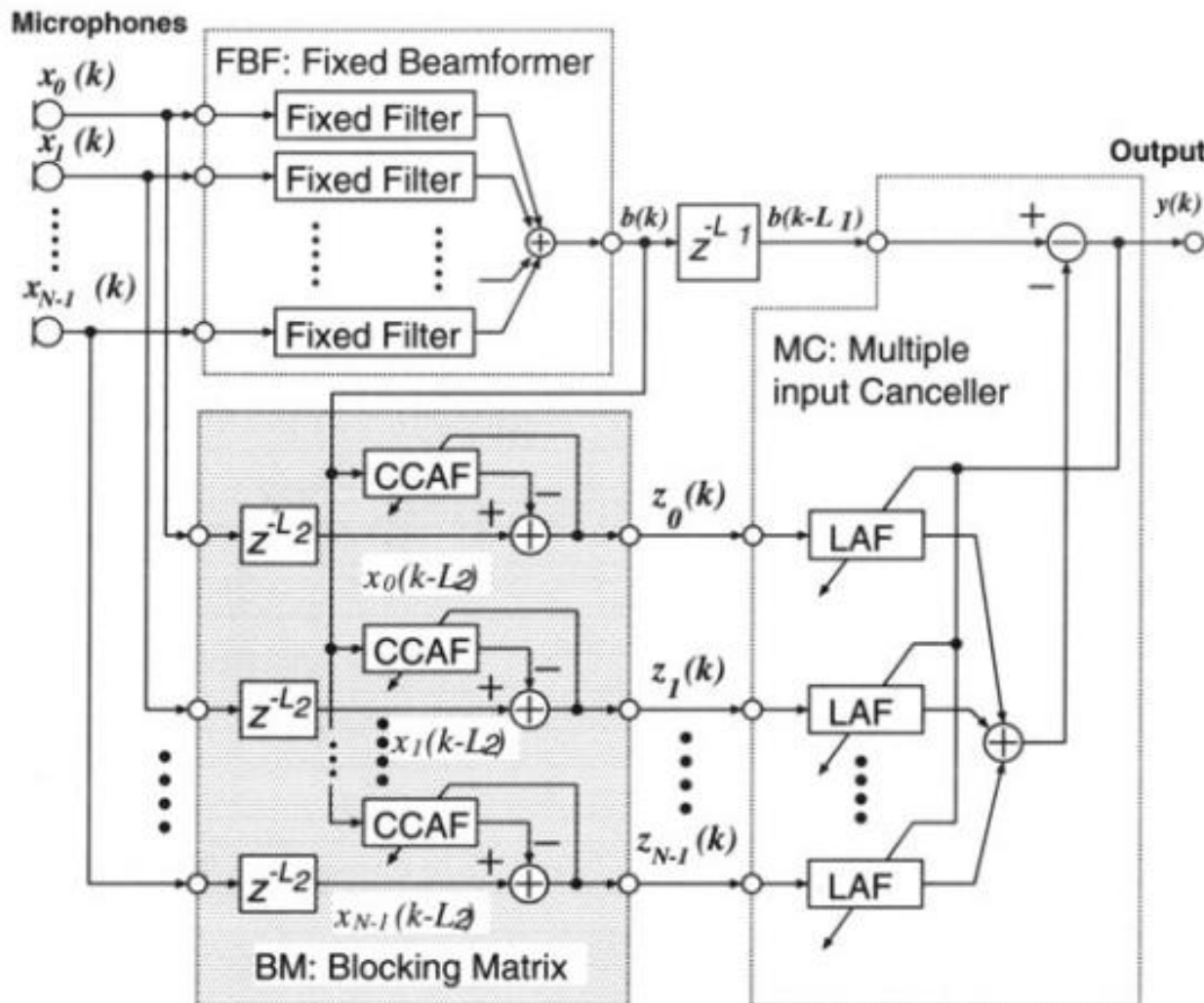
GSC算法



# 语音信号处理-波束形成

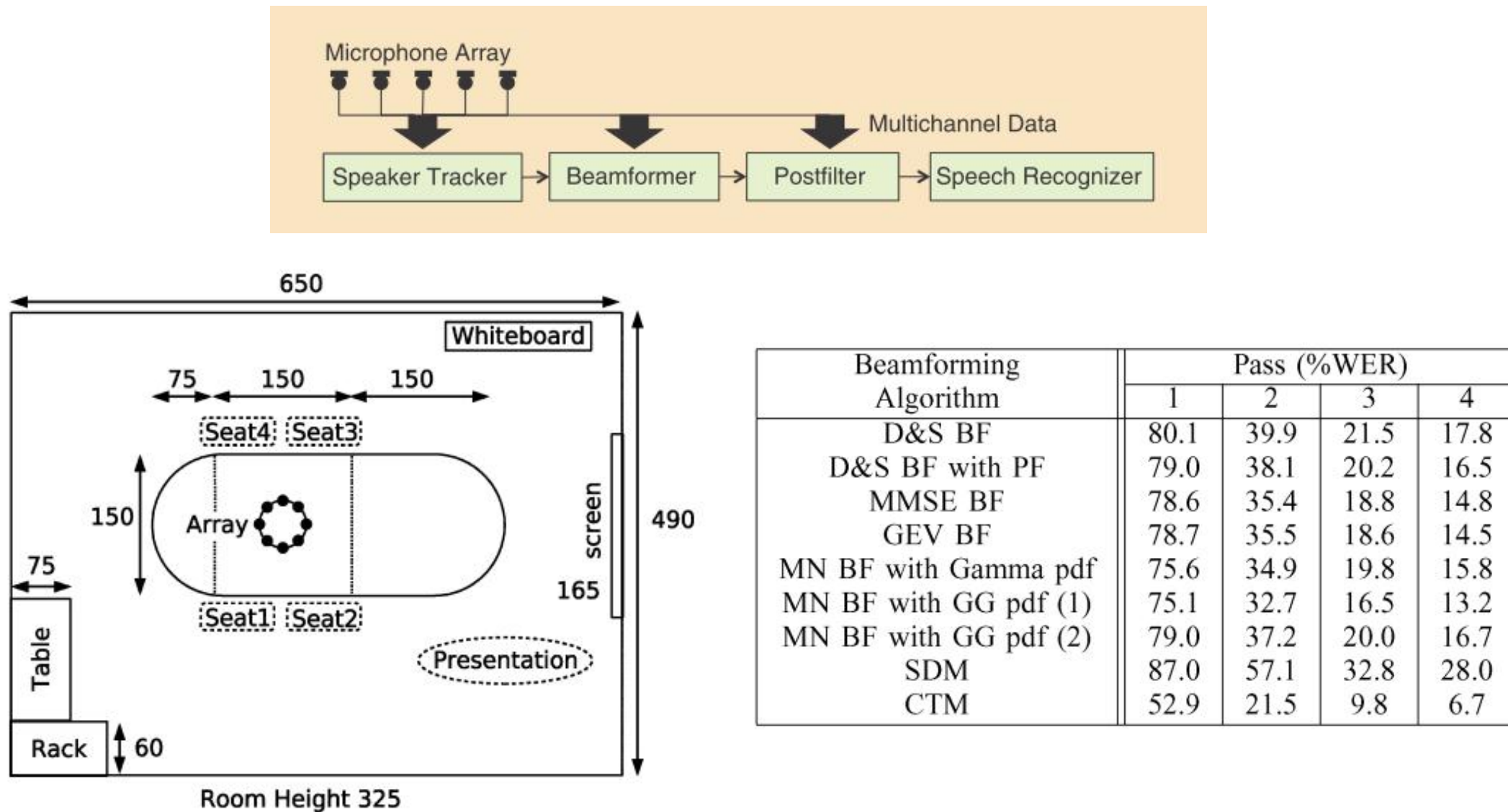
GSC算法

Robust Adaptive Beamforming



# 语音信号处理-波束形成

波束形成对识别率的影响



# 语音信号处理-波束形成

## 波束形成算法总结

- 多通道维纳滤波器等效于MVDR算法级联单通道语音增强
- MVDR算法与RLS算法，GSC算法是等效的
- 计算量

MVDR :

$$O(P^3)$$

RLS :

$$O(P^2)$$

GSC :

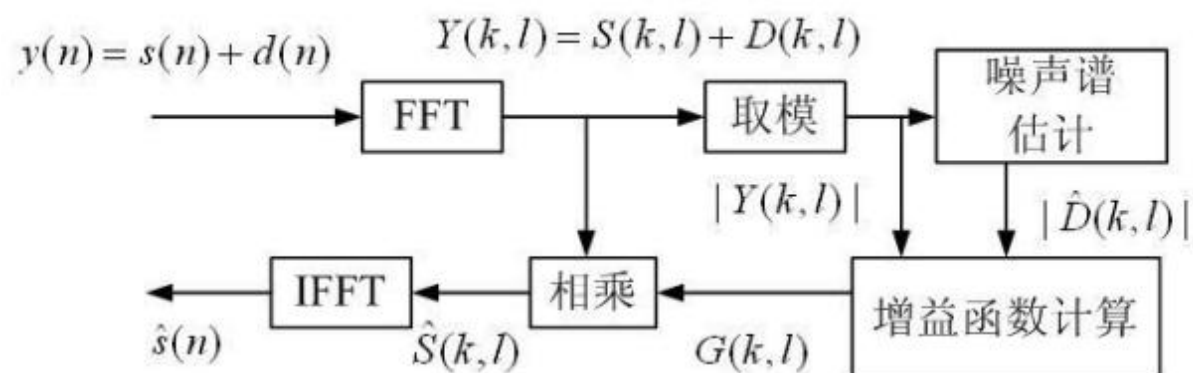
$$O(P)$$

# 信号与系统处理-单通道信号增强 强

谱减法

$$y(n) = s(n) + d(n)$$

$$Y(k, l) = S(k, l) + D(k, l)$$



维纳滤波器

$$E\left[\left(\left|\hat{S}(k, l)\right| - \left|\hat{S}_0(k, l)\right|\right)^2\right]$$

$$G(k, l) = \frac{\lambda_s}{\lambda_s + \lambda_D}$$

# 信号与系统-单通道信号增强 强

谱减法

$$Y(k,l) = S(k,l) + D(k,l)$$

维纳滤波器

$$E\left[\left(\left|\hat{S}(k,l)\right| - \left|\hat{S}(k,l)\right|\right)^2\right]$$

$$G(k,l) = \frac{\lambda_s}{\lambda_s + \lambda_D} = \frac{\xi(k,l)}{\xi(k,l) + 1}$$

先验信噪比       $\xi(k,l) = E\left[\frac{S(k,l)^2}{D(k,l)^2}\right]$

后验信噪比       $\gamma(k,l) = E\left[\frac{Y(k,l)^2}{D(k,l)^2}\right]$

# 信号与系统-单通道信号增强 强

谱减法

$$Y(k,l) = S(k,l) + D(k,l)$$

MMSE-SATA

$$G(k,l) = \Gamma(1.5) \frac{\sqrt{v(k,l)}}{\hat{\gamma}(k,l)} \exp(-v(k,l)) \left[ (1+v(k,l)) I_0\left(\frac{v(k,l)}{2}\right) + v(k,l) I_1(v(k,l)) \right]$$

MMSE-LSA

$$G(k,l) = \frac{\hat{\xi}_{DD}(k,l)}{1 + \hat{\xi}_{DD}(k,l)} \exp\left[\frac{1}{2} \int_{v(k,l)}^{\infty} \frac{\exp(-t)}{t} dt\right]$$

$$\hat{\xi}_{DD}(k,l) = \alpha_{DD} G^2(k,l-1) \hat{\gamma}(k,l-1) + (1 - \alpha_{DD}) \max\{\hat{\gamma}(k,l) - 1, 0\}$$

$$v(k,l) = \frac{\hat{\xi}_{DD}(k,l) \hat{\gamma}(k,l)}{1 + \hat{\xi}_{DD}(k,l)}$$

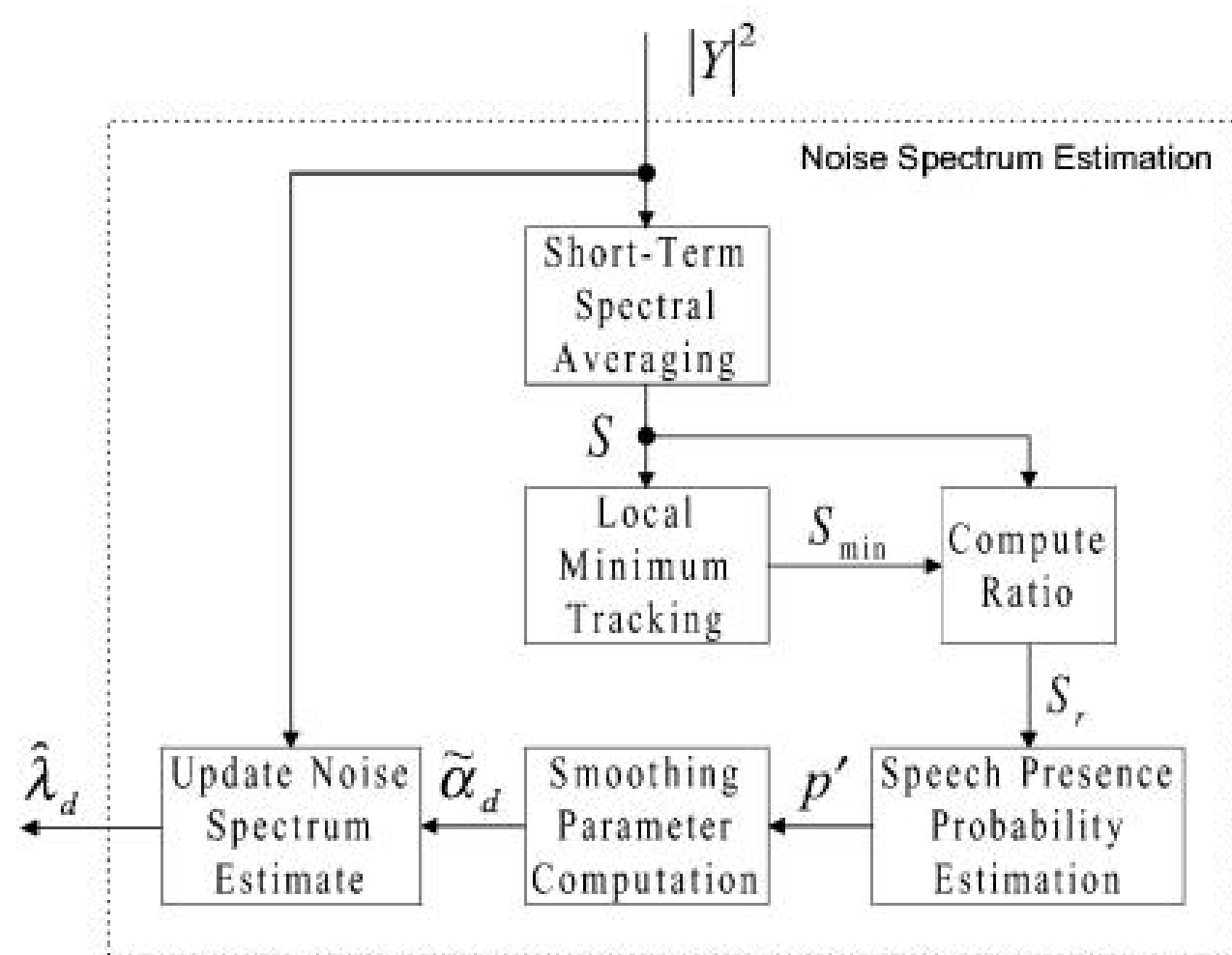


nooc.ai

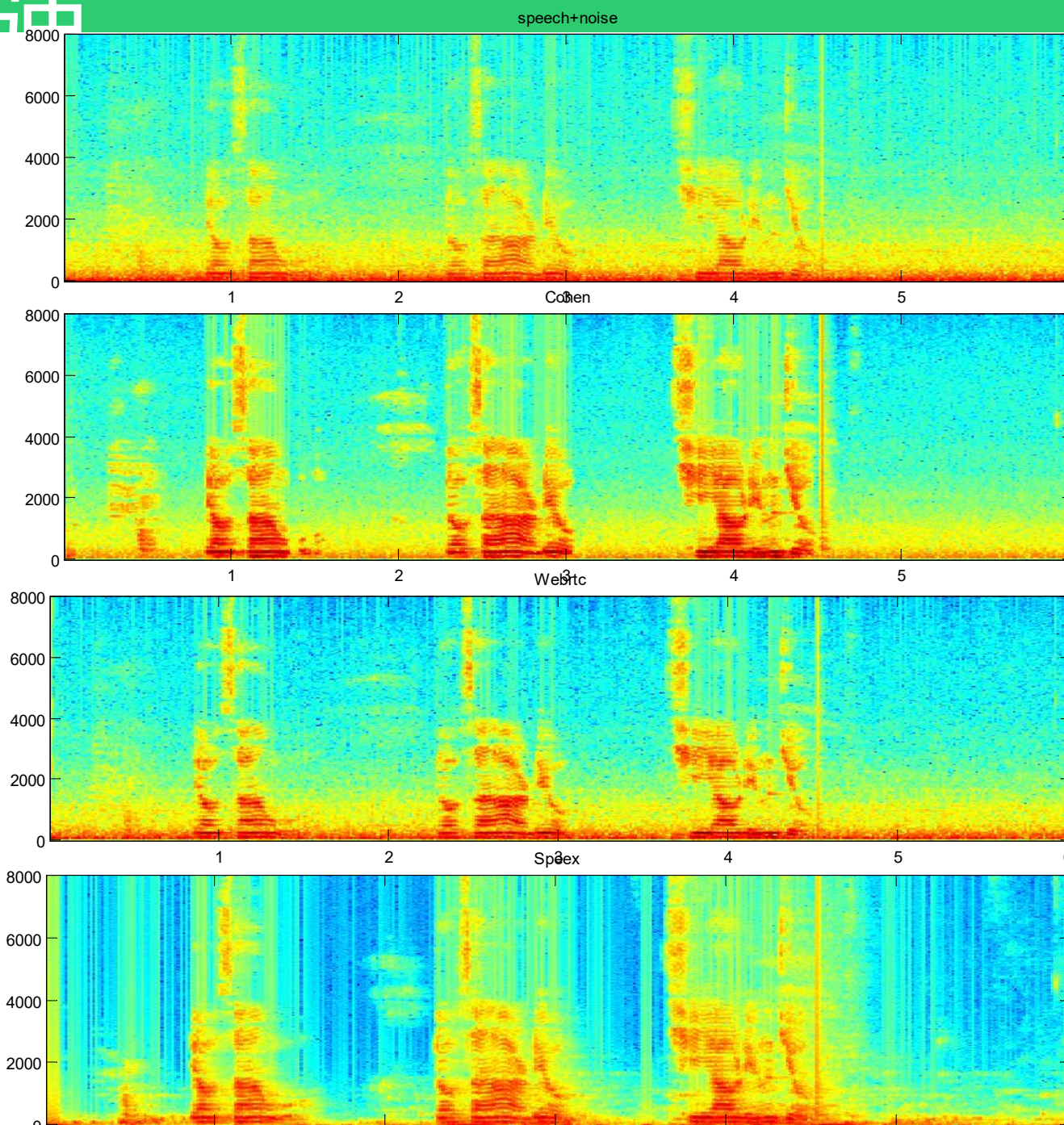
# 语音信号处理-单通道语音增强 强

谱减法

噪声谱估计，cohen，MCRA

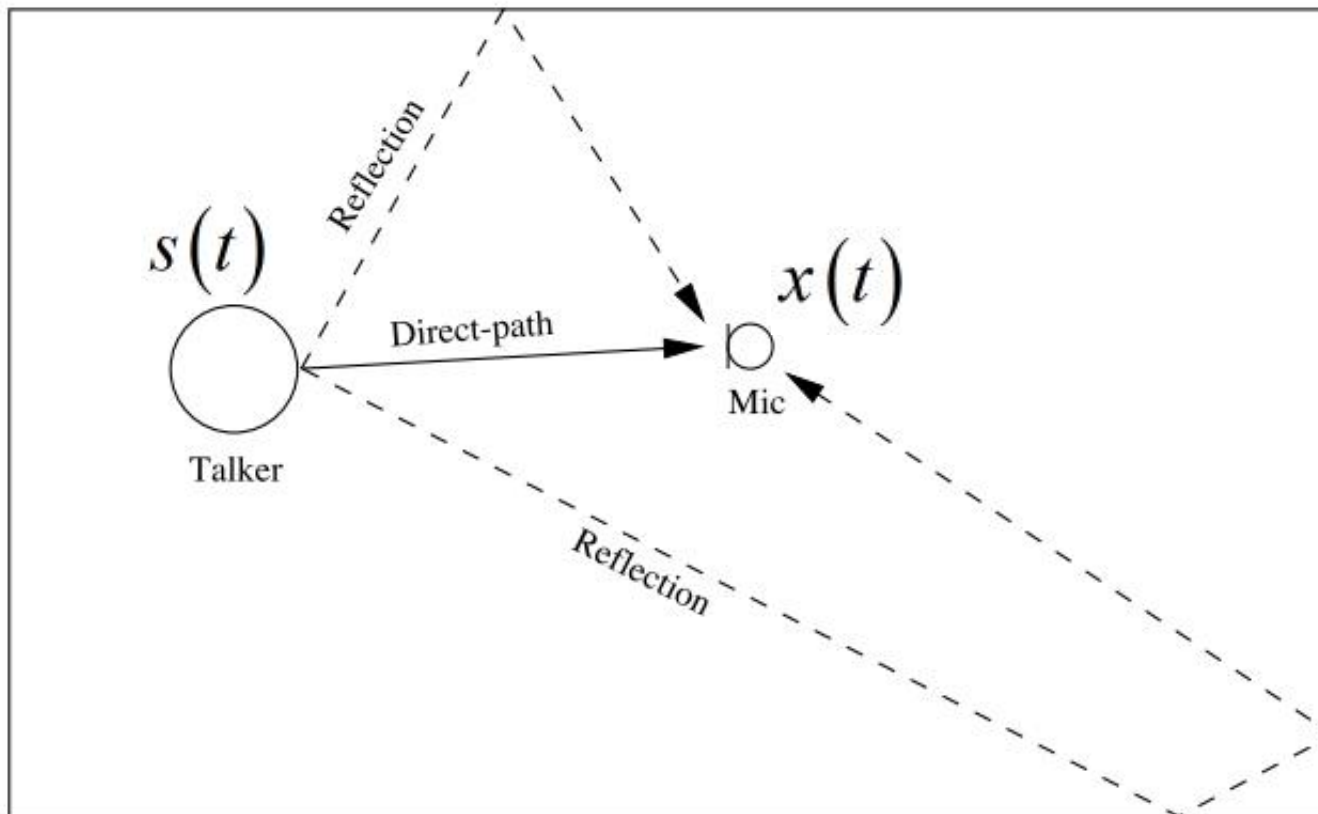


# 语音信号处理-单通道语音增强 强



# 语音信号处理-去混响

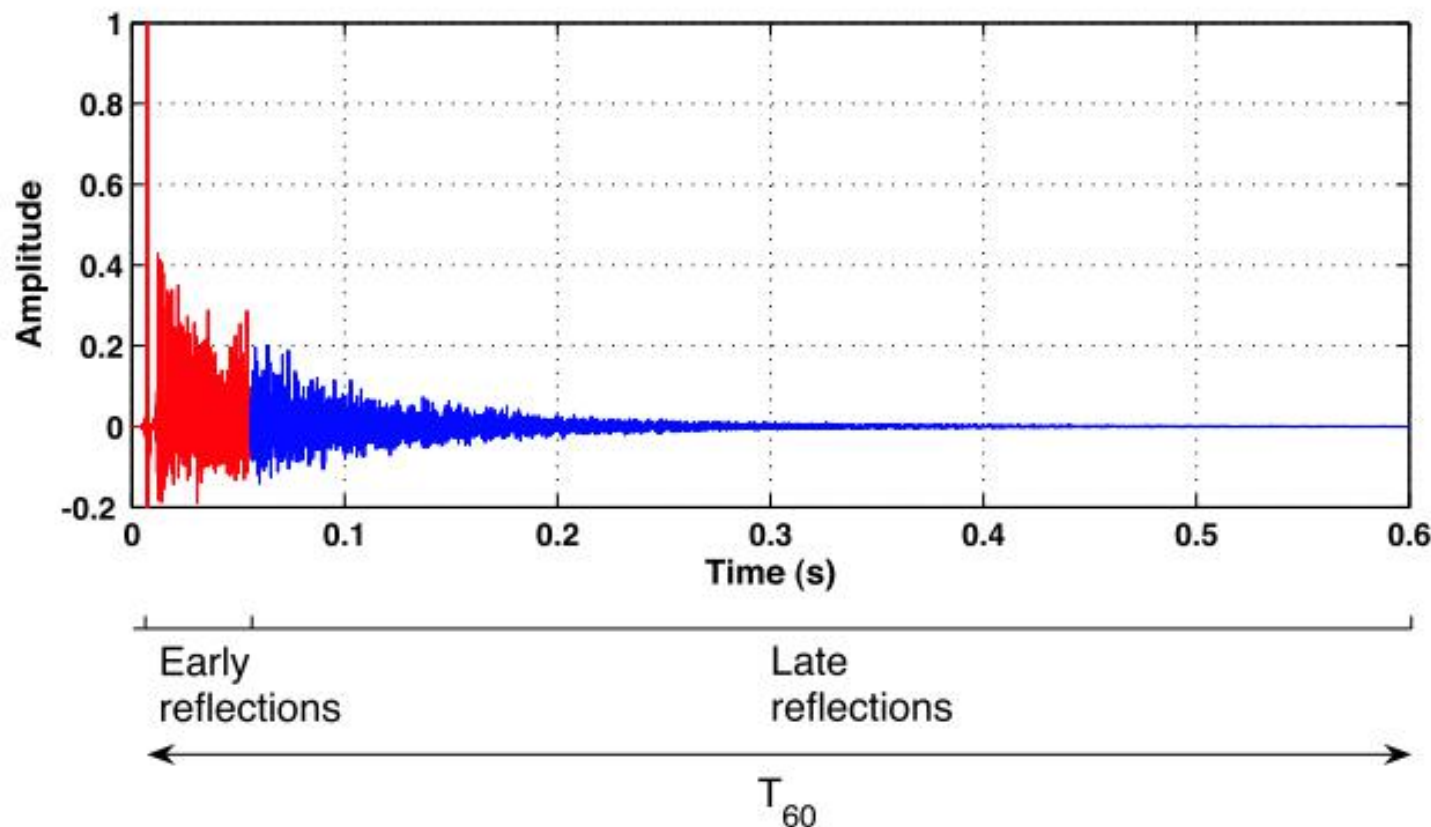
去混响算法



$$x(t) = s(t) * h(t) + v(t)$$

# 语音信号处理-去混响

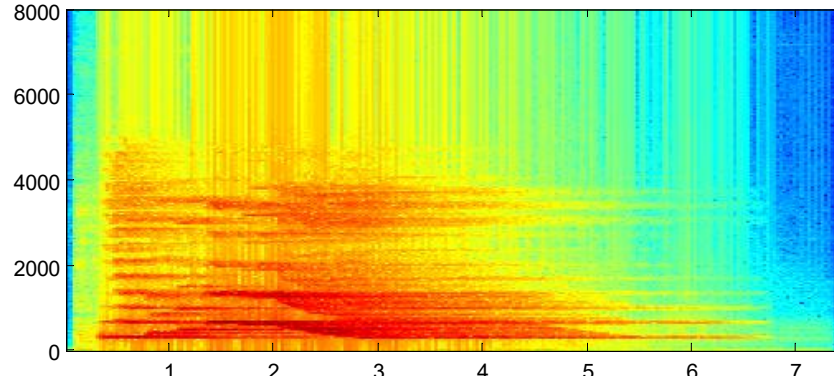
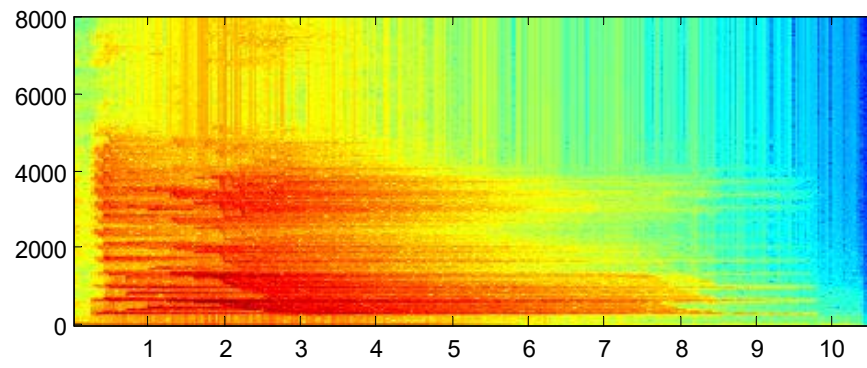
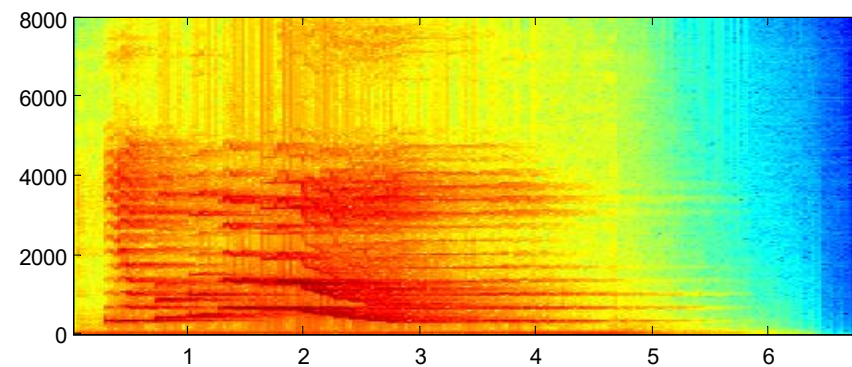
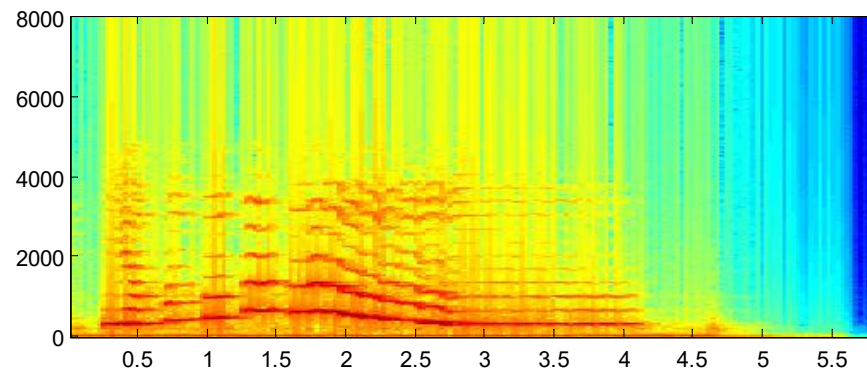
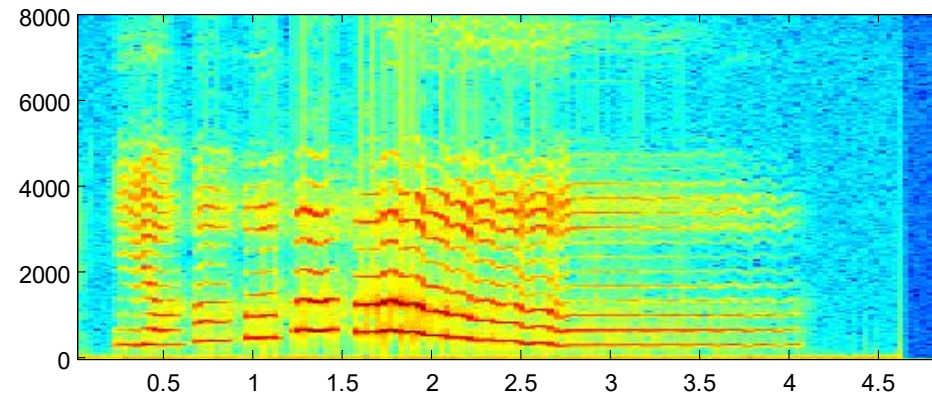
去混响算法



$$T_{60} = \frac{24 \ln(10)}{c} \frac{V}{\alpha_{\text{Sabine}} A} \quad \text{s.}$$

# 语音信号处理-去混响

去混响算法



# 语音信号处理-去混响

去混响算法

混响对语音识别的影响

$$\tilde{h}(n, T, A) = \begin{cases} h(n) & \text{for } 0 \leq n < T f_s, \\ 10^{-\frac{A}{20 \text{ dB}}} h(n) & \text{otherwise,} \end{cases}$$

$$\tilde{x}(n, T, A) = \sum_{m=0}^{N-1} \tilde{h}(n, T, A) s(n-m).$$

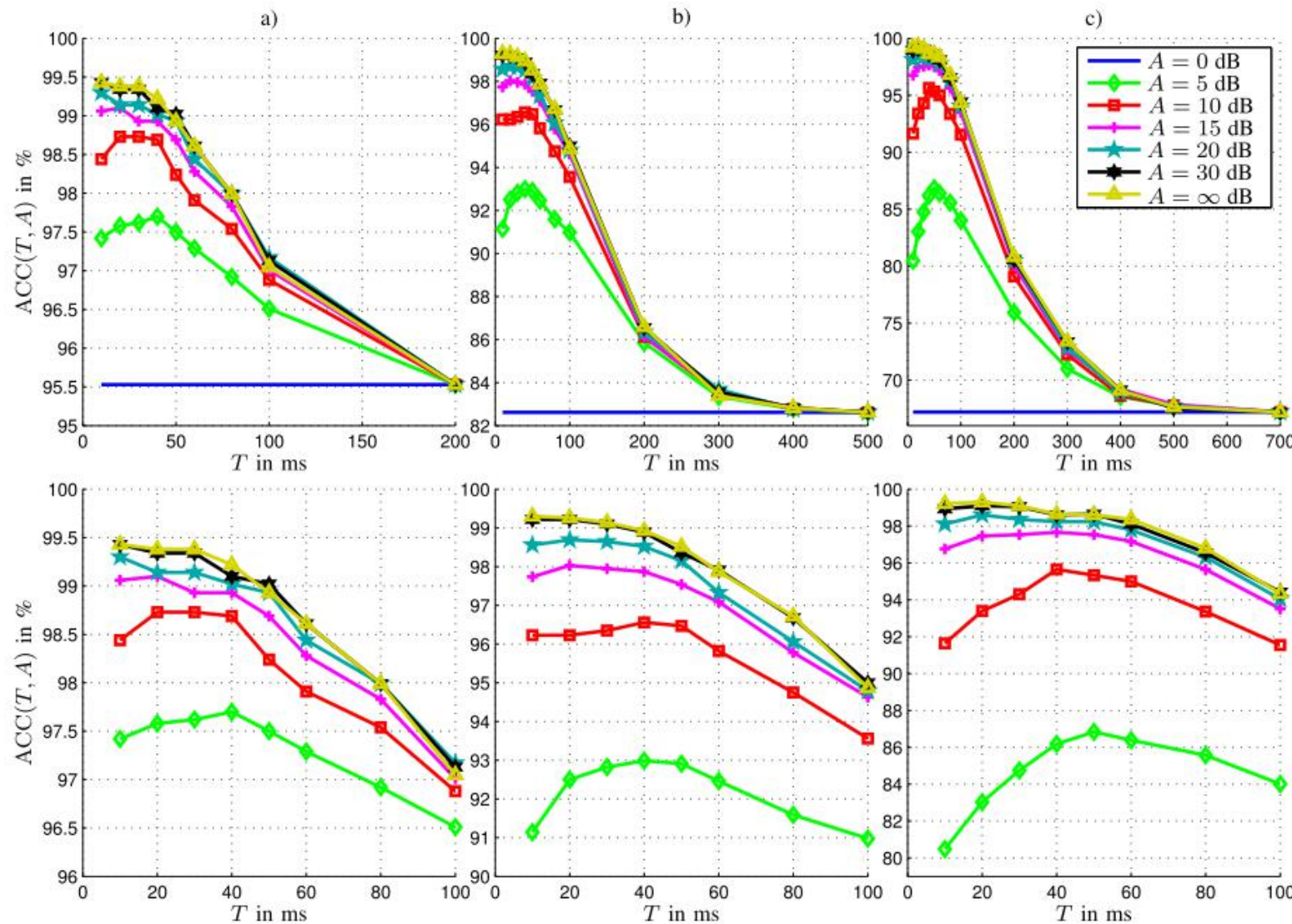
	Room		
	A	B	C
$T_{60}$	300 ms	780 ms	900 ms
$N/f_s$	200 ms	500 ms	700 ms
$d$	2.0 m	2.0 m	4.0 m
$D_{50}$	97.0 %	81.4 %	74.9 %

$$D_{50}(T, A) = \frac{\sum_{n=0}^{N_{50}-1} \tilde{h}^2(n, T, A)}{\sum_{n=0}^{N-1} \tilde{h}^2(n, T, A)} \cdot 100 \%,$$

# 语音信号处理-去混响

去混响算法

混响对语音识别的影响



	Room		
	A	B	C
$T_{60}$	300 ms	780 ms	900 ms
$N/f_s$	200 ms	500 ms	700 ms
$d$	2.0 m	2.0 m	4.0 m
$D_{50}$	97.0 %	81.4 %	74.9 %

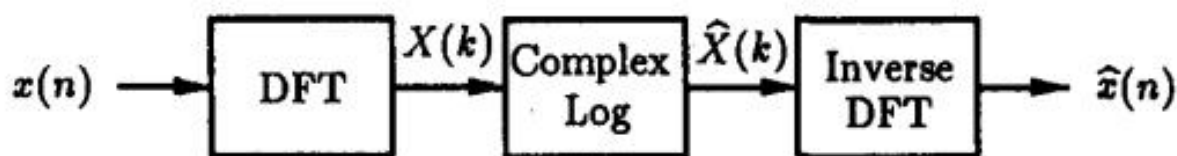
$$\tilde{h}(n, T, A) = \begin{cases} h(n) & \text{for } 0 \leq n < T f_s, \\ 10^{-\frac{A}{20} \text{dB}} h(n) & \text{otherwise,} \end{cases}$$

# 语音信号处理-去混响

去混响算法

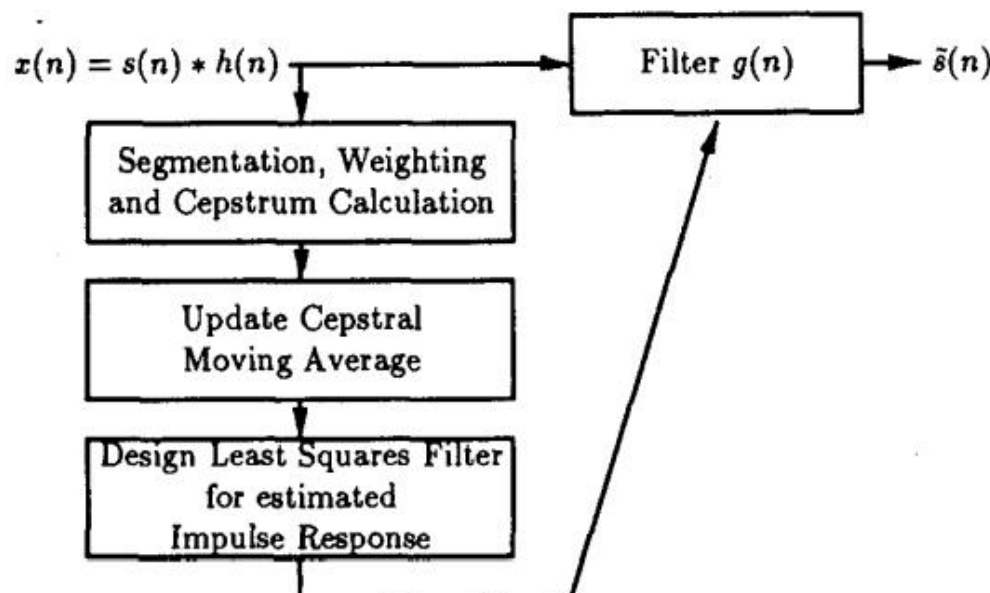
倒谱平均法

$$x(t) = s(t) * h(t) + v(t)$$



忽略噪声

$$\hat{x}(n) = \hat{s}(n) + \hat{h}(n)$$



# 语音信号处理-去混响

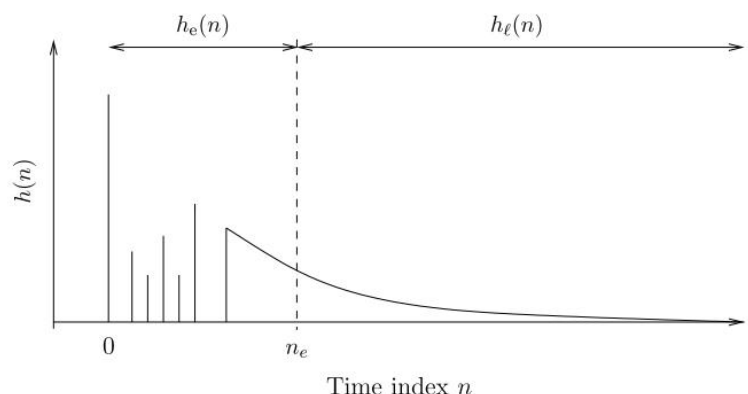
## 去混响算法

Statistical Reverberation Models

$$h(n) = \begin{cases} h_d(n), & \text{for } 0 \leq n < n_d, \\ h_r(n), & \text{for } n \geq n_d, \\ 0, & \text{otherwise.} \end{cases}$$
$$h_d(n) = b_d(n)e^{-\bar{\zeta}n},$$
$$h_r(n) = b_r(n)e^{-\bar{\zeta}n},$$
$$\bar{\zeta} \triangleq \frac{3 \ln(10)}{T_{60}f_s},$$

$$\mathcal{E}\{b_d(n)b_r(n+\tau)\} = 0$$

$$\mathcal{E}\{h^2(n)\} = \begin{cases} \sigma_d^2 e^{-2\bar{\zeta}n}, & \text{for } 0 \leq n < n_d \\ \sigma_r^2 e^{-2\bar{\zeta}n}, & \text{for } n \geq n_d \\ 0, & \text{otherwise,} \end{cases}$$

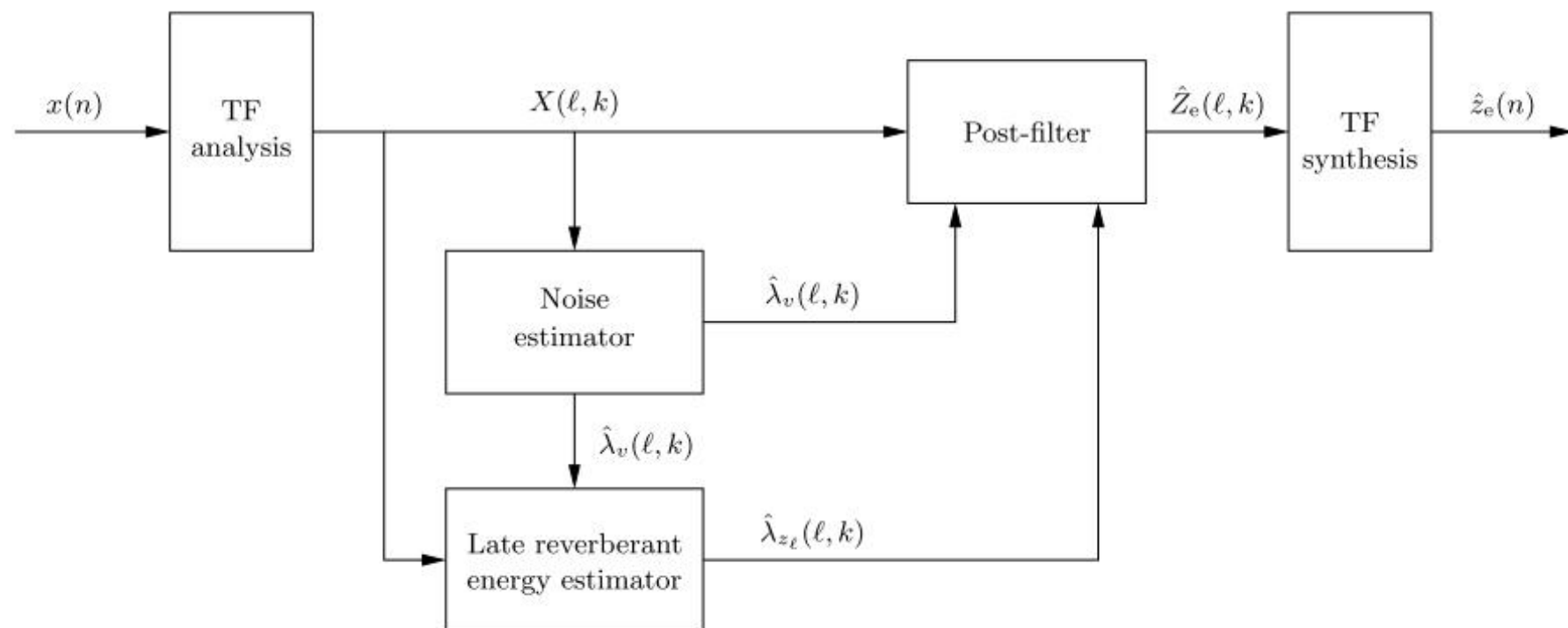


# 语音信号处理-去混响

## 去混响算法

### Statistical Reverberation Models

$$x(n) = \underbrace{\sum_{l=n-n_e+1}^n s(l)h_e(n-l)}_{z_e(n)} + \underbrace{\sum_{l=-\infty}^{n-n_e} s(l)h_\ell(n-l)}_{z_\ell(n)} + v(n),$$



# 语音信号处理-去混响

去混响算法

Statistical Reverberation Models

$$x(n) = \underbrace{\sum_{l=n-n_e+1}^n s(l)h_e(n-l)}_{z_e(n)} + \underbrace{\sum_{l=-\infty}^{n-n_e} s(l)h_\ell(n-l)}_{z_\ell(n)} + v(n),$$

$$\lambda_{z_l}(l, k) = e^{-2\bar{\delta}(k)(T_l - \frac{R}{f_s})} \lambda_{z_r}(l - N_l + 1, k),$$

$$\lambda_{z_r}(l, k) = e^{-2\bar{\delta}(k)\frac{R}{f_s}} (1 - \kappa(k)) \lambda_{z_r}(l - 1, k) + \kappa(k) e^{-2\bar{\delta}(k)\frac{R}{f_s}} \lambda_z(l - 1, k).$$

$$G(k, l) = \frac{S_{ze}}{S_{ze} + S_{zl} + S_v}$$

# 语音信号处理-去混响

去混响算法

Statistical Reverberation Models

# 语音信号处理-去混响

去混响算法

WPE算法

CHIME-3rd

NTT, Japan [1]	✓	✓		✓		✓	✓		4.5	7.4	4.5	6.2	5.2	<b>5.8</b>
MERL/SRI [2]		✓	✓	✓	✓		✓	✓	8.6	13.5	7.7	7.1	8.1	<b>9.1</b>
UST China + GIT, US [3]		✓		✓	✓	✓		✓	7.0	13.8	11.4	9.3	7.8	<b>10.6</b>
Inria, France [4]	✓	✓		✓	✓		✓		6.2	16.2	9.6	12.3	7.2	<b>11.3</b>
Fraunhofer + U. Oldenburg [5]	✓			✓	✓		✓		6.4	13.5	13.5	10.6	9.2	<b>11.7</b>
Hitachi R\&D, Japan [6]		✓	✓	✓	✓			✓	9.8	16.6	11.8	10.0	8.8	<b>11.8</b>
NTU, Singapore [7]	✓	✓		✓	✓				8.2	14.5	11.7	11.5	10.0	<b>11.9</b>
Rolls-Royce, NTU, Singapore [8]		✓	✓		✓		✓		8.5	17.6	12.1	8.5	9.6	<b>11.9</b>
A*Star, Singapore [9]	✓	✓		✓	✓		✓		8.6	18.6	10.7	9.7	9.6	<b>12.1</b>
U.Paderborn, Germany [10]	✓	✓					✓		9.0	17.5	10.5	11.0	10.0	<b>12.3</b>

Dereverberation challenge2014

# 语音信号处理-去混响

去混响算法

WPE算法

$$x(t) = \sum_{k=0}^{L_h-1} h(k)s(t-k) + v(t)$$

$$x(t) = d(t) + r(t)$$

$$d(t) = \sum_{k=0}^{D-1} h(k)s(t-k) \quad r(t) = \sum_{k=D}^{L_h-1} h(k)s(t-k)$$

$$r(t) = \sum_{k=0}^{L_c-1} c(k)x(t-D-k)$$

$$d(t) = x(t) - \sum_{k=0}^{L_c-1} c(k)x(t-D-k) = x(t) - \mathbf{c}^T \mathbf{x}(t-D)$$

# 语音信号处理-去混响

去混响算法

WPE算法

$$E\left[\left|\hat{d}(t) - d(t)\right|^2\right] = E\left[\left(x(t) - \mathbf{c}^T \mathbf{x}(t-D) - d(t)\right)\left(x(t) - \mathbf{c}^T \mathbf{x}(t-D) - d(t)\right)^*\right]$$

$$\mathbf{c} = \mathbf{R}_{\mathbf{x}(t-D)}^{-1} \mathbf{r}_{\mathbf{x}(t-D)x(t)}$$

1) Update  $\hat{\mathbf{c}}$  as follows

$$\hat{\mathbf{c}} = \mathbf{R}_{\mathbf{x}(t-D)}^{-1} \mathbf{r}_{\mathbf{x}(t-D)x(t)}$$

where

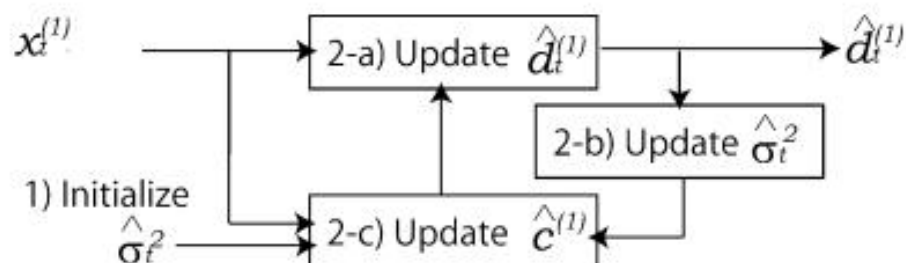
$$\mathbf{R}_{\mathbf{x}(t-D)} = \sum_{t=1}^T \frac{\mathbf{x}(t-D) \mathbf{x}(t-D)^T}{\hat{\sigma}_t^2}$$

$$\mathbf{r}_{\mathbf{x}(t-D)x(t)} = \sum_{t=1}^T \frac{\mathbf{x}(t-D) x(t)}{\hat{\sigma}_t^2}$$

2) Update  $\hat{d}(t) = x(t) - \hat{\mathbf{c}}^T \mathbf{x}(t-D)$

3) Update  $\hat{\sigma}_t^2$

$$\hat{\sigma}_t^2 = \max \left[ \frac{1}{L} \sum_{t=L/2+1}^{t=t+L/2+1} |\hat{d}(t)|^2, \epsilon \right]$$



# 语音信号处理-去混响

去混响算法

WPE算法

$$\begin{aligned}\mathbf{x}_{n,f}^{(1)} &= \bar{\mathbf{c}}_f^{*T} \bar{\mathbf{x}}_{n-D',f} + \mathbf{d}_{n,f} \\ \mathbf{d}_{n,f} &= \sum_{k=0}^{D'-1} \left( \mathbf{h}_{k,f}^{(1)} \right)^{*T} \mathbf{s}_{n-k,f}.\end{aligned}$$

1) Initialize  $\hat{\rho}_{n,f}^2$  as

$$\hat{\rho}_{n,f}^2 = \max\{|\mathbf{x}_{n,f}|^2, \epsilon_f\}$$

where  $\epsilon_f > 0$  is a lower bound of  $\hat{\rho}_{n,f}^2$  at  $f$ .

2) Repeat the following until convergence.

a) Update  $\hat{\mathbf{c}}_f$  as follows:

$$\hat{\mathbf{c}}_f = \left( \sum_n \frac{\bar{\mathbf{x}}_{n-D',f} \bar{\mathbf{x}}_{n-D',f}^{*T}}{\hat{\rho}_{n,f}^2} \right)^+ \sum_n \frac{\bar{\mathbf{x}}_{n-D',f} \mathbf{x}_{n,f}^{(1)*}}{\hat{\rho}_{n,f}^2}.$$

b) Update  $\hat{\mathbf{d}}_{n,f}$  as  $\hat{\mathbf{d}}_{n,f} = \mathbf{x}_{n,f}^{(1)} - \hat{\mathbf{c}}_f^{*T} \bar{\mathbf{x}}_{n-D',f}$ .

c) Update  $\hat{\rho}_{n,f}^2$  as follows:

$$\hat{\rho}_{n,f}^2 = \max\{|\hat{\mathbf{d}}_{n,f}|^2, \epsilon_f\}.$$

# 语音信号处理-去混响

去混响算法

WPE算法

# 语音信号处理-总结